

**APLIKASI SISTEM INFORMASI GEOGRAFI (SIG) DALAM
PEMBUATAN PETA RAWAN LONGSOR PADA DESA KASERALAU
KECAMATAN BATULAPPA KABUPATEN PINRANG**



Skripsi

Diajukan Untuk Memenuhi Salah Satu Syarat Meraih Gelar Sarjana
Jurusan Fisika pada Fakultas Sains dan Teknologi
UIN Alauddin Makassar.

Oleh:

NURVADILLAH ANGRAINI. A

NIM: 60400116065

UNIVERSITAS ISLAM NEGERI
ALAUDDIN
M A K A S S A R

**FAKULTAS SAINS DAN TEKNOLOGI
UIN ALAUDDIN MAKASSAR**

2020

PERNYATAAN KEASLIAN SKRIPSI

Mahasiswa yang bertanda tangan di bawah ini:

Nama : Nurvadillah Angraini. A
NIM : 604001160065
Tempat/Tgl. Lahir : Pinrang, 29 September 1998
Jurusan : Fisika
Fakultas/Program : Sains dan Teknologi
Alamat : Jl. H. M. Yasin Limpo, Samata, Gowa
Judul Skripsi : Aplikasi Sistem Informasi Geografi (SIG)
Dalam Pembuatan Peta Rawan Longsor Di
Desa Kaseralau Kecamatan Batulappa
Kabupaten Pinrang

Menyatakan dengan sesungguhnya dan penuh kesadaran bahwa skripsi ini benar adalah hasil karya sendiri. Jika dikemudian hari terbukti bahwa ia merupakan duplikat, tiruan, plagiat, atau dibuat oleh orang lain, sebagian atau seluruhnya, maka skripsi ini dan gelar yang diperoleh karenanya batal demi hukum.

Samata, November 2020
Penyusun



Nurvadillah Angraini. A
Nim: 604001160065

LEMBAR PENGESAHAN SKRIPSI

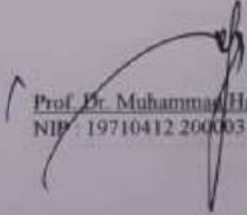
Skripsi yang berjudul, "Aplikasi Sistem Informasi Geografis (SIG) Dalam Pembuatan Peta Rawan Longsor Di Desa Kaseralau Kecamatan Batulappa Kabupaten Pinrang" yang disusun oleh Nurvadillah Angraini, A, NIM : 60400116065, mahasiswa Jurusan Fisika pada Fakultas Sains dan Teknologi UIN Alauddin Makassar, telah diuji dan dipertahankan dalam Ujian Munaqasyah yang diselenggarakan pada hari Kamis, 19 November 2020, dinyatakan telah dapat diterima sebagai salah satu syarat untuk meraih gelar Sarjana dalam Ilmu Sains, Jurusan Fisika.

Gowa, 19 November 2020 M
04 Rabi'ul Akhir 1442 H

DEWAN PENGUJI

Ketua	: Prof. Dr. Muhammad Halifah Mustami, M.Pd	(.....)
Sekretaris	: Hernawati, S.Pd., M.Pfis	(.....)
Munaqisy I	: Fitriyanti, S.Si., M.Sc	(.....)
Munaqisy II	: Dr. Muh. Sadik Sabry, M.Ag	(.....)
Pembimbing I	: Ihsan, S.Pd., M.Si	(.....)
Pembimbing II	: Muh. Said L., S.Si., M.Pd	(.....)

Diketahui Oleh:
Dekan Fakultas Sains dan Teknologi
UIN Alauddin Makassar


Prof. Dr. Muhammad Halifah Mustami, M.Pd
NIP. 19710412 200003 1 001

KATA PENGANTAR

Syukur alhamdulillah, segala puji bagi Allah swt atas segala rahmat, nikmat, dan karunia-Nya, sehingga penulisan skripsi ini dapat menyelesaikan serta menyusun skripsi ini yang berjudul “**Aplikasi Sistem Informasi Geografi (SIG) Dalam Pembuatan Peta Rawan Longsor Di Desa Kaseralau Kecamatan Batulappa Kabupaten Pinrang**”. Skripsi ini disusun sebagai salah satu syarat untuk memperoleh gelar sarjana strata satu fisika. Semoga salam dan shalawat tetap tercurahkan kepada nabi Muhammad saw, yang telah membawa manusia dari alam jahiliyah menuju alam yang berilmu seperti sekarang ini. Penulis juga ingin mengucapkan banyak terima kasih dan rasa hormat yang tiada hentinya kepada dua orang tua terkasih dalam hidup penulis yaitu Ayahanda **Amiruddin, S.Pd** dan Ibunda tercinta **Patiha, S.Pd** selaku orang tua yang telah menjadi motivator, dan pemberi semangat yang sangat luar biasa serta selalu memberikan do'a terbaik sehingga penulis dapat menyelesaikan skripsi ini dengan cepat. Dan juga kepada keluarga yang tiada henti-hentinya mendoakan dan memberikan dukung dengan penuh kesabaran dan ketulusan kepada penulis sehingga penulis dapat menyelesaikan skripsi ini.

Penulis juga mengucapkan rasa hormat dan banyak terima kasih kepada Bapak **Ihsan, S.Pd., M.Si** dan Bapak **Muh. Said L, S.Si., M.Pd,** selaku pembimbing I dan II yang dengan tulus meluangkan waktu, tenaga dan pikiran untuk membimbing dan mengarahkan penulis agar dapat menyelesaikan skripsi ini dengan hasil yang baik serta mendengarkan keluh kesah penulis dengan penuh kesabaran dalam penyusunan skripsi ini. Juga kepada Bapak **Amirin Kusmiran,**

S.Si., M.T., yang selalu memberikan motivasi, meluangkan waktu, tenaga dan pikiran dalam mengajarkan, mengarahkan, membagi ilmu serta pengalaman sehingga penulis dapat menyelesaikan skripsi ini dengan baik.

Penulis juga menyadari sepenuhnya bahwa selama penyusunan skripsi ini tidak lepas dari berbagai hambatan yang penulis hadapi, namun berkat pertolongan Allah swt semuanya dapat dilalui serta bantuan berbagai pihak yang selalu memberikan motivasi dan doa bagi penulis dengan penuh keikhlasan sehingga skripsi ini dapat terselesaikan. Oleh karena itu penulis juga mengucapkan banyak terima kasih kepada:

1. Bapak Prof. Hamdan Juhannis, M.A., Ph.D., selaku Rektor Universitas Islam Negeri (UIN) Alauddin Makassar periode 2019-2023.
2. Bapak Prof. Dr. Muhammad Halifah, M.Pd., selaku Dekan Fakultas Sains dan Teknologi Universitas Islam Negeri (UIN) Alauddin Makassar periode 2019-2023.
3. Bapak Ihsan S.Pd., M.Si., selaku Ketua Jurusan Fisika Fakultas Sains dan Teknologi, dan Bapak Muh. Said L, S.Pd., M.Pd., selaku Sekretaris Jurusan Fisika Fakultas Sains dan Teknologi, yang telah membantu penulis selama masa studi, memberikan motivasi dan masukan.
4. Ibu Fitriyanti, S.Si., M.Sc dan Dr. Muh. Sadik Sabry, M.Ag., selaku penguji I dan II yang senantiasa memberikan saran dan masukan untuk sehingga penulis dapat menyelesaikan perbaikan Skripsi ini.
5. Dosen Pengajar Jurusan Fisika Fakultas Sains dan Teknologi Ibu Sahara, S.Si, M.Sc., Ph.D., Ibu Rahmania, S.Si., M.Si., Ibu Sri Zelviani, S.Si., M.Sc.,

Ibu Hernawati, S.Pd., M.Pfis., Ibu Ayusari Wahyuni, S.Si., M.Sc dan dosen lainnya yang telah meluangkan waktu dan tenaga, serta membimbing dan membagi ilmu di bangku kuliah. Juga kepada ibu Hadiningsih, SE selaku staf administrasi Jurusan Fisika, yang telah melakukan pelayanan secara maksimal sehingga Penulis dapat menyelesaikan Skripsi ini dengan tepat waktu.

6. Bapak Muhtar, S.T., M.T., Bapak Abdul Mun'im, S.T., M.T., Bapak Ahmad Yani S.Si., dan Ibu Nurhaisah, S.Si., sebagai Laboran di Laboratorium Jurusan Fisika Fakultas Sains dan Teknologi yang telah membimbing selama praktikum.
7. Bapak dan Ibu Staf pada bagian administrasi dan akademik dalam lingkup Fakultas Sains dan Teknologi yang selalu siap dan sabar melayani penulis dalam pengurusan berkas administrasi maupun akademik.
8. Kepada kakakku tercinta Nurindar Wati yang selalau memberikan nasihat, serta motivasi dan mendengarkan keluh kesah penulis sehingga dapat menyelesaikan skripsi dengan cepat dan baik.
9. Kepada para sahabat yang selalu ada dalam suka maupun duka: Nurul Fadillah, Hasmual Husna, Fany Aliasrah, Ayu Mulia Saputri, Zilmi Azyurah Rahman, Irmayanti, Aminah, Sri Dewi Astuti, Putri Mayang Sari, Risnawati, Paisa, dan Devi Wulandari,.
10. Teman-teman B16 BANG (Angkatan 2016) atas kebersamaannya selama empat tahun ini, telah menjadi sahabat dan keluarga yang hangat, memberi banyak bantuan selama masa studi, selalu ada dalam suka maupun duka. Serta

senior-senior Jurusan Fisika Angkatan 2010, 2011, 12ADIASI, ASAS 13LACK, INERS14, dan RES15TOR. Juga adik-adik INTENS17AS, INH18ITOR, dan R19EL.

11. Teman-teman KHALIFAH, Geografi UNM 2016, Teknik Sipil UNHAS, Geofisika UNHAS, dan Group Diskusi GIS yang telah membantu menyelesaikan Skripsi penulis.
12. Teman-teman HMJ-Fisika dan HMGI yang telah mengajarkan banyak hal tentang organisasi.
13. Teman-teman KKN 61 Kelurahan Solo, Kecamatan Bola, Kabupaten Wajo.

Sangat banyak orang yang berjasa kepada penulis selama menempuh pendidikan di UIN Alauddin Makassar sehingga tidak sempat disebutkan namanya satu persatu. Penulis mengucapkan banyak terima kasih, semoga apa yang dilakukan bernilai ibadah disisi-Nya dan dibalas dengan yang lebih baik,. Penulis menyadari bahwa Skripsi ini masih banyak kekurangan baik dari segi sistematika penulisan, maupun dari segi bahasa yang termuat di dalamnya. Oleh karena itu, kritik dan saran yang bersifat membangun senantiasa penulis harapkan.

Makassar, November 2020

Penyusun,



Nurvadillah Angraini. A
60400116065

DAFTAR ISI

PERNYATAAN KEASLIAN SKRIPSI	ii
LEMBAR PENGESAHAN SKRIPSI	iii
KATA PENGANTAR	iv
DAFTAR ISI	viii
DAFTAR TABEL	x
DAFTAR GAMBAR	xi
ABSTRAK	xii
ABSTRACT	xiii
BAB I PENDAHULUAN	1
1.1 Latar Belakang	1
1.2 Rumusan Masalah	4
1.3 Tujuan Penelitian.....	5
1.4 Ruang Lingkup Penelitian.....	5
1.5 Manfaat Penelitian.....	5
BAB II TINJAUAN TEORETIS	7
2.1 Tanah Longsor dalam Pandangan Al – Qur’an	7
2.2 Tanah.....	15
2.3 Tanah Longsor dan Penyebabnya.....	17
2.4 Sistem Informasi Geografi (SIG)	22
2.5 Curah Hujan	23
2.6 Geomorfologi	24
2.7 Kemiringan Lereng.....	25
2.8 Porositas dan Permeabilitas.....	26
2.9 Kondisi Fisik Wilayah.....	28
BAB III METODE PENELITIAN	33
3.1 Waktu dan Tempat Penelitian	33

3.2 Alat dan Bahan	33
3.3 Teknik Pengumpulan Data	34
3.4 Teknik Analisis Data	34
3.5 Prosedur Kerja Program Arcgis	34
3.6 Diagram Alir Penelitian.....	36
BAB IV HASIL PENELITIAN DAN PEMBAHASAN.....	37
4.1 Hasil Penelitian.....	37
4.2 Pembahasan	47
BAB V PENUTUP	51
5.1 Kesimpulan.....	51
5.2 Saran.....	51
DAFTAR PUSTAKA	52
RIWAYAT HIDUP	55
LAMPIRAN.....	56



DAFTAR TABEL

No.	Keterangan Tabel	Halaman
2.1	Klasifikasi Kepekaan Tanah Terhadap Tingkat Erosi	15
	Pembagian Kemiringan Lereng Berdasarkan Klasifikasi	
2.2	USSSM (<i>United Stated Soil System Management</i>) dan USLE (<i>Universal Soil Loss Equation</i>)	
2.3	Nilai Porositas Berbagai Batuan	25
2.4	Jenis Tanah di Wilayah Kab. Pinrang	29
4.1	Curah Hujan Kabupaten Pinrang Pada Tahun 2018	39
4.2	Data Atribut Tabel Peta Geologi	42
	Data Hasil Penelitian dari Kelima Parameter Rawan	
4.3	Longsor	44
4.4	Tingkat Kerentanan Tanah Longsor Pada Desa Kaseralau	45

DAFTAR GAMBAR

No.	Keterangan Gambar	Halaman
2.1	Longsoran Rotasi	17
2.2	Longsoran Translasi	17
2.3	Runtuhan Batu	17
2.4	Pergeseran Blok	18
2.5	Aliran Bahan Rombakan	18
2.6	Rayapan Tanah	19
2.7	Porositas dan Permeabilitas	24
3.1	Lokasi Penelitian	30
3.2	Prosedur Pembuatan Peta Rawan Longsor Menggunakan <i>Software Arcgis 10.3</i>	32
3.3	Bagan Alir Penelitian	33
4.1	Peta Kemiringan Lereng Desa Kaseralau	35
4.2	Peta Geomorfologi Desa Kaseralau	36
4.3	Peta Curah Hujan Desa Kaseralau	38
4.4	Peta Jenis Tanah Desa Kaseralau	40
4.5	Peta Geologi Kecamatan Camba	42
4.6	Peta Rawan Longsor Desa Kaseralau	45
4.7	Hasil Penampakan Tanah Longsor	46
4.8	Perbaikan Jalan Akibat Tanah Longsor	46

ABSTRAK

NAMA : NURVADILLAH ANGRAINI. A
NIM : 60400116065
**JUDUL SKRIPSI : APLIKASI SISTEM INFORMASI GEOGRAFI (SIG)
DALAM PEMBUATAN PETA RAWAN LONGSOR
DI DESA KASERALAU KECAMATAN
BATULAPPA KABUPATEN PINRANG.**

Penelitian ini bertujuan untuk mengaplikasikan system informasi geografis (SIG) dalam pembuatan peta rawan longsor di desa Kaseralau kecamatan Batulappa kabupaten Pinrang. Metode pengolahan data yang digunakan adalah menggunakan *software Arcgis* untuk pemetaannya. Dalam pemetaannya digunakan data SIG berupa parameter seperti curah hujan, kemiringan lereng, geomorfologi, jenis tanah dan geologi yang diperkuat oleh hasil survey lapangan berupa foto. Berdasarkan hasil penelitian yang diperoleh bahwa tingkat kerawanan longsor di desa Kaseralau kecamatan Batulappa kabupaten Pinrang terbagi menjadi tiga klasifikasi yaitu rendah dengan persentasi 6%, sedang dengan persentasi 10% dan tinggi atau rawan dengan persentasi 84%, namun yang dominan pada daerah tersebut adalah rawan terjadinya longsor.

Kata Kunci: *SIG, Tanah Longsor, Curah Hujan, Podsolik, Geologi*

UNIVERSITAS ISLAM NEGERI
ALAUDDIN
M A K A S S A R

ABSTRACT

NAMA : NURVADILLAH ANGRAINI. A
NIM : 60400116065
JUDUL SKRIPSI : A GEOGRAPHIC INFORMATION SYSTEM (GIS) APPLICATION IN MAKING LANDSLIDE PRONE MAP AT KASERALAU VILLAGE, BATULAPPA DISTRICT, PINRANG REGENCY.

The aim to research is to apply a geographic information system in making landslide prone map in Kaseralau village, Batulappa district, Pinrang Regency. The method of processing data is used *Arcgis software* for the mapping. In the mapping process used SIG data in the form of parameter such us rainfall, slope, geomorphology, soil types and geology which is required by the result of the field survey in the form of photos. Based on the result of the research, the research found that the level of landslide vulnerability in Kaseralau village, Batulappa district, Pinrang regency has divided into three classifications; low with a percentage of 6%, medium with a percentage of 10%, and high (prone) with a percentage of 84%. However, the dominant in the prone to landslide area.

Kata Kunci: *GIS, Landslide, Rainfall, Podzolic, Geology.*



BAB I

PENDAHULUAN

1.1 Latar Belakang

Indonesia merupakan salah satu negara di Asia Tenggara berada di antara dua lempeng benua dan dua lempeng samudra. Akibat adanya perbedaan massa jenis di antara dua lempeng tersebut, maka lempeng yang memiliki massa jenis yang lebih besar akan menunjam ke bawah lempeng yang memiliki massa jenis yang lebih kecil. Biasanya penunjaman ini terjadi antara lempeng benua dan samudera atau di antara sesama lempeng samudera. Akibat adanya penunjaman ini mengakibatkan daerah Indonesia memiliki bentuk morfologi yang beragam salah satunya dataran tinggi atau perbukitan dengan bidang tanah yang terjal sampai landai. Indonesia juga merupakan negara yang dilintasi oleh garis khatulistiwa, sehingga di Indonesia memiliki dua musim yaitu musim penghujan dan musim kemarau. Faktor tersebut mengakibatkan Indonesia sering mengalami bencana geologi, misalnya pergerakan tanah, gempa bumi, banjir, kebakaran hutan, tsunami dan juga gunung meletus.

Tanah longsor merupakan gerakan yang menuruni atau keluar lereng karena adanya massa tanah atau batuan penyusun lereng, maupun penyusun keduanya sebagai bahan rombakan akibat terganggunya kestabilan tanah atau batuan penyusun lereng tersebut. Apabila gaya tekan untuk menurunkan material ke bawah lebih besar dari gaya tekanan untuk menahan pergerakan maka akan terjadi gerakan tanah. Terjadinya gerakan tanah disebabkan karena dipengaruhi oleh beberapa faktor yaitu kondisi geomorfologi, kondisi kelerengan, kondisi

struktur geologi, kondisi jenis tanah, kondisi curah hujan, kondisi gempa bumi, dan aktivitas manusia (Yusmardani, 2015: 1).

Salah satu wilayah di Indonesia yang rawan akan adanya tanah longsor yaitu di desa Kaseralau, kecamatan Batulappa, kabupaten Pinrang. Desa Kaseralau terletak pada daerah yang memiliki topografi dengan ketinggian 85 sampai 1000 meter di atas permukaan laut. Berdasarkan posisi dan letak geografi wilayah, desa Kaseralau memiliki luas wilayah sebesar 35,41 km² dan terletak pada titik koordinat 3°29'50,05" LS dan 119°41'19,02" BT dengan ketinggian 1000 mdpl. Di desa Kaseralau terdapat lima dusun dengan jumlah penduduk pada tahun 2019 di kecamatan Batulappa sebanyak 10252 jiwa. Kebanyakan aktivitas warga di sana sebagai wirausaha dan juga petani (Kecamatan Batulappa dalam angka, 2019: 1-9).

Berdasarkan hasil observasi lapangan, telah terjadi dua kali kejadian tanah longsor, yang pertama pada bulan April 2019 dan yang kedua pada bulan Mei 2019. Dampak yang ditimbulkan dari kejadian tanah longsor ini yaitu tertutupnya akses jalan dari kecamatan menuju dusun Paleleng serta rusaknya beberapa tiang listrik, dan juga tertimbunnya beberapa kebun warga sehingga beberapa aktivitas warga terganggu. Terjadinya tanah longsor ini juga disebabkan oleh kondisi geologi daerah tersebut meliputi morfologi daerah perbukitan, memiliki kemiringan lereng di atas 20°, dan juga pernah menjadi pusat gempa (Hasil wawancara observasi dari Sekretaris desa Kaseralau dan Kepala camat Batulappa, 2019).

Berdasarkan penelitian sebelumnya yang dilakukan oleh Irma Suriani (2017: 39-56), tentang “Identifikasi daerah rawan longsor di kecamatan Camba kabupaten Maros dengan menggunakan *software Arcgis*”. Hasil yang didapatkan yaitu terdapat empat tingkat kerawanan tanah longsor di kecamatan Camba kabupaten Maros. Untuk tingkat kerawanan rendah terdapat di desa Sawaru 20%, desa Pettanyamang 20%, desa Benteng 22%, desa Timpuseng 23%, desa Pattiro Deceng 43%, desa Cenrana 47%, desa Cempaniga 51%, dan desa Mario Pulana 88%. Sedangkan untuk tingkat kerawanan sangat tinggi terdapat di desa Mario Pulana 7%, desa Pattiro Deceng 7%, desa Benteng 8%, desa Pettanyamang 10%, desa Cempaniga 16%, desa Timpuseng 17%, desa Cenrana 23% dan desa Sawaru 33%. Data tersebut diperoleh dari hasil tumpang tindih dari peta jenis tanah, kemiringan lereng, curah hujan dan tata guna lahan. Dan data tersebut didapatkan dari BMKG kabupaten Maros untuk data curah hujan dan jenis tanah, kemiringan lereng dan tata guna lahan diperoleh dari tinjauan umum wilayah kabupaten Maros.

Sistem Informasi Geologi (SIG) adalah suatu sistem yang mempunyai kemampuan analisis terhadap data spasial untuk keperluan manipulasi maupun permodelan. Fungsi analisis tersebut dijalankan menggunakan data atribut dan data spasial dalam SIG untuk menjelaskan segala hal yang dapat dikembangkan dari data yang ada menjadi suatu permasalahan yang relevan (M Todingan, 2014: 2).

Berdasarkan penelitian sebelumnya tentang pengaplikasian Sistem Informasi Geografis (SIG) dalam memetakan daerah rawan longsor yang

dilakukan oleh Wahyu Widy Pasektino (2016: 81-82), yang berjudul “Aplikasi SIG untuk Identifikasi Daerah Rawan Longsor di Kecamatan Tembalang Kota Semarang”. Hasil yang diperoleh yaitu daerah yang memiliki tingkat kerawanan yang sangat tinggi terdapat di desa Rowosari, desa Jangli, desa Bulusan, desa Tembalang, desa Kramas, desa Bulusan, dan desa Mungunharjo. Faktor penyebabnya yaitu karena memiliki kemiringan lereng curam, penggunaan lahan pemukiman dan sawah, curah hujan yang tinggi, faktor tanah, faktor geologi, dan kondisi geomorfologi daerah tersebut.

Berdasarkan uraian di atas maka akan dilakukan penelitian tentang *Aplikasi Sistem Informasi Geografis (SIG) Dalam Pembuatan Peta Rawan Longsor di Kecamatan Batulappa Kabupaten Pinrang*. Hal ini dapat memberikan informasi dini kepada masyarakat tentang daerah yang rawan akan adanya tanah longsor di kabupaten Pinrang khususnya daerah kecamatan Batulappa desa Kaseralau. Sehingga penelitian ini dijadikan acuan mitigasi bencana untuk mengurangi korban jiwa dan kerugian materi yang akan ditimbulkan.

I.2 Rumusan Masalah

Berdasarkan latar belakang yang telah diuraikan di atas, maka rumusan masalah dalam penelitian ini yaitu bagaimana pengaplikasian sistem informasi geografis (SIG) dalam pembuatan peta rawan longsor di desa Kaseralau kecamatan Batulappa kabupaten Pinrang?.

1.3 Tujuan Penelitian

Tujuan yang dicapai dengan adanya penelitian ini yaitu untuk mengaplikasikan sistem informasi geografis (SIG) dalam pembuatan peta rawan longsor di desa Kaseralau Kecamatan Batulappa kabupaten Pinrang.

1.4 Ruang Lingkup Penelitian

Ruang lingkup pada penelitian ini yaitu sebagai berikut:

1. Parameter yang digunakan pada peta rawan longsor berdasarkan karakteristik fisik berupa jenis tanah, curah hujan, kondisi geologi, kemiringan lereng dan juga geomorfologi pada daerah tersebut.
2. Data curah hujan diperoleh dari Badan Pusat Statistik Kabupaten Pinrang 2018 pada bulan Januari 2018 sampai Desember 2018.
3. Data jenis tanah dan kondisi geologi diperoleh dari data Pokja AMPL kabupaten Pinrang dan Indonesia Geospasial berupa data *shapefile* (shp).
4. Data kemiringan lereng dan geomorfologi diperoleh dari data Demnas pada Indonesia Geospasial berupa peta penampakan 3 dimensi.
5. Daerah longsor terletak pada $3^{\circ}29'50.05''$ LS dan $119^{\circ}41'19.02''$ BT dengan ketinggian 520 mdpl.

1.5 Manfaat Penelitian

Manfaat pada penelitian ini adalah sebagai berikut:

1.5.1. Akademik

Penelitian ini berguna untuk dijadikan sebagai dasar atau referensi untuk peneliti selanjutnya dan juga mengetahui tingkat kerentanan wilayah akan adanya longoran (gerakan tanah).

1.5.2. Masyarakat

Penelitian ini berguna memberikan informasi dini kepada masyarakat mengenai struktur batuan daerah longsor (gerakan tanah), sehingga masyarakat dapat melakukan antisipasi sebelumnya.

1.5.3. Pemerintah

Penelitian ini berguna sebagai bahan acuan untuk melakukan perancangan dan penataan daerah yang akan dilakukan pemerintah. Dan juga sebagai bahan acuan mitigasi bencana pada daerah tersebut.



BAB II

TINJAUAN TEORETIS

2.1 Tanah Longsor dalam Pandangan Al – Qur'an

Bumi terdiri dari berbagai macam lapisan mulai dari inti bumi, mantel bumi, kerak bumi, atmosfer, hidrosfer, litosfer dan biosfer. Lapisan-lapisan tersebut juga terdiri dari berbagai macam kandungan seperti batuan, mineral dan tanah. Hal tersebut dalam firman Allah swt dalam QS al-Thalaq/65: 12, yang berbunyi:

اللَّهُ الَّذِي خَلَقَ سَبْعَ سَمَاوَاتٍ وَمِنَ الْأَرْضِ مِثْلَهُنَّ يَتَنَزَّلُ الْأَمْرُ بَيْنَهُنَّ لِتَعْلَمُوا أَنَّ اللَّهَ عَلَىٰ كُلِّ شَيْءٍ قَدِيرٌ وَأَنَّ اللَّهَ قَدْ أَحَاطَ بِكُلِّ شَيْءٍ عِلْمًا

TerjemahNya:

Allah-lah yang menciptakan tujuh langit dan seperti itu pula bumi. Perintah Allah berlaku padanya, agar kamu mengetahui bahwasanya Allah Maha Kuasa atas segala sesuatu, dan sesungguhnya Allah ilmu-Nya benar-benar meliputi segala sesuatu (Kementrian Agama, 2009: 559).

Menurut Ahmad Mustafa Al-Maragi dalam Tarfsir Al-Maragi menyatakan bahwa Allah swt telah memperingatkan kaum musyrik di Mekah untuk mengikuti ajaran dan perintah Rasulullah saw, namun jika mereka menghiraukannya seruan tersebut maka mereka akan ditimpakan siksaan seperti dibinasakan atau dimusnahkan di dunia dan akan ditimpa siksa yang tidak tertolakkan di akhirat. Allah menyebutkan tentang keagungan *qudrah*, kekuasaan dan keindahan ciptaan-Nya bagi alam tertinggi dan rendah, agar yang demikian menjadi pendorong untuk menerima seruan rasul dan mengamalkan syariat yang diturunkan kepadanya dan mengandung kebahagiaan dunia dan akhirat.

Berdasarkan ayat yang disebutkan di atas tentang “Allah-lah yang menciptakan tujuh langit dan seperti itu pula bumi“ jika dilihat berdasarkan tafsir al-Maragi yaitu jika dilihat berdasarkan *uslub* maka hal tersebut tidak menunjukkan bilangan tujuh melainkan menunjukkan banyak bilangan. Hal ini diperkuat oleh ilmuan falak masa kini yang mengatajan bahwa “sesungguhnya bilangan yang paling kecil dari bumi–bumi yang mengitari matahari besar yang kita namakan bintang–bintang itu tidak kurang dari tiga ratus juta bumi”. Riwayat ini merupakan bukti yang menunjukkan bahwa masih banyak alam yang tidak sepatasnya dibicarakan para ulama kepada orang awam karena orang awam tersebut akan tersesat dalam memahaminya. Dan hendaklah yang demikian tersebut tetap tersimpan dalam dada para ulama dan ahli zikir, sehingga mereka tidak menimbulkan fitnah (Ahmad Mustafa Al-Maragi,1993: 245-247).

Berdasarkan ayat yang disebutkan diatas tentang “Perintah Allah berlaku padanya, agar kamu mengetahui bahwasanya Allah Maha Kuasa atas segala sesuatu, dan sesungguhnya Allah ilmu-Nya benar-benar meliputi segala sesuatu“ jika dilihat berdasarkan tafsir al-Maragi yaitu perintah *qadla*, *qadar* dan hukum Allah berlaku diantara semuanya, karena Dia-lah yang mengendalikan apa yang ada didalam semua itu sesuai dengan ilmu Allah yang luas, sesuai dengan hikmah-Nya dalam menegakkan sistem dan sesuai dengan keadilan dan *masalahahnya*. *Qadla* dan perintah Allah turun diantara itu semua agar semua manusia mengetahuinya tentang hakikat *qudrah* dan kekuasaan-Nya. Tidak ada sesuatu pun yang dikehendaki-Nya itu sulit bagi-Nya dan tidak ada satu perintah pun yang diinginkan-Nya tertolak, karena Dia Maha Kuasa atas segala yang

diinginkan-Nya. Hendaklah kamu mengetahui bahwa segala sesuatu dari mahluk-Nya itu diliput ilmu-Nya sebesar zarah yang ada dilangit dan di bumi (Ahmad Mustafa Al-Maragi, 1993: 245-247).

Dari ayat di atas menjelaskan tentang lapisan langit dan bumi, dimana dalam ilmu geofisika lapisan langit tersusun dari tujuh lapisan yaitu *troposfer* yang merupakan lapisan atmosfer terdekat dari bumi yang mengandung sekitar 90% massa total atmosfer. Lapisan yang berada di atas *troposfer* adalah lapisan *stratosfer*. Kemudian setelah lapisan *stratosfer*, terdapat lapisan *ozonosfer* yang merupakan tempat diserapnya sinar ultraungu. Lapisan *mesosfer* berada di atas lapisan *ozonosfer*. Selanjutnya, lapisan *termosfer* berada di atas lapisan *mesosfer*. Lapisan selanjutnya yaitu lapisan *ionosfer* yang merupakan gas yang terionisasi dan membentuk lapisan. Dan lapisan terakhir yaitu lapisan *eksosfer* yang merupakan lapisan terluar atmosfer.

Sedangkan untuk lapisan lapisan bumi tersusun dari tujuh lapisan yaitu *centrosphere* (inti bumi) yang berisi nukleus dari bumi yang berada pada tekanan yang sangat tinggi yang berbentuk solid dan lapisan luar inti bumi yang berisi zat cair dengan suhu yang sangat tinggi. Lapisan terbawah pita bumi (pita bawah), lapisan tengah pita bumi (pita tengah), lapisan teratas pita bumi (pita atas) merupakan tiga lapisan yang berisi batuan yang sangat panas yang memiliki kepadatan, tekanan, dan suhu yang berbeda-beda. Lapisan bawah kerak bumi dan lapisan atas kerak bumi terdiri dari material penyusun bumi. Lapisan kerak bumi ini merupakan lapisan tempat terjadinya tanah longsor. Lapisan-lapisan langit dan

bumi yang dijelaskan diatas, jika dihitung semuanya berjumlah tujuh dan sesuai dengan yang disebutkan dalam surah QS al-Thalaq/65: 12.

Di bumi terdapat berbagai macam struktur batuan yang berbeda-beda tergantung dari ketinggian masing-masing batuan tersebut. Batuan yang terdapat di bumi maupun yang terekam melalui hasil pengukuran geofisika memperlihatkan bentuk-bentuk yang bervariasi dari lapisan satu ke lapisan lainnya. Struktur batuan pada suatu wilayah umumnya berasal dari batuan-batuan yang telah mengalami deformasi yang diakibatkan oleh gaya yang bekerja pada batuan tersebut (Darmawangsa, 2015: 1-2). Batuan-batuan yang ada di dalam bumi tersebut disebutkan dalam QS al-Dzariyat/51: 33, yang berbunyi:

لَنُرْسِلَ عَلَيْهِمْ حِجَارَةً مِّن طِينٍ ۝۳۳

TerjemahNya:

Agar kami timpakan kepada mereka batu dari tanah (Kementrian Agama, 2009: 522).

Menurut Quraisy Shihab dalam tafsir Al-Misbah menyatakan bahwa kaum atau pendurhaka yang keterlaluhan atau melampaui batas dan kedurhakaan pada kepribadian mereka telah mendarah daging dalam berbuat maksiat, mereka akan dilempar dengan bebatuan yang hanya diketahui bentuknya oleh Allah swt. Bebatuan tersebut diberikan tanda khusus dari Tuhanmu untuk orang-orang yang melampaui batas dalam kejahatan. Berdasarkan pendapat Sayyid Quthub yang menyatakan bahwa boleh jadi apa yang nenimpa kaum tersebut merupakan peristiwa-peristiwa seperti gempa bumi atau letusan gunung merapi yang ditetapkan oleh Allah bertepatan dengan kedurhakaan para pembangkang, boleh

jadi juga ia adalah pengaturan khusus dari Allah swt dalam membinasakan mereka.

Berdasarkan ayat dan tafsir di atas yang menjelaskan tentang batuan-batuan yang ada di dalam bumi. Batuan tersebut dapat bergerak karena adanya gaya yang bekerja pada batuan dan juga dapat dipicu karena adanya batuan yang mengalami pelapukan disebabkan oleh pengaruh iklim dan organisme. Sehingga hal yang dapat ditimbulkan dari pergerakan batuan tersebut yaitu kejadian tanah longsor dan gempa bumi yang dapat berdampak ke aktivitas dan keselamatan makhluk hidup. Gerakan tanah atau tanah longsor telah dijelaskan dalam Q.S Al Naml ayat 88, yaitu sebagai berikut:

وَتَرَى الْجِبَالَ تَحْسَبُهَا جَامِدَةً وَهِيَ تَمُرُّ مَرَّ السَّحَابِ صُنِعَ اللَّهُ الَّذِي لَمْ يَلِدْ وَلَمْ يَكُنْ لَهُ كُفُوًا شَيْءٌ إِنَّهُ خَيْرٌ مِمَّا تَفْعَلُونَ ۝۸۸

Terjemahan-Nya:

“Dan engkau akan melihat gunung-gunung, yang engkau kira tetap di tempatnya, padahal ia berjalan (seperti) awan berjalan. (Itulah) ciptaan Allah yang mencipta dengan sempurna segala sesuatu. Sungguh, Dia mahateliti apa yang kamu kerjakan.

Menurut Ibnu Katsir dalam tafsirnya adalah dan kamu lihat gunung-gunung itu, kamu sangka dia tetap di tempatnya, padahal ia berjalan sebagaimana jalannya awan. (Begitulah) perbuatan Allah yang membuat kokoh tiap-tiap sesuatu. Sungguhnya Allah Maha Mengetahui apa yang kamu kerjakan (QS. Al-Naml/27:88).

Pada kata “Dan kamu melihat gunung-gunung itu, kamu sangka dia tetap di tempatnya, padahal ia berjalan sebagaimana jalannya awan,” yaitu engkau lihat

seakan-akan tetap tidak bergerak seperti apa adanya, padahal dia berjalan seperti jalannya awan, yaitu bergerak dari tempat-tempatnya.

Pada kata “demikianlah perbuatan Allah yang membuat dengan kokoh tiap-tiap sesuatu,” yaitu Dia melakukan itu dengan ketetapan-Nya yang besar dan yang membuat kokoh setiap apa yang diciptakan-Nya dan meletakkan hikmah-hikmah di dalamnya.

Pada kata sesungguhnya Allah maha Mengetahui apa yang kamu kerjakan,” yaitu Dia mengetahui tentang apa yang di kerjakan hamba-hamba-Nya, yang baik dan buruk. Lalu mereka di balas dengan balasan yang sempurna.

Berdasarkan ayat dan tafsir di atas yang menjelaskan tentang gunung yang bergerak. Dimana gunung tersebut dapat bergerak karena adanya gaya yang bekerja pada batuan penyusun gunung dan juga dapat dipicu karena adanya batuan yang mengalami pelapukan disebabkan oleh pengaruh iklim dan organisme. Sehingga hal yang dapat ditimbulkan dari pergerakan gunung tersebut yaitu kejadian tanah longsor.

Adapun untuk faktor eksternal yaitu perbuatan manusia yang tidak cinta akan lingkungan, menebang pohon dan tidak melakukan penanaman ulang, sehingga tidak ada lagi yang mengikat tanah serta batuan tersebut serta pemanfaatan lahan pada lereng yang tidak tepat seperti pembebanan lereng yang berlebihan oleh rumah/ bangunan dan pohon yang terlalu lebat dan pemotongan lereng tanpa perhitungan (BNPB, 2017: 83). Kerusakan yang diperbuat oleh manusia ini dapat dilihat dalam firman Allah swt QS Al-Rum/30: 41, yang berbunyi:

ظَهَرَ الْفَسَادُ فِي الْبَرِّ وَالْبَحْرِ بِمَا كَسَبَتْ أَيْدِي النَّاسِ لِيُذِيقَهُمْ بَعْضَ الَّذِي عَمِلُوا لَعَلَّهُمْ يَرْجِعُونَ

41

TerjemahNya:

Telah tampak kerusakan di darat dan di laut disebabkan karena perbuatan tangan manusia, Allah menghendaki agar mereka merasakan sebagian dari (akibat) perbuatan mereka, agar mereka kembali ke jalan yang benar (Kementrian Agama, 2009: 408).

Menurut Abdullah bin Muhammad Alu Syaikh dalam tafsir Ibnu Katsir, ayat di atas menjelaskan bahwa kerusakan yang dimaksud yaitu terhentinya hujan di daratan yang diiringi oleh masa menceklik serta dari lautan yang menyebabkan kurangnya tanaman, buah-buahan, maupun binatang yang disebabkan oleh kemaksiatan. Kemaksiatan yang dimaksud penyebabnya adalah jika keadilan ditegakkan niscaya manusia dan mayoritas mereka akan menahan diri dari melakukan hal-hal yang diharamkan. Dan jika maksiat-maksiat ditinggalkan, maka hal tersebut menjadi sebab tercapainya berbagai berkah dari langit dan bumi. Tercantum pula dalam *ash-Shahihain* bahwa jika orang yang jahat mati, niscaya para hamba, kota, pohon dan binatang akan mendapat ketenangan. Balasan yang didapatkan atas perbuatan tersebut, Allah swt akan mengujinya dengan kekurangan harta, jiwa, dan buah-buahan agar mereka dapat bertaubat.

Berdasarkan ayat di atas, kerusakan bumi tergantung pada sikap manusia untuk memperlakukan bumi itu sendiri. Apabila mereka merusak segala ciptaan Allah swt yang ada di bumi ini, mereka akan mendapatkan dampak dari perbuatan mereka sendiri dengan adanya bencana alam yang dapat menimbulkan korban jiwa, materi, dan kerusakan alam.

Bumi merupakan tempat tinggal dari semua makhluk ciptaan Allah swt seperti manusia, hewan, tumbuhan, gunung, lautan, danau, sungai, lembah, dan segala yang ada didalamnya. Manusia merupakan makhluk ciptaan Allah swt yang paling sempurna, maka dari itu mereka seharusnya menjaga ciptaan Allah swt untuk dimanfaatkan dengan sebaik-sebaiknya, bukan sebaliknya dibinasakan dan dirusak demi kepentingan masing-masing (Bagus: 2019: 5-7). Oleh karena itu dalam al-Qur'an, manusia dilarang untuk berbuat kerusakan seperti yang dinyatakan dalam firman Allah swt QS Al-A'raf/7: 56, yang berbunyi:

وَلَا تُفْسِدُوا فِي الْأَرْضِ بَعْدَ إِصْلَاحِهَا وَادْعُوهُ خَوْفًا وَطَمَعًا إِنَّ رَحْمَتَ اللَّهِ قَرِيبٌ مِّنَ الْمُحْسِنِينَ ⁵¹

TerjemahNya:

“Dan janganlah kamu berbuat kerusakan di bumi setelah (diciptakan) dengan baik. Berdoalah kepada-Nya dengan rasa takut dan penuh harap. Sesungguhnya rahmat Allah sangat dekat kepada orang yang berbuat kebaikan” (Kementrian Agama, 2009: 157).

Menurut Quraisy Shihab dalam tafsir Al-Misbah menyatakan bahwa pengrusak adalah salah satu bentuk pelampauan batas. Dimana alam semesta ini diciptakan Allah swt dalam keadaan yang sangat harmonis, serasi, dan memenuhi kebutuhan makhluk, sehingga Allah memerintahkan hamba-hamba-Nya untuk mempebaikinya. Salah satu bentuk perbaikan yang dilakukan Allah adalah dengan mengutus para nabi untuk meluruskan dan memperbaiki kehidupan yang kacau di masyarakat. Siapapun yang menolak kedatangan nabi dan rasul maka mereka melakukan salah satu bentuk pengrusakan bumi. Merusak setelah diperbaiki jauh lebih buruk daripada merusaknya sebelum diperbaiki. Walaupun tentunya memperparah kerusakan atau merusak yang baik juga amat tercela. Berdoalah

kepada-Nya dengan rasa takut akan siksa-Nya dan berharap pahala-Nya. Kasih sayang Allah sangat dekat kepada setiap orang yang berbuat baik.

Berdasarkan ayat di atas, perusak yang merusak bumi mencakup kerusakan terhadap akidah, akal, tata kesopanan, pribadi maupun sosial, sarana-sarana penghidupan dan hal-hal yang bermanfaat untuk umum seperti lahan-lahan pertanian dan perdagangan. Dan barang siapa yang melaksanakan ibadah dengan baik, dia akan memperoleh pahala yang baik pula. Dan barang siapa yang berdoa dengan baik maka dia akan diberi sesuatu yang lebih baik dari apa yang dia minta.

2.2 Tanah

Tanah merupakan batuan yang mengalami pelapukan menjadi partikel kecil yang diubah secara kimiawi bersama sisa tumbuhan dan binatang yang hidup didalam dan diatasnya. Tanah merupakan bangunan alam yang tersusun atas horison yang terdiri dari bahan mineral dan organik, tidak padu dan mempunyai ketebalan yang beragam (Nugroho Hari Purnomo, 2017: 3-4). Tanah dapat terbentuk apabila tersedia bahan asal (bahan induk) dan faktor yang mempengaruhi bahan asal. Bahan asal atau bahan induk terbentuknya tanah dapat berupa mineral, batuan, dan bahan organik. Sedangkan faktor yang mengubah bahan asal menjadi tanah berupa iklim dan organisme hidup. Oleh karena itu pembentukan tanah sering disebut dengan istilah pelapukan (*Weathering*) (Sugiharyanto, 2009: 8)

Pelapukan adalah proses lapuknya batuan dari ukuran besar menjadi ukuran yang lebih kecil. Faktor utama penyebab lapuknya batuan yaitu iklim.

Unsur iklim yang paling berperan adalah curah hujan dan temperatur udara. Pelapukan terjadi tanpa adanya perubahan susunan kimia bahan asal (desintegrasi), namun dapat terjadi perubahan kimia dari bahan asal dan bahan yang terbentuk (dekomposisi). Proses terbentuknya tanah (genes) dimulai dari pelapukan batuan induk menjadi bahan induk tanah yang bercampur dengan bahan organik dan bahan mineral di permukaan tanah. Pembentukan struktur tanah serta pemindahan bahan-bahan tanah dari bagian atas tanah menuju bagian bawah dan berbagai proses lainnya yang dapat menghasilkan horizon tanah. Horizon tanah ini merupakan lapisan-lapisan tanah yang terbentuk dari hasil proses pembentukan tanah sehingga menghasilkan tanah (Sugiharyanto, 2009: 36-37)

Tanah juga dapat mengalami yang namanya erosi, dimana erosi adalah tanah yang berpindah atau terangkut dari suatu tempat ke tempat lainnya karena adanya media alam. Karena di Indonesia beriklim tropis, erosi sebagian besar disebabkan karena adanya pengaruh air. Erosi juga merupakan suatu proses hilangnya lapisan permukaan tanah atas yang disebabkan oleh pergerakan angin dan air. Proses erosi dapat menyebabkan merosotnya produktivitas tanah, daya dukung tanah untuk produksi, dan kualitas lingkungan hidup (Sugiharyanto, 2009: 42)

Menurut Khoru Sugianti dkk (2014: 98-99), klasifikasi kepekaan jenis tanah terhadap tingkat erosi, dapat dilihat pada tabel berikut:

Tabel 2.1 Klasifikasi Kepekaan Tanah Terhadap Tingkat Erosi

Jenis Tanah	Tingkat Erosi	Bobot
-------------	---------------	-------

Regosol, Litosol, Organosol	Sangat Peka	5
Andosol, Grumosol, Podsolik	Peka	4
Brown Forest, Mediteran	Agak Peka	3
Latosol	Sedikit Peka	2
Alluvial, Glei	Tidak Peka	1

Sumber: Khoris Sugianti (2013: 98-99).

2.3 Tanah Longsor dan Penyebabnya

Longsor merupakan pergerakan massa lapisan-lapisan tanah dan batuan induk pada bagian lereng atas dengan kemiringan landai hingga sangat curam menuju ke arah kaki lereng sebagian akibat terlampaui keseimbangan daya tahan lerengnya. Tanda-tanda terjadinya pergerakan tanah yaitu munculnya retak-retak dan kerutan di permukaan lereng, miringnya pepohonan, dan hilangnya kelurusan fondasi bangunan (Arin Dwi Agustin, dkk., 2016: 1).

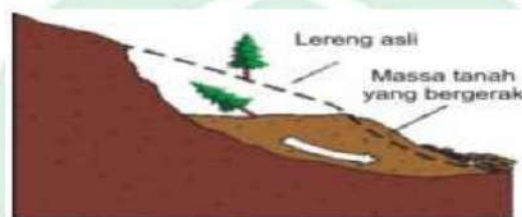
Tanah longsor merupakan berpindahnya material pembentuk lereng seperti batuan, tanah, material campuran dan bahan rombakan yang bergerak menuju daerah bawah atau kelur dari lereng. Proses terjadinya tanah longsor yaitu bermula dari air yang meresap ke dalam tanah akan bertambah bobot tanahnya, jika air tersebut menembus sampai tanah yang kedap air yang berfungsi sebagai bidang gelincir, maka tanah akan menjadi licin sehingga tanah lapu yang berada di atasnya akan bergerak mengikuti lereng (ESDM, 2007: 1).

Menurut ESDM (2007: 1), bahwa terdapat enam jenis tanah longsor yaitu longsor translasi, longsor rotasi, pergeseran blok, runtuh batu, rayapan tanah, dan aliran bahan rombakan. Jenis longsor yang paling banyak terjadi di

Indonesia adalah longsor translasi dan longsor rotasi. Sedangkan longsor yang paling banyak memakan korban jiwa yaitu aliran bahan rombakan.

1. Longsor Rotasi

Longsor rotasi yaitu Bergeraknya batuan dan massa tanah pada bidang gelincir yang berbentuk cekung. Keadaan longsor rotasi dapat ditunjukkan pada gambar 2.1 berikut:



Gambar 2.1 Longsor Rotasi (ESDM, 2007: 2)

2. Longsor Translasi

Longsor translasi yaitu Bergeraknya massa batuan dan tanah pada bidang gelincir yang berbentuk rata atau bergelombang landai. Keadaan longsor secara translasi dapat ditunjukkan pada gambar 2.2 berikut:



Gambar 2.2 Longsor Translasi (ESDM, 2007: 2)

3. Runtuhan Batu

Runtuhan batu terjadi karena sejumlah besar material dan batuan bergerak ke bawah dengan cara jatuh bebas. Longsor ini terjadi pada lereng yang terjal hingga menggantung terutama di daerah berpantai. Batu-batu besar yang jatuh

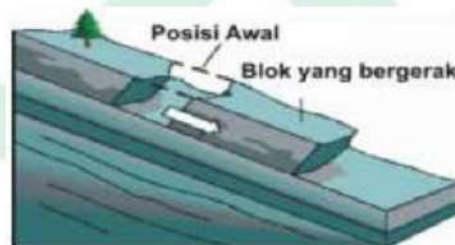
dapat menyebabkan kerusakan yang parah. Keadaan longsor secara runtuh batu dapat ditunjukkan seperti gambar 2.3 berikut:



Gambar 2.3 Runtuhan Batu (ESDM, 2007: 2)

4. Pergerakan Blok

Pergerakan blok atau biasa disebut longoran translasi blok batu adalah batuan yang berpindah dan bergerak pada bidang gelincir yang berbentuk rata. Keadaan longsor secara penggeseran blok dapat ditunjukkan pada gambar 2.4 berikut:

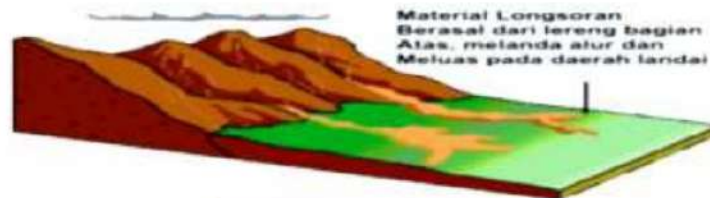


Gambar 2.4 Pergeseran Blok (ESDM, 2007: 2)

5. Aliran Bahan Rombakan

Tanah longsor ini terjadi karena massa tanah yang bergerak dan didorong oleh air. Kecepatan aliran tanah longsor tergantung pada kemiringan lereng, jenis material, tekanan dan volume air. Gerakannya terjadi di sepanjang lembah dan aliran sungai di sekitar gunungapi sehingga mampu mencapai ratusan meter. Aliran tanah tersebut dapat menelan korban jiwa yang cukup banyak. Keadaan

longsor secara aliran bahan rombakan dapat ditunjukkan seperti gambar 2.5 berikut:



Gambar 2.5 Aliran Bahan Rombakan (ESDM, 2007: 3)

6. Rayapan Tanah

Rayapan tanah yaitu jenis tanah longsor yang bergerak secara lambat yang terjadi di dataran tinggi yang memiliki kelerengan landau hingga curam. Jenis tanahnya berupa buturan halus dan kasar. Jenis tanah longsor ini dapat menyebabkan tiang-tiang listrik, pohon, dan rumah miring ke bawah. Keadaan lonsor secara rayapan tanah dapat ditunjukkan seperti gambar 2.6 berikut:



Gambar 2.6 Rayapan Tanah (ESDM, 2007: 3)

Bencana ini dipengaruhi oleh kondisi morfologi (terutama kemiringan lereng), kondisi batuan atau tanah penyusun lereng, dan kondisi hidrologi lereng. Namun, longsor tidak akan terjadi tanpa adanya proses pemicu. Pemicu longsor, yakni peningkatan kandungan air dalam lereng, getaran akibat gempa bumi atau ledakan, penggalian, serta getaran alat atau kendaraan berat pada lereng. Pemicu

lainnya adalah Pemanfaatan lahan pada lereng yang tidak tepat seperti pembebanan lereng yang berlebihan oleh rumah/ bangunan dan pohon yang terlalu lebat dan pemotongan lereng tanpa perhitungan (BNPB, 2017: 83).

Secara umum kejadian longsor disebabkan oleh dua faktor yaitu faktor pendorong dan faktor pemicu. Faktor pendorong adalah faktor-faktor yang memengaruhi kondisi material sendiri, sedangkan faktor pemicu adalah faktor yang menyebabkan bergerak material tersebut. Proses terjadinya tanah longsor diawali oleh air yang meresap ke dalam tanah akan menambah bobot tanah. Jika air tersebut menembus sampai ke tanah kedap air yang berperan sebagai bidang gelincir, maka tanah menjadi licin dan tanah pelapukan di atasnya akan bergerak mengikuti lereng dan keluar lereng (Eka Yuliana, 2017: 26).

Pada prinsipnya tanah longsor terjadi bila gaya pendorong pada lereng lebih besar dari gaya penahan. Gaya penahan umumnya dipengaruhi oleh kekuatan batuan dan kepadatan tanah. Sedangkan gaya pendorong dipengaruhi oleh besarnya sudut kemiringan lereng, air, beban serta berat jenis tanah batuan. Faktor pemicu utama kelongsoran tanah adalah air hujan. Tanah longsor banyak terjadi di perbukitan dengan ciri-ciri: kecuraman lereng lebih dari 30 derajat, curah hujan tinggi, terdapat lapisan tebal (lebih dari 2 meter) menumpang di atas tanah/batuan yang lebih keras, tanah lereng terbuka yang dimanfaatkan sebagai permukiman, ladang, sawah atau kolam (Eka Yuliana, 2017: 26).

Kejadian tanah longsor sangat dipengaruhi oleh kondisi geologi yang berhubungan dengan sifat keteknikan tanah dan batuan penyusun serta kondisi lereng. Pemotongan lereng yang dilakukan tanpa memperhitungkan nilai

kestabilan lereng akan semakin memicu terjadinya tanah longsor. Faktor lain yang erat kaitannya dengan proses kejadian tanah longsor adalah kondisi keairan bawah permukaan yang akan mempengaruhi kekuatan geser material penyusun akibat adanya tekanan air pori (*pore water pressure*) yang terjadi pada saat pengisian rongga pada material atau batuan oleh air (Suwoto,dkk., 2016: 96).

2.4 Sistem Informasi Geografi (SIG)

Sistem Informasi Geografi (SIG) adalah sistem komputer yang digunakan untuk mengumpulkan, memeriksa, mengintegrasikan, dan menganalisis informasi-informasi yang berhubungan dengan permukaan bumi. Pada dasarnya, istilah sistem informasi geografi merupakan gabungan tiga unsur pokok yaitu sistem, informasi, geografi. Dengan demikian, pengertian terhadap tiga unsur pokok ini sangat membantu dalam memahami SIG (Indra Kanedi dkk, 2015: 51). Sistem Informasi Geografi (SIG) adalah sebuah sistem yang dirancang untuk bekerja dengan data yang bereferensi spasial atau berkoordinat geografis atau dengan kata lain suatu GIS adalah sistem basis data dengan kemampuan khusus untuk menangani data yang bereferensi keruangan (spasial) bersamaan dengan seperangkat operasi kerja (Rafli Setiadi, 2016: 3).

Menurut Todingan (2014: 2), bahwa sistem Informasi Geografi (SIG) adalah suatu sistem yang mempunyai kemampuan analisis terhadap data spasial untuk keperluan manipulasi maupun permodelan. Fungsi analisis dijalankan memakai data spasial dan data atribut dalam SIG untuk menjelaskan berbagai hal yang dikembangkan dari data yang akan menjadi suatu persoalan yang relevan.

2.5 Curah Hujan

Menurut Eddy Hermawan (2009: 416), bahwa hujan merupakan unsur iklim yang paling penting di Indonesia karena keragamannya sangat tinggi baik menurut waktu maupun tempat. Sehingga kajian tentang iklim lebih banyak diarahkan pada hujan. Hujan adalah salah satu bentuk dari presipitasi. Presipitasi adalah uap yang mengkondensasikan dan jatuh ke tanah dalam rangkaian proses siklus hidrologi. Hujan terjadi karena adanya siklus air atau siklus hidrologi, tepatnya siklus hidrologi sedang.

Curah hujan adalah sebagai tinggi air hujan (dalam mm) yang diterima di permukaan sebelum mengalami aliran permukaan, evaporasi atau perembesan ke dalam tanah. Jumlah hari hujan dibatasi oleh jumlah hari dengan tinggi curah 0,5 mm atau lebih. Jumlah hari jumlah dapat dinyatakan per minggu, dekade, bulan, tahun dan satu periode tanam. Sedangkan jumlah curah hujan dicatat dalam inci atau milimeter (1 inci = 25,4 mm). Jumlah curah hujan 1 mm, menunjukkan tinggi air hujan yang menutupi permukaan bumi 1 mm, jika air tersebut tidak meresap ke dalam tanah atau menguap ke atmosfer (Eddy Hermawan, 2009: 416).

Jumlah hujan yang jatuh di suatu daerah selama waktu tertentu disebut juga dengan curah hujan. Untuk mengukur besarnya curah hujan, digunakan alat yang disebut penakar hujan (*rain gauge*) dan curah hujan diukur dalam skala milimeter (mm). Intensitas curah hujan merupakan ukuran jumlah hujan per satuan waktu tertentu selama hujan berlangsung (Candra, 2016: 46).

Menurut Yerison Demu Ratu (2012: 24-28), dari pengukur curah hujan akan didapatkan beberapa data yang kemudian diolah menjadi tiga jenis hasil pengukuran seperti berikut:

1. Jumlah curah hujan harian, yaitu hasil pengukuran hujan selama 24 jam.
2. Jumlah curah hujan bulanan, yaitu jumlah total curah hujan harian selama sebulan.
3. Jumlah curah hujan tahunan, yaitu jumlah total curah hujan harian selama 12 bulan.

2.6 Geomorfologi

Geomorfologi dapat didefinisikan sebagai ilmu yang membicarakan tentang bentuk lahan yang mengukir permukaan bumi, menekankan cara pembentukannya serta konteks kelingkungannya. Objek kajian geomorfologi adalah bentuk lahan yang tersusun pada permukaan bumi yang ada di daratan maupun penyusun muka bumi pada dasar laut, yang dipelajari dengan menekankan pada proses pembentukan dan perkembangan pada masa yang akan datang, serta konteks lingkungannya (Puguh Dwi Raharjo, 2013: 168).

Kondisi geomorfologi yang dimiliki suatu daerah merupakan sumber daya alam. Salah satu sumberdaya alam adalah sumberdaya lahan. Pemanfaatan sumber daya lahan yang seoptimal mungkin menjadi suatu keharusan sehingga mendapatkan hasil yang optimal, namun perlu diupayakan agar tidak terjadi kerusakan pada lahan tersebut. Data mengenai sumberdaya lahan sangat diperlukan untuk dapat memanfaatkan potensi sumberdaya lahan secara optimal.

Informasi mengenai kondisi geomorfologi pada suatu daerah merupakan dasar utama dalam penyusunan pengolahan lahan (Puguh Dwi Raharjo, 2013: 168).

Menurut Iskandar (2008: 168), bahwa manfaat peta geomorfologi antara lain untuk inventarisasi lahan pertanian, untuk mempelajari masalah-masalah penggunaan lahan secara ekstensif, dan sebagai dasar untuk mengembangkan peta terhadap penggunaan yang lebih bervariasi. Peta geomorfologi juga dapat berguna untuk penyusunan rencana dalam tata ruang sesuai dengan kondisi fisik lingkungan setempat, sehingga diharapkan dapat memberikan kontribusi bagi peningkatan kehidupan masyarakat yang lebih baik.

2.7 Kemiringan Lereng

Menurut Sri Wahyuni HS (2015:71), bahwa kemiringan lereng adalah sudut yang dibentuk oleh perbedaan tinggi permukaan lahan (relief), yaitu antara bidang datar tanah dengan bidang horizontal dan pada umumnya dihitung dalam persen (%). Kemiringan lereng dapat diperoleh melalui peta kelerengan, dimana pembuatan peta kelerengan akan mengacu pada klasifikasi pembagian kelerengan. Kemiringan lereng suatu daerah dapat diklasifikasikan berdasarkan pembagian kemiringan lereng pada tabel berikut:

Tabel 2.2 Pembagian Kemiringan Lereng Berdasarkan Klasifikasi USSSM (*United Statted Soil System Management*) dan USLE (*Universal Soil Loss Equation*)

Deskripsi	Kemiringan Lereng (%)	Kemiringan Lereng (°)	Klasifikasi USSSM (%)	Klasifikasi USLE (%)
Datar	0-2	<1	0-2	1-2

Sangat Landai	3-7	1-3	2-6	2-7
Landai	8-13	3-6	6-13	7-12
Agak Curam	14-20	6-9	13-25	12-18
Curam	21-55	9-25	25-55	18-24
Sangat Curam	56-140	25-26	>55	>24
Terjal	>140	>26		

Sumber: Ida Yuliani (2015:10).

Menurut Mega WS (2013: 1), bahwa kemiringan lereng juga dibagi menjadi beberapa kelas berdasarkan Undang-Undang Tata Ruang yaitu untuk kelas datar kemiringan lerengnya sebesar 0-8 %, untuk kelas landai kemiringan lerengnya sebesar 8-15%, untuk kelas agak curam kemiringan lerengnya sebesar 15-25%, untuk kelas curam kemiringan lerengnya sebesar 25-45 %, dan untuk kelas sangat curam kemiringan lerengnya >45%.

Dimana tanah longsor dapat terjadi karena dipengaruhi oleh tingkat kecuraman dan gaya pendorongnya terhadap material pada lereng tersebut. Jika kecuraman pada suatu lereng sangat tinggi maka gaya pendorongnya juga semakin besar. Dimana untuk kelas kelerengan diatas 45% memiliki rasio yang sangat tinggi yang menunjukkan bahwa daerah tersebut berpotensi untuk terjadi tanah longsor (Nurul Fadilah, 2019: 46)

2.8 Porositas dan Permeabilitas

Porositas adalah perbandingan antar ruang kosong dengan seluruh volume batuan atau sedimen yang dinyatakan dalam persen. Porositas menentukan banyaknya air yang dapat dikandung dalam batuan. Porositas dipengaruhi oleh besar dan bentuk butir material penyusun batuan tersebut, susunan butiran-

butirannya dan ukuran pori. Penampakan porositas dan permeabilitas batuan dapat dilihat pada gambar 2.7 berikut:



Gambar 2.7 Porositas dan Permeabilitas (Rahma Hi. Manrulu, dkk., 2018: 9)

Porositas merupakan angka tak berdimensi biasanya diwujudkan dalam bentuk prosentase (%). Umumnya untuk tanah normal mempunyai porositas berkisar antara 25%-75%, sedangkan untuk batuan yang terkonsolidasi berkisar antara 0%-10%. Material berbutir halus mempunyai porositas yang lebih besar dibandingkan dengan tanah berbutir kasar. Porositas pada material seragam lebih besar dibandingkan material beragam. Porositas dapat dibagi menjadi dua yaitu porositas primer dan porositas sekunder. Porositas primer adalah porositas yang ada sewaktu bahan tersebut terbentuk sedangkan porositas sekunder dihasilkan oleh retakan retakan dan alur yang terurai (Rahma Hi. Manrulu, dkk., 2018: 9).

Pori-pori merupakan ciri batuan sedimen klastik dan bahan butiran lainnya. Pori berukuran kapiler dan membawa air yang disebut air pori. Permeabilitas juga sangat berpengaruh pada aliran dan jumlah air tanah. Permeabilitas merupakan kemampuan batuan atau tanah untuk melewatkan atau meloloskan air melalui suatu media *porous*. Permeabilitas tergantung pada faktor-faktor seperti besarnya rongga-rongga dan derajat hubungan antar rongga. Batuan yang porositasnya rendah umumnya permeabilitasnya pun rendah dan batuan yang porositasnya tinggi belum tentu permeabilitasnya tinggi, karena besarnya

hubungan antar rongga sangat menentukan. Tabel 2.2 memperlihatkan nilai porositas dan permeabilitas berbagai batuan (Rahma Hi. Manrulu, dkk., 2018: 10)

Tabel 2.3 Nilai Porositas Berbagai Batuan

Batuan	Porositas (%)	Permeabilitas (cm/jam)
Lempung	45 – 55	0,0005
Pasir	35 – 40	50
Kerikil	30 – 40	5.000
Pasir dan kerikil	20 – 35	500
Batu pasir	10 – 20	5
Serpih	1 – 10	0,0005
Batu gamping	1 – 10	3,93
Cadas/tuf	-	0,83

Sumber: Rahma Hi. Manrulu, dkk (2018: 10).

2.9 Kondisi Fisik Wilayah

Menurut Pokja AMPL kabupaten Pinrang (2015: 12), bahwa kondisi topografi kabupaten Pinrang memiliki rentang yang cukup lebar, mulai dari dataran dengan ketinggian 0 mdpl hingga dataran dengan ketinggian 1000 mdpl. Dataran yang berada pada ketinggian 1000 mdpl sebagian besar berada di bagian tengah hingga utara kabupaten Pinrang terutama pada daerah yang berbatasan dengan kabupaten Toraja. Adapun pengelompokan ketinggian/topografi yang ada di Kabupaten Pinrang terbagi menjadi empat yaitu sebagai berikut:

1. Ketinggian di atas 1000 mdpl

Wilayah yang termasuk dalam pengelompokan ketinggian ini terdiri dari sebagian kecamatan Batulappa dan Lembang.

2. Ketinggian 400-1000 mdpl

Wilayah yang termasuk ke dalam pengelompokan ketinggian ini sebagian kecil meliputi wilayah kecamatan Duampanua.

3. Ketinggian 100-400 mdpl

Wilayah yang termasuk ke dalam daerah dengan ketinggian ini meliputi beberapa wilayah kecamatan Paleteang, kecamatan Mattiro Bulu, dan kecamatan Suppa.

4. Ketinggian 0-100 mdpl

Wilayah yang termasuk ke dalam daerah ketinggian ini sebagian besar berada di daerah pesisir yang meliputi beberapa wilayah yaitu kecamatan Cempa, Mattiro Sompe, Lanrisang, Wattang Sawitto, Tiroang, dan Patampanua.

Menurut Pokja AMPL kabupaten Pinrang (2015: 12), bahwa kondisi topografi kabupaten Pinrang dapat dikelompokkan berdasarkan kemiringan lerengnya yaitu sebagai berikut:

1. Kemiringan 0-3 %

Wilayah ini memiliki lahan yang relatif datar yang sebagian besar terletak di kawasan pesisir meliputi wilayah kecamatan Mattiro Sompe, Lanrisang, Watang Sawito, Tiroang, Patampanua dan kecamatan Cempa.

2. Kemiringan 3 – 8 %

Wilayah ini memiliki permukaan datar yang relatif bergelombang. Wilayah yang memiliki karakteristik topografi demikian terdiri dari kecamatan, Suppa, Mattiro Bulu, Batulappa dan kecamatan Paleteang.

3. Kemiringan 8 – 45 %

Wilayah ini memiliki permukaan yang bergelombang sampai agak curam. Wilayah yang memiliki karakteristik topografi seperti ini adalah wilayah kecamatan Duampanua.

4. Kemiringan > 45 %

Wilayah ini memiliki permukaan curam yang bergunung-gunung. Wilayah yang memiliki karakteristik topografi ini meliputi wilayah-wilayah kaki pegunungan seperti kecamatan Lembang.

Menurut Pokja AMPL kabupaten Pinrang (2015: 13), bahwa kabupaten Pinrang memiliki kondisi geologi yang diambil dari hasil pengamatan dan kompilasi peta geologi lembar Majene dan Palopo bagian barat. Maka dari kedua hal tersebut, kondisi geologi kabupaten Pinrang dapat diklasifikasikan sebagai berikut:

1. Endapan alluvium dan sungai, dimana endapan ini mempunyai ketebalan antara 100-150 meter, terdiri dari atas lempung, lanau, pasir dan kerikil. Pada umumnya endapan lapisan ini mempunyai kelulusan air yang bervariasi dan kecil hingga tinggi. Potensi air tanah dangkal cukup besar tetapi sebagian wilayah kualitasnya kurang baik. Muka air tanah dangkal 1-1,50 meter.
2. Batuan aliran lava, dimana batuan ini bersusun trakhit abu-abu muda hingga putih dan berkekar tiang. Penyebarannya ke arah sekitaran kecamatan Duampanua dan kecamatan Lembang.
3. Batuan gunungapi atau breksi bersusun trakhit dan andesit, konglomerat, breksi terfaan, batu apung, batu pasir terfaan. Ketebalan batumannya berkisar 500 meter dengan penyebaran di bagian utara kota pinrang yakni sekitar Bulu

Pakoro dan Bulu Lemo, sedangkan di bagian selatan yakni sekitar Bulu Paleteang, Bulu Manarang, dan Bulu Lasako (berbatasan dengan Parepare). Terdapat juga batu gamping terumbu yang umumnya relative sama dengan batuan gunungapi di daerah Bunging.

4. Batu pasir, dengan satuan yang bersusun andesit, batu lanau, breksi dan konglomerat. Struktur sesar berpotensi pada batuan aliran lava dan batu pasir bersusun andesit berupa sesar normal.
5. Batuan konglomerat (formasi Walanae), formasi batuan ini terketak di bagian timur lau Pinrang yakni di sekitaran Malimpung sampai ke wilayah kabupaten Sidrap. Satuan batuan tersebut terdiri dari batu pasir glakonit, serpih dan konglomerat. Bentuk formasi batuan tersebut membentuk morfologi bergelombang dengan ketebalan kira-kira hingga 400 meter.
6. Batu lava bersusun basol hingga andesit, satuan batuan ini berbentuk lava bantal, andesit trkhit dan breksi andesit piroksin dengan ketebalan 50 hingga 100 meter dengan penyebaran sekitar Bulu Pakoro dan Bulu Tirasa.

Menurut Pokja AMPL kabupaten Pinrang (2015: 13-14), bahwa kondisi jenis tanah yang terdapat di kabupaten Pinrang dapat dilihat pada tabel sebagai berikut:

Tabel 2.4 Jenis Tanah di Wilayah Kabupaten Pinrang

No	Kecamatan	Jenis Tanah
1	Suppa	Aluvial Kelabu; Grumosol Kelabu; Aluvial Hidromorf; Regosol Kelabu;
2	Mattiro Sompe	Aluvial Hidromorf; Aluvial Kelabu Kekuningan; Aluvial Kelabu Olif;

3	Lanrisang	Grumosol Kelabu;
4	Mattiro Bulu	Regosol Kelabu; Grumosol Kelabu; Brown Forest Soil;
5	Watang Sawitto	Aluvial Kelabu; Aluvial Hidromorf; Aluvial Kelabu Olif; Regosol Kelabu;
6	Paleteang	Regosol Coklat Kelabuan; Aluvial Kelabu Olif; Aluvial Kelabu Kekuningan; Regosol Kelabu Kekuningan;
7	Tiroang	Regosol Kelabu; Brown Forest Soil;
8	Patampanua	Aluvial Kelabu Kekuningan dan Olif; Aluvial Hidromorf; Regosol Kelabu Kekuningan; podsolik Coklat Kekuningan; Brown Forest Soil;
9	Cempa	Aluvial Kelabu Kekuningan; Aluvial Hidromorf; Aluvial Kelabu Olif;
10	Duampanua	podsolik Coklat Kekuningan; Aluvial Kelabu Kekuningan; podsolik Coklat; Aluvial Kelabu Olif; Aluvial Hidromorf;
11	Batulappa	podsolik Coklat; podsolik Coklat Kekuningan;
12	Lembang	Brown Forest Soil.

Sumber: Pokja AMPL Kabupaten Pinrang (2015: 13-14).

BAB III

METODE PENELITIAN

3.1 Waktu dan Tempat Penelitian

Penelitian ini dilaksanakan pada bulan April–September 2020 di desa Kaseralau kecamatan Batulappa kabupaten Pinrang provinsi Sulawesi Selatan. Untuk pengolahan datanya dilakukan di laboratorium komputasi fakultas Sain dan Teknologi Universitas Islam Negeri Alauddin Makassar.



Gambar 3.1 Lokasi Penelitian

3.2 Alat dan Bahan

Adapun alat dan bahan yang digunakan adalah sebagai berikut:

3.2.1 Alat

Alat yang digunakan dalam penelitian ini adalah:

- a. *Software Arcgis.*

b. *Global Policy and Strategi (GPS)*.

c. Peta geologi.

3.2.2 Bahan

Bahan yang digunakan pada penelitian ini berupa data sekunder yang diperoleh dari badan pusat statistik, pokja AMPL, data Demnas dan Indonesia Geospasial.

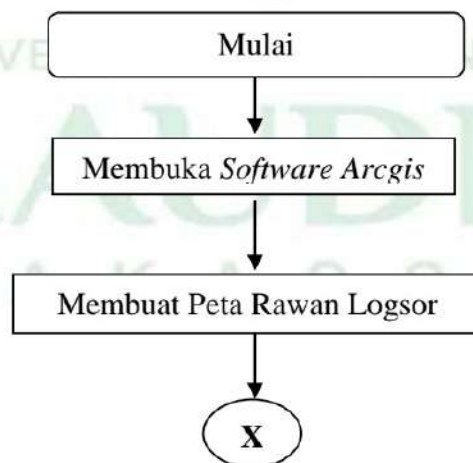
3.3 Teknik Pengumpulan Data

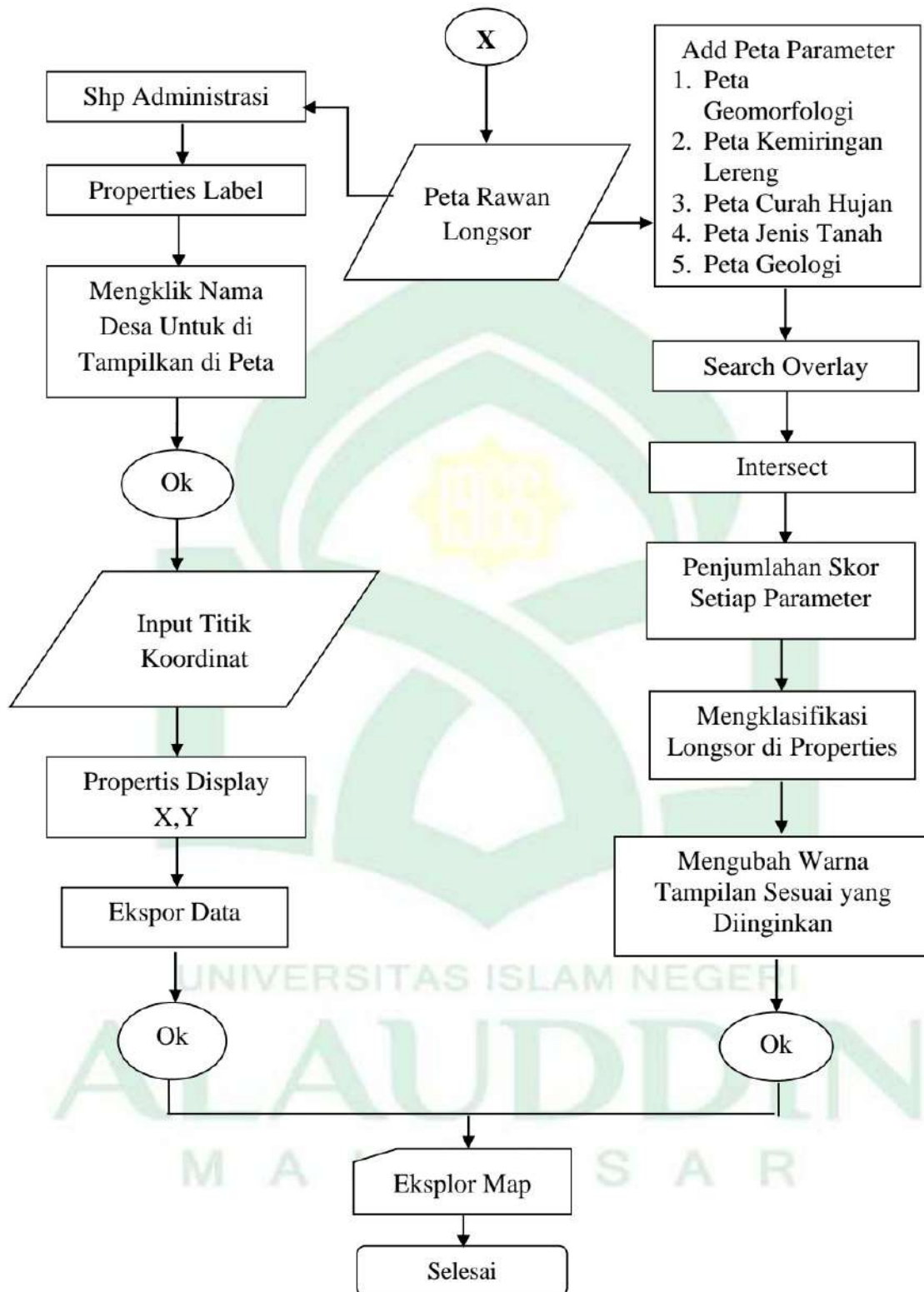
Pada penelitian ini, data yang dibutuhkan adalah titik koordinat longsor dan disertakan dengan gambar longsor pada lokasi tersebut yang diperoleh dari hasil survei lapangan.

3.4 Teknik Analisis Data

Perhitungan persentase luas sebaran hasil pemetaan diperoleh dari hasil luas wilayah atribut pemetaan dibagi dengan jumlah keseluruhan luas wilayah penelitian dan kemudian dikali dengan 100%.

3.5 Prosedur Kerja Program Arcgis



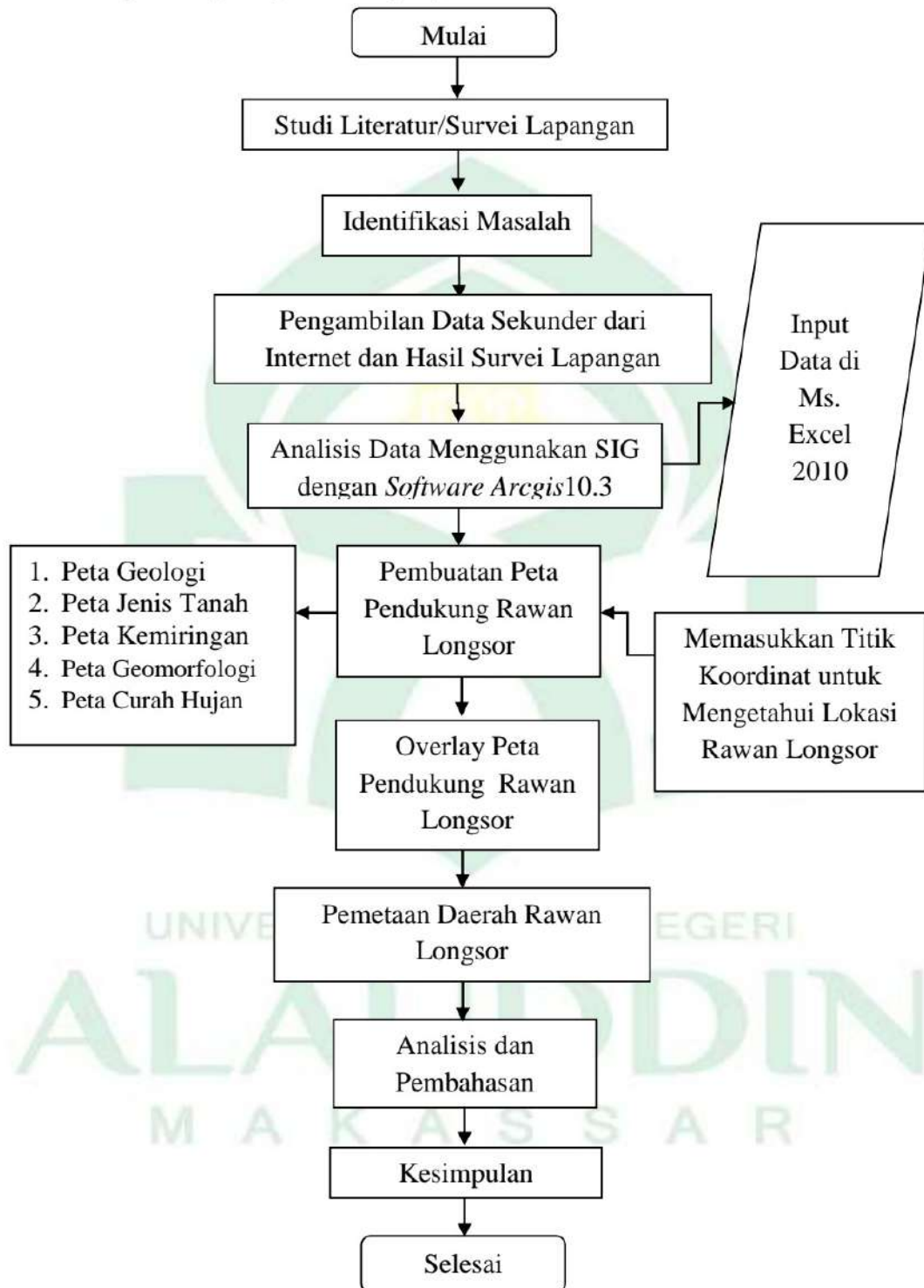


Gambar 3.2 Prosedur Pembuatan Peta Rawan Longsor Menggunakan *Software*

Arcgis 10.3

3.6 Diagram Alir Penelitian

Bagan alir pada penelitian yang akan dilakukan adalah:



Gambar 3.3 Bagan Alir Penelitian.

BAB IV

HASIL PENELITIAN DAN PEMBAHASAN

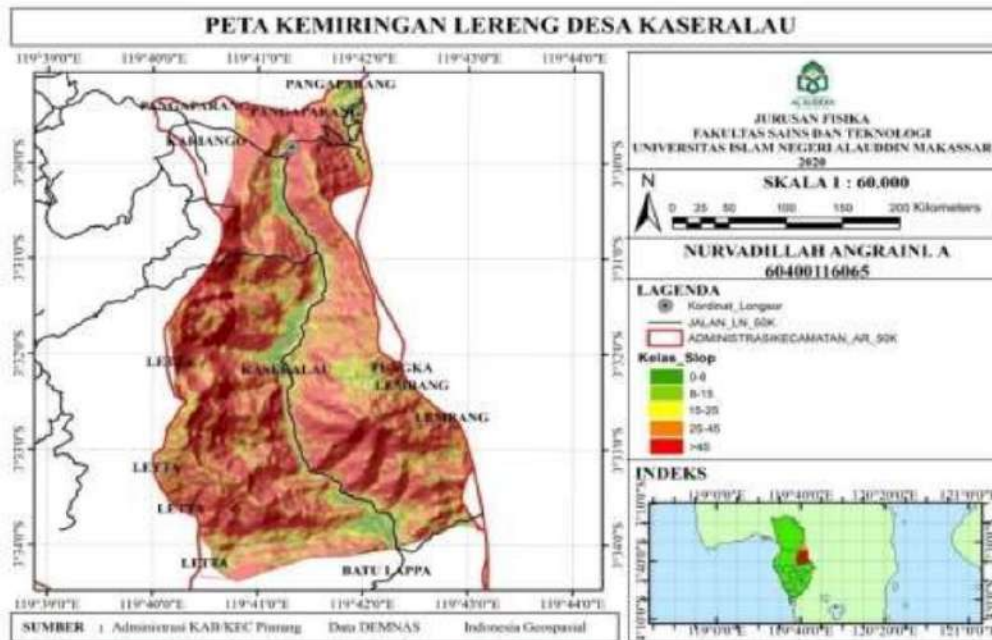
4.1 Hasil Penelitian

Peta rawan longsor didukung oleh beberapa parameter seperti data curah hujan, geomorfologi, kemiringan lereng, jenis tanah, dan juga kondisi geologi. Data tersebut diperoleh dari data BPS kabupaten Pinrang dalam angka 2019 untuk data curah hujan, data shp tahun 2012 untuk data geologi, data kemiringan lereng dan geomorfologi diperoleh dari data demnas pada indonesia geospasial tahun 2012 dan untuk data jenis tanah diperoleh dari data Pokja AMPL kabupaten Pinrang tahun 2018 dan Indonesia Geospasial tahun 2018. Data yang diperoleh berbeda tahun karena biasanya data tersebut diperbaharui dalam 5 tahun sekali dan ada juga yang bisa diambil pertahunnya tapi terlalu rumit karena harus menyurat serta memasukkan proposal dan ada juga data yang berbayar karena tidak semua perusahaan menyebarluaskan data tersebut secara gratis.

4.1.1 Kemiringan Lereng

Berdasarkan hasil dari atribut tabel dari peta kemiringan lereng (gambar 4.1), maka diperoleh data kemiringan lereng di desa Kaseralau yaitu untuk kemiringan 0 – 8 % memiliki luas sebesar 2%, untuk kemiringan 8 – 15 % memiliki luas sebesar 4%, untuk kemiringan 15 – 25 % memiliki luas sebesar 10%, untuk kemiringan 25 – 45 % memiliki luas sebesar 33%, dan untuk kemiringan >45 % memiliki luas sebesar 50%. Perhitungan persentase luas sebaran diperoleh dari hasil luas wilayah kelerengan dibagi dengan jumlah keseluruhan luas wilayah kemiringan lereng dan kemudian dikali 100%. Berikut

merupakan hasil peta kemiringan lereng yang telah dibuat menggunakan Aplikasi Sistem Informasi Geologis (SIG):



Gambar 4.1 Peta Kemiringan Lereng Desa Kaseralau

Berdasarkan data atribut dari peta kemiringan lereng yang telah diperoleh sesuai dengan teori, dimana tanah longsor dapat terjadi karena dipengaruhi oleh tingkat kecuraman dan gaya pendorongnya terhadap material pada lereng tersebut. Jika kecuraman pada suatu lereng sangat tinggi maka gaya pendorongnya juga semakin besar. Dimana untuk kelas kelerengan diatas 45% memiliki rasio yang sangat tinggi yang menunjukkan bahwa daerah tersebut berpotensi untuk terjadi tanah longsor (Nurul Fadilah, 2019: 46).

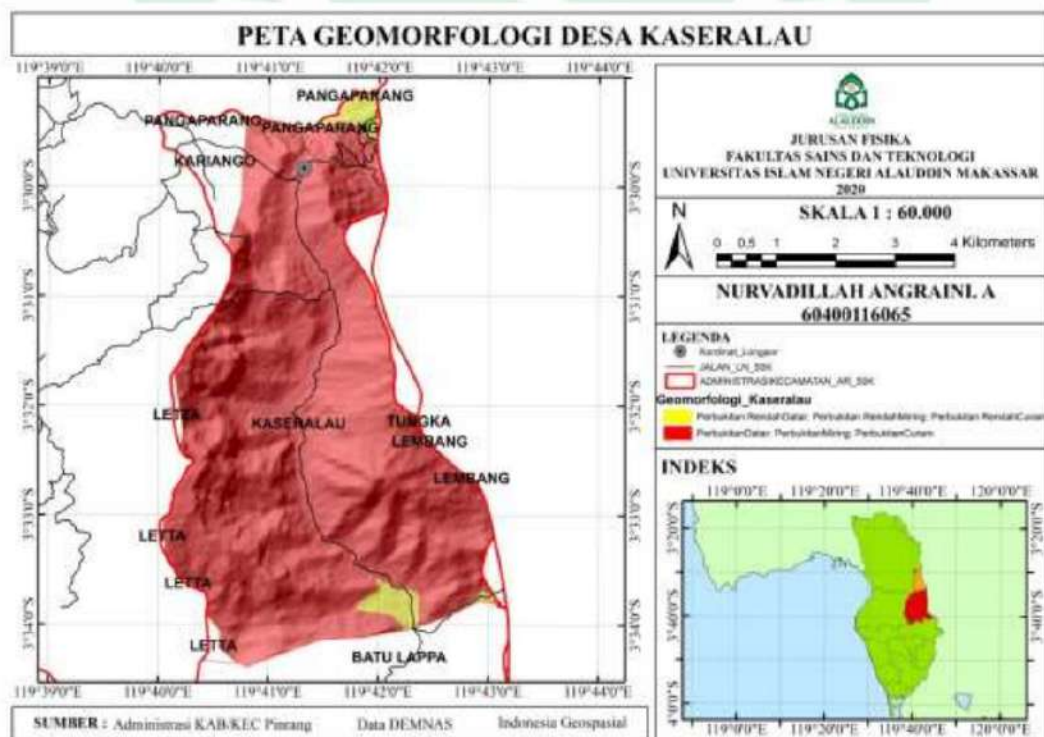
Data hasil penelitian ini didukung oleh data Pokja AMPL kabupaten Pinrang (2015: 12), bahwa pada kecamatan Batulappa memiliki kondisi topografi bervariasi dengan kelerengan diatas 8% hingga diatas 45%. Dimana untuk daerah

penelitian berada pada perbatasan kecamatan Lembang yang memiliki kemiringan lereng diatas 45%.

Berdasarkan hasil yang diperoleh di atas, dapat disimpulkan bahwa pada daerah penelitian memiliki kelerengan dengan kemiringan $>45\%$ yang berpotensi untuk terjadi gerakan tanah atau tanah longsor, namun tidak selamanya daerah yang memiliki kelerengan curam punya potensi longsor tetapi juga dapat dilihat dari kondisi geologi dan jenis tanah pada daerah tersebut.

4.1.2 Geomorfologi

Berikut merupakan hasil peta geomorfologi yang telah dibuat menggunakan Aplikasi Sistem Informasi Geologis (SIG):



Gambar 4.2 Peta Geomorfologi Desa Kaseralau

Berdasarkan data atribut dari peta geomorfologi di atas diperoleh dua klasifikasi geomorfologi yang terdapat pada desa Kaseralau yaitu perbukitan

rendah dan perbukitan yang juga dipengaruhi oleh kemiringan lahan datar, miring dan curam. Untuk luas dari perbukitan rendah datar, miring dan curam sebesar 43%, dan untuk luas dari perbukitan datar miring dan curam sebesar 57%. Perhitungan persentase luas sebaran diperoleh dari hasil luas wilayah geomorfologi dibagi dengan jumlah keseluruhan luas wilayah geomorfologi dan kemudian dikali 100%.

Berdasarkan data atribut dari peta geomorfologi yang telah diperoleh sesuai dengan teori dimana tanah longsor juga dapat terjadi apabila daerah tersebut memiliki geomorfologi berupa daerah perbukitan yang terbentuk akibat adanya proses tektonik. Dan juga ditambah dengan kemiringan lereng curam, pola pengairan pada daerah tersebut yang berhubungan dengan proses erosi, kondisi geologi berupa batuan breksi gunungapi serta material longsorannya berupa bongkahan batuan beku bersusun andesit hingga jenis tanah kemerahan yang berasal dari pelapukan batuan beku (Heru A. Rahmanda, 2017: 3-4).

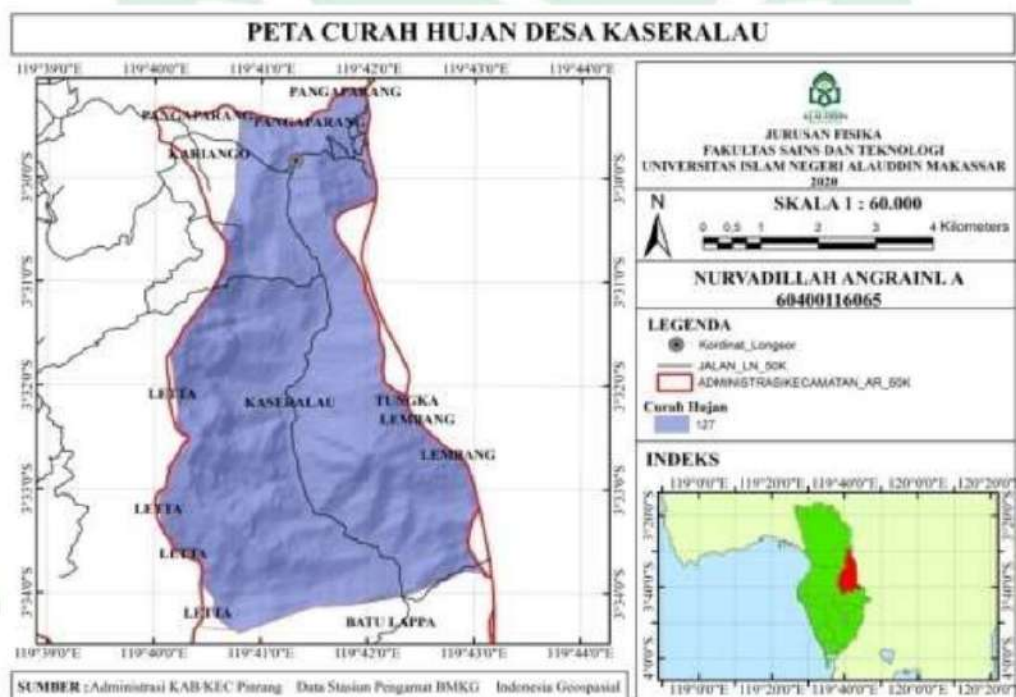
Data hasil penelitian ini didukung oleh data Pokja AMPL kabupaten Pinrang (2015: 12) bahwa pada kecamatan Batulappa dan kecamatan Lembang memiliki topografi sebesar 1000 mdpl. Dari data topografi tersebut dapat disimpulkan bahwa daerah tersebut merupakan daerah perbukitan. Dan berdasarkan hasil survei lapangan yang dilakukan pada bulan November 2019, pada daerah penelitian merupakan daerah yang memiliki morfologi perbukitan.

Berdasarkan hasil yang diperoleh di atas dapat disimpulkan bahwa pada daerah penelitian memiliki geomorfologi berupa gunung atau daerah perbukitan tinggi yang merupakan sumber resapan air. Apabila air terserap dengan baik pada

daerah tersebut dan juga memiliki lapisan jenis tanah dan batuan yang mudah lapuk dengan kemiringan lereng curam diatas 20° kemungkinan daerah tersebut berpotensi akan terjadinya longsor.

4.1.3 Curah Hujan

Berdasarkan data BPS kabupaten Pinrang dalam angka 2019, kecamatan Batulappa memiliki curah hujan rata – rata sebesar 127 mm pada setiap bulannya dengan jumlah hari hujan yaitu 91 hari pada tahun 2018. Curah hujan tertinggi terjadi pada bulan february sebesar 301 mm dengan hari hujan yaitu 13 hari. Dari data tersebut, dapat dibuatkan pemetaan curah hujan menggunakan *software Arcgis* pada daerah penelitian yaitu sebagai berikut:



Gambar 4.3 Peta Curah Hujan Desa Kaseralau

Berdasarkan data atribut dari peta curah hujan yang telah diperoleh sesuai dengan teori, dimana curah hujan dapat mengakibatkan terjadinya tanah longsor

karena dapat mempengaruhi kestabilan lereng secara tidak langsung terhadap kondisi pori-pori di dalam material pembentuk lereng. Curah hujan diatas 50 mm per jam dapat mengakibatkan kejadian tanah longsor dangkal. Namun pada curah hujan rata-rata diatas 184 mm mengakibatkan daerah tersebut rawan akan terjadinya tanah longsor dan juga banjir (Gede Surya, 2014: 65-68).

Data hasil penelitian ini didukung oleh data yang diperoleh dari BPS kabupaten Pinrang 2019 dan Balai Meteorologi, Klimatologi, dan Geofisika yang menyatakan bahwa curah hujan bulanan diklasifikasikan menjadi tiga yaitu curah hujan 0-100 merupakan curah hujan ringan, curah hujan 100-300 merupakan curah hujan sedang, dan curah hujan >300 merupakan curah hujan tinggi.

Berdasarkan data diatas dapat disimpulkan bahwa curah hujan yang relatif sedang hingga tinggi dapat berpotensi akan terjadinya longsor karena dapat dilihat dari jenis tanah dan batuan pada daerah tersebut. Dimana jenis tanah/batuan pada daerah tersebut bersifat lempung, lanau, dan pasir merupakan jenis tanah/batuan yang dapat meloloskan air atau memiliki porositas yang tinggi, sehingga sifat tersebut menjadikan tanah/batuan bertambah berat bobotnya jika hujan terjadi secara terus menerus dan mengakibatkan tanah longsor. Berikut merupakan data curah hujan yang diperoleh dari BPS kabupaten Pinrang mulai bulan Januari 2018 sampai Desember 2018:

Tabel 4.1. Curah Hujan Kabupaten Pinrang Pada Tahun 2018

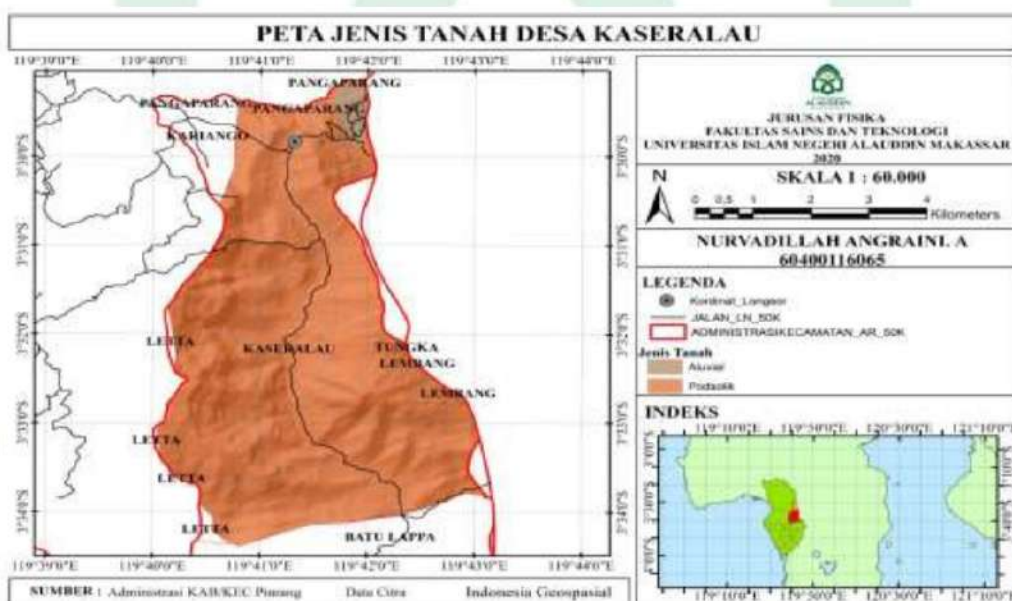
NO	BULAN	HARI Hujan	CURAH HUJAN (mm ³)	KETERANGAN
1	Januari	12	172	Sedang
2	Februari	10	184	Sedang

3	Maret	12	194	Sedang
4	April	13	301	Tinggi
5	Mei	6	74	Rendah
6	Juni	10	181	Sedang
7	Juli	2	11	Rendah
8	Agustus	1	3	Rendah
9	September	1	1	Rendah
10	Oktober	1	13	Rendah
11	November	10	141	Sedang
12	Desember	13	251	Sedang
Jumlah / Rata – Rata		91	127	Sedang

(Sumber : Stasiun Curah Hujan BMKG)

4.1.4 Jenis Tanah

Berikut merupakan hasil peta jenis tanah yang telah dibuat menggunakan Aplikasi Sistem Informasi Geologis (SIG):



Gambar 4.4 Peta Jenis Tanah Desa Kaseralau

Berdasarkan hasil dari data atribut tabel pada peta jenis tanah di atas, diperoleh jenis tanah yang paling luas pada desa Kaseralau adalah tanah podsolik

dengan luas penyebaran sebesar 98% dan 2% lebihnya untuk tanah alluvial. Perhitungan persentase luas sebaran diperoleh dari hasil luas wilayah tanah dibagi dengan jumlah keseluruhan luas wilayah tanah dan kemudian dikali 100%.

Berdasarkan data atribut dari peta geologi yang telah diperoleh sesuai dengan teori, dimana tanah podsolik merupakan tanah yang terbentuk pada daerah yang bercurah hujan tinggi dengan bahan induknya yaitu batuan pasir, lempung dan sedimen yang berada pada daerah yang berdataran tinggi atau perbukitan. Jenis tanah ini bersifat agak asam, memiliki struktur menggumpal dengan kesuburan rendah hingga sedang dan peka terhadap erosi (Rini Triani, 2017: 11) sedangkan untuk tanah alluvial merupakan pelapukan dari endapan alluvium (endapan alluvial sungai, pantai, dan rawa) yang berumur kuartar yang biasa ditemukan di daerah yang memiliki dataran rendah, dimana jenis tanah ini memiliki tekstur yang beraneka mulai dari lempung, lanau, pasir, lumpur dan kerikil (Prasetyo, 2008: 2-3).

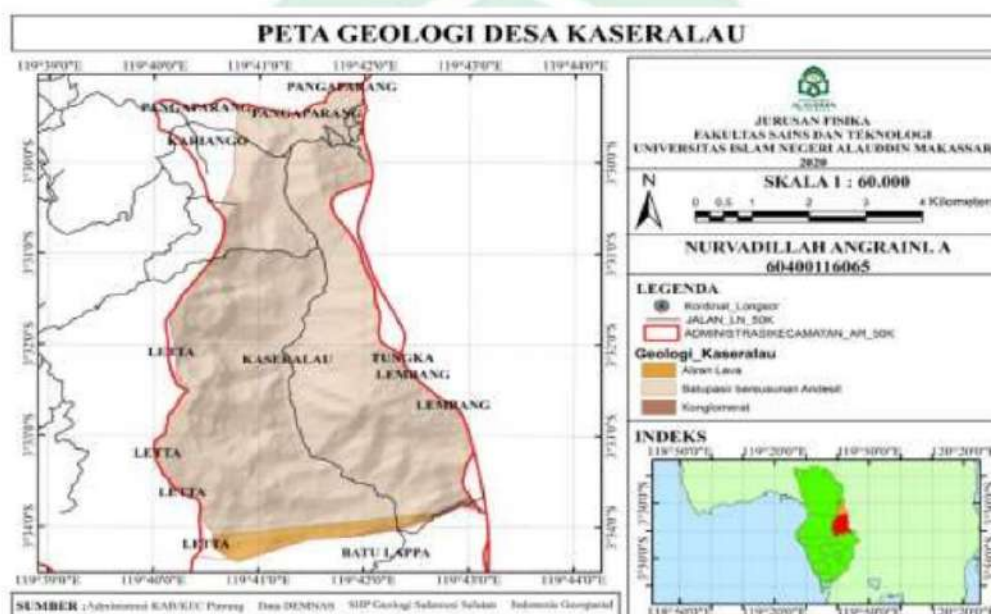
Data hasil penelitian ini didukung oleh data Pokja AMPL kabupaten Pinrang (2015: 12) pada tabel 2.4 bahwa jenis tanah pada kecamatan Batulappa tepatnya di daerah penelitian yaitu tanah podsolik. Kecamatan Batulappa juga berbatasan dengan kecamatan Duampanua yang persebaran tanahnya berupa tanah aluvial.

Berdasarkan hasil yang didapatkan dapat disimpulkan bahwa pada lokasi penelitian terdapat Jenis tanah podsolik dan alluvial yang berasal dari pelapukan batu pasir, lanau dan lempung yang merupakan jenis tanah yang mudah meloloskan air dan peka terhadap erosi. Apabila tanah tersebut berada diatas

batuan yang kedap air atau mudah meloloskan air pada kemiringan lereng tertentu maka air yang masuk akan tertahan yang akan berpotensi menggelir dan kemudian menjadi tanah longsor.

4.1.5 Geologi

Berikut merupakan hasil peta geologi yang telah dibuat menggunakan Aplikasi Sistem Informasi Geologis (SIG):



Gambar 4.5 Peta Geologi Kecamatan Camba

Berdasarkan hasil dari atribut tabel pada peta geologi terdapat 3 jenis batuan penyusun di desa Kaseralau yaitu batu pasir dengan luas penyebaran yaitu 97%, aliran lava dengan luas penyebaran 2%, dan konglomerat dengan luas penyebaran 1%. Perhitungan persentase luas sebaran diperoleh dari hasil luas wilayah geologi dibagi dengan jumlah keseluruhan luas wilayah geologi dan kemudian dikali 100%. Jenis batuan, klasifikasi, formasi dapat dilihat pada data atribut tabel peta geologi sebagai berikut:

Tabel 4.2 Data Atribut Tabel Peta Geologi

NO	KLASIFIKASI GEOLOGI	JENIS BATUAN	FORMASI	DESKRIPSI	LUAS (ha)	PERSEN TASE
1	Tmps	Batu Pasir Bersusun Andesit	Sekala	Sedimen; Sedang; Batu Pasir	3023,79	95,5%
2	Tmpv	Aliran Lava	Batuan Gunungapi Walimbong	Endapan Alluvium, Danau Dan Pantai	129,89	4,1%
3	Tpw	Konglomerat	Formasi Walanae	Batu Gamping	11,97	0,4%

Hal tersebut sesuai dengan teori dimana untuk batuan yang memiliki porositas tinggi maka air yang di kandung pada batuan tersebut juga banyak. Sedangkan untuk batuan yang memiliki permeabilitas tinggi maka batuan tersebut dapat meloloskan atau melewatkan air melalui pori-pori batuan. Dan untuk endapan alluvium, batu pasir dan batu gamping memiliki nilai porositas dan permeabilitas tinggi (Rahma Hi. Manrulu, 2018: 9-12).

Data hasil penelitian ini didukung oleh data Pokja AMPL kabupaten Pinrang (2015: 12) dan pada peta geologi lembar Majene dan Palopo Bagian Barat dengan skala 1:250.000 (Sukanto, 1975) bahwa jenis batuan pada daerah penelitian yaitu berada pada formasi Sekala memiliki jenis batuan berupa batu pasir dengan simbol klasifikasi batuan yaitu Tmps. Untuk formasi Gunungapi Walimbong memiliki jenis batuan berupa aliran lava dengan simbol klasifikasi batuan yaitu Tmpv. Dan untuk formasi Walanae memiliki jenis batuan berupa konglomerat dengan simbol klasifikasi batuan yaitu Tpw.

Berdasarkan data di atas dapat dilihat struktur geologi penyusun daerah tersebut adalah batu pasir, aliran lava berupa endapan alluvium, dan kenglomerat

berupa batu gamping. Dimana jenis batuan pada daerah tersebut berpotensi menyebabkan terjadinya gerakan tanah karena batuan tersebut mudah untuk meloloskan air dan memiliki porositas yang tinggi. Apabila tanah yang ada diatas batuan tersebut peka terhadap erosi dan mudah meloloskan air dan berada pada kemiringan tertentu maka air yang masuk akan tertahan dan mengakibatkan daerah tersebut berpotensi menggelincir dan menjadi tanah longsor.

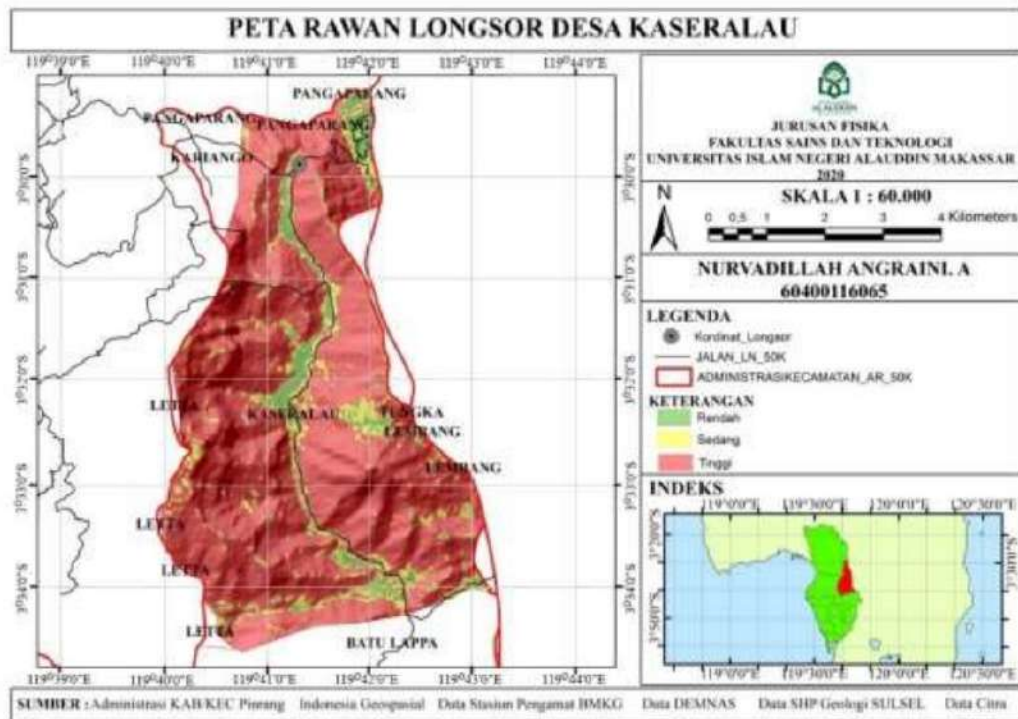
Berdasarkan hasil yang diperoleh dari lima parameter yaitu kemiringan lereng, geomorfologi, curah hujan, jenis tanah dan kondisi geologi, jadi dapat disimpulkan keterkaitan data tersebut dengan peta rawan longsor yaitu sebagai berikut:

Tabel 4.3 Data Hasil Penelitian dari Kelima Parameter Rawan Longsor

NO	PARAMETER	KEADAAN	KETERANGAN
1	Kemiringan Lereng	Curam hingga sangat curam	Berpotensi
2	Geomorfologi	Perbukitan	Berpotensi
3	Curah Hujan	127 mm	Sedang
4	Jenis Tanah	Podsolik dan Aluvia	Peka terhadap Erosi
5	Geologi	Batu pasir, batu gamping, dan endapan alluvium	Memiliki porositan dan permeabilitas tinggi

4.2 Pembahasan

Peta rawan longsor dibuat di *software arcgis* dengan menggunakan data SIG seperti data kemiringan lereng, peta geomorfologi, peta curah hujan, peta jenis tanah dan peta geologi. Kelima parameter tersebut ditumpang tindih sehingga diperoleh peta rawan longsor yaitu sebagai berikut:



Gambar 4.6 Peta Rawan Longsor Desa Kaseralau

Berdasarkan peta yang didapatkan dari hasil analisis dari nilai persentase luas kerentanan daerah rawan longsor di desa Kaseralau menggunakan *software arcgis* dengan menggunakan data SIG, sehingga menghasilkan 3 tingkat kerawanan longsor yaitu sebagai berikut:

Tabel 4.4 Tingkat Kerentanan Tanah Longsor Pada Desa Kaseralau

NO	KETERANGAN	LUAS (ha)	PERSENTASE
1	Rendah	200,13	6%
2	Sedang	316,71	10%
3	Tinggi	2647,67	84%

Berdasarkan data di atas dapat disimpulkan bahwa pada daerah penelitian berada pada kerentanan rendah hingga tinggi. Dimana untuk kerentanan rendah

dengan luas penyebarannya yaitu 200,13 ha dan nilai persentase sebesar 6 %, Untuk kerentanan sedang dengan luas penyebarannya yaitu 316,71 ha dan nilai persentase sebesar 10 %, dan untuk kerentanan tinggi dengan luas penyebarannya yaitu 2647,67 ha dan nilai persentase sebesar 84%. Peta rawan longsor ini didukung oleh data hasil survei lapangan yang dilakukan pada bulan November 2019 di desa Kaseralau, berikut merupakan foto penampakan tanah longsor yang telah terjadi:



Gambar 4.7 Hasil Penampakan Tanah Longsor



Gambar 4.8 Perbaikan Jalan Akibat Tanah Longsor

Berdasarkan gambar di atas yang diperoleh dari hasil survei lapangan pada daerah penelitian telah terjadi longsor di sepanjang jalan penghubung dari dusun Tepulu menuju dusun Paleleng. Luas longsor pada sepanjang jalan tersebut sekitar ± 1 kilometer, sehingga berdampak pada aktivitas warga karena tertutupnya akses ke salah satu dusun, terputusnya aliran listrik karena beberapa tiang listrik runtuh dan rusaknya kebun warga karena tertimbun tanah. Adapun upaya yang dilakukan pemerintah setempat pada kejadian tanah longsor yang telah terjadi adalah melakukan mitigasi atau penanggulangan bencana dengan memperbaiki akses jalan dan membangun tiang listrik yang baru.

Berdasarkan hasil peta yang didapatkan menggunakan sistem aplikasi geografis (SIG) yang dapat dilihat pada gambar 4.6 dan hasil dari survey lapangan, dapat disimpulkan bahwa daerah yang berpotensi atau rawan terjadinya longsor yaitu daerah yang terdapat di sepanjang jalan di desa Kaserelau karena terletak di samping lereng curam (gambar 4.1) dan kondisi geomorfologi perbukitan (gambar 4.2). Faktor lainnya yang menyebabkan daerah tersebut rawan adalah jumlah rata-rata hujan bulanan daerah tersebut yaitu sedang (gambar 4.3), serta jenis tanah berupa podsolik yang peka terhadap erosi (gambar 4.4) sehingga jumlah air yang masuk pada batuan sejenis batu pasir (gambar 4.5) memiliki porositas dan permeabilitas tinggi. Namun ada juga daerah yang tidak berpotensi terjadinya longsor pada hasil peta yang didapatkan menggunakan sistem informasi geografis (SIG) yang dapat dilihat pada gambar 4.6 karena berada pada daerah yang berlereng datar, daerah tersebut digunakan masyarakat sebagai tempat tinggal.

BAB V

PENUTUP

5.1 Kesimpulan

Berdasarkan hasil yang diperoleh menggunakan perangkat lunak SIG dengan melakukan tumpang tindih dari kelima parameter maka diperoleh tingkat kerawanan longsor pada daerah penelitian yaitu untuk kerawanan rendah dengan persentase penyebaran sebesar 6%, untuk kerawanan sedang dengan persentase penyebaran sebesar 10%, dan untuk kerawanan tinggi dengan persentase penyebaran sebesar 84%. Data tersebut dipengaruhi oleh kelima parameter yang memiliki kelerengan curam dengan kondisi geomorfologi perbukitan, jumlah rata-rata hujan bulanan sedang, serta jenis tanah berupa podsolik yang peka terhadap erosi sehingga jumlah air yang masuk pada batuan sejenis batu pasir yang memiliki porositas dan permeabilitas tinggi sehingga dapat memicu terjadinya tanah longsor. Data tersebut didukung oleh peta kondisi geologi, Pokja AMPL kabupaten Pinrang serta hasil survey lapangan berupa foto.

5.2 Saran

Saran pada penelitian ini yaitu sebagai berikut:

1. Penelitian ini memiliki kelemahan yaitu menggunakan data sekunder jadi dapat dilanjutkan dengan menggunakan alat geofisika untuk memperoleh data lapangan.
2. Peneliti selanjutnya bisa membuat peta rawan longsor untuk skala kecamatan atau kabupaten bahkan provinsi dengan menambahkan parameter lainnya seperti peta tata guna lahan.

DAFTAR PUSTAKA

- Agustin Arin Dwi, 2016. *Identifikasi Letak dan Kedalaman Cracks pada Bidang Longsor Menggunakan Metode Resistivitas 2D Konfigurasi Wenner-Schlumberger Studi Kasus Kecamatan Selorejo, Blitar*. Surabaya: Institute Teknologi Sepuluh November.
- Abdullah bin Muhammad Alu Syaikh, 2008. *Tafsir Ibnu Katsir jilid 10*. Diterjemahkan oleh Abdullah bin Muhammad Alu Syaikh. Bogor: Pustaka Imam Asy-Syafi'i.
- Ahmad Mustafa Al – Maraghi, 1993. *Terjemahan Tafsir Al – Maragi Juz 28,29, dan 30*. Semarang: CV. Toha Putra.
- BNPB, 2017. *Buku Pedoman Latihan Kesiapsiagaan Bencana*. Jakarta: Badan Nasional Penanggulangan Bencana.
- Badan Meteorologi, Klimatologi dan Geofisika (BMKG).
- Candra Herdian, 2016. *Sistem Informasi Intensitas Curah Hujan di Daerah Ciliwung Hulu*. Depok: Universitas Gunadarma.
- Darmawangsa.2015. *Identifikasi Struktur Bawah Permukaan Daerah Panas Bumi di Desa Watu Toa Kecamatan Marioriwawo dengan Metode Geolistrik*. Makassar: Universitas Islam Negeri Alauddin Makassar.
- DW Iskandar, 2008. *Teknik Pemrosesan Citra Digital ASTER untuk Kajian Geomorfologi Studi Kasus di Sebagian Daerah Istimewa Yogyakarta*. Bandung: PIT MAPIN XVII.
- Energi dan Sumber Daya Mineral, 2007. *Pengenalan Gerakan Tanah Official Website Kementerian Energi dan Sumber Daya Mineral*. http://esdm.go.id/index.php/publikasi/list_publikasi/46/4 (28 Oktober 2019).
- Eriyanto Bagus, 2019. *Fasad Al-Ardi Dalam Tafsir Al-Sya'rawi*. Jakarta: Universitas Islam Negeri Syarif Hidayatullah.
- Fadilah Nurul, 2019. *Analisis Tingkat Kerawanan Tanah Longsor Menggunakan Metode Frekuensi Rasio di Daerah Aliran Sungai Bialo*. Makassar: Universitas Hasanuddin.
- Hermawan Eddy, 2009. *Analisis Perilaku Curah Hujan di atas Kota Tabang Saat Bulan Basah dan Bulan Kering*. Bandung: Universitas negeri Yogyakarta.

- Kanedi Indra, dkk., 2015. *Pemanfaatan Google Maps Api Pada Sistem Informasi Geografis Direktori Perguruan Tinggi di Kota Bengkulu*. Bengkulu: Universitas Dehasen Bengkulu.
- Kecamatan Batulappa dalam Angka, 2019. Pinrang: Badan Pusat Statistika Kabupaten Pinrang.
- Kabupaten Pinrang dalam Angka, 2019. Pinrang: Badan Pusat Statistik Kabupaten Pinrang.
- Kementrian Agama, 2009. *Al-Qur'an dan Terjemahan*. Surakarta: Pustaka Al-Hanan.
- M. Quraish Shihab., 2002. *Tafsir Al-Misbah*. Jakarta: Lentera Hati.
- Pokja AMPL Kabupaten Pinrang, 2015. *Buku Sanitasi*. <http://ppsp.nawasis.info> diakses pada tanggal 28 Oktober 2019.
- Purnomo N. H, 2017. *Geografi Tanah*. Jakarta: Institute Pertanian Bogor.
- Prasetyo B.H, 2008. *Karakteristik Tanah Sawah dari Endapan Aluvial dan Pengelolaannya*. Bogor: Balai Penelitian Tanah.
- Raharjo Puguh Dwi, 2013. *Penggunaan Data Penginderaan Jauh dalam Analisis Bentuk Lahan Asal Proses Fluvial di Wilayah Karangasambung*. Semarang: Universitas Negeri Semarang.
- Ratu, Yurison Dimu, 2012. *Analisis Kerapatan Jaringan Stasiun Curah Hujan pada Wilayah Sungai (WS) AESESA di Pulau Flores*. Kupang: Universitas Nusa Cendana.
- Rahma Hi.Manrulu dkk, 2018. *Pendugaan Sebaran Air Tanah Menggunakan Metode Geolistrik Resistivitas Konfigurasi Wenner dan Schlumberger Di Kampus 2 Universitas Cokroaminoto Palopo*. Palopo: Universitas Cokroaminoto Palopo.
- Ramanda Heru A, 2017. *Aplikasi Geomorfologi dan Pengindraan Jauh Dalam Penentuan Lokasi Rawan Bencana Longsor di Daerah Dlingo dan Sekitarnya*. Yogyakarta: UPN Veteran Yogyakarta.
- Sarya Gede, 2014. *Intensitas Curah Hujan Memicu Tanah Longsor Dangkal di Desa Wonodadi Kulon*. Surabaya: Universitas Tujuh Belas Agustus.
- Setiadi Rafli, 2016. *Pemanfaatan Sistem Informasi Geografi untuk Mengetahui Lokasi Penjual Tiket Bus Di Kota Solo Berbasis Android*. Surakarta: Universitas Muhammadiyah Surakarta.

- Soegimo D dan Riswanto, 2009. *Geografi untuk SMA/MA*. Jakarta: Departemen Pendidikan Nasional.
- Sugianti Khori dkk, 2014. *Pengklasan Tingkat Kerentanan Gerakan Tanah Daerah Sumedang Selatan Menggunakan Metode Storie*. Bandung: Pusat Penelitian Geoteknologi LIPI.
- Sugiharyanto, 2009. *Diktat Mata Kuliah Geografi Tanah*. Yogyakarta: Universitas Negeri Yogyakarta.
- Sukanto Rab, 1991. *Geologi Regional Lembar Mamuju dan Palopo Bagian Barat, Sulawesi Selatan*. Jakarta: Kementrian Mineral dan Energi.
- Suriani Irma, 2017. *Identifikasi Daerah Rawan Longsor di Kecamatan Camba Kabupaten Maros dengan Menggunakan Software Arcgis*. Makassar: UIN Alauddin Makassar.
- Suwoto dkk, 2016. *Aplikasi Metode Geolistrik Tahanan Jenis untuk Identifikasi Bidang Gelincir di Daerah Nglajo, Kecamatan Cepu Kabupaten Blora, Jawa Tengah*. Semarang: ESDM.
- Todingan M, 2014. *Pemetaan Daerah Rawan Longsor di Wilayah Sub DAS Tondano dengan Sistem Infromasi Geografi*. Manado: Universitas Sam ratulangi.
- Triani Rini, 2017. *Kajian Jenis Tanah*. Purwokerto: Universitas Muhammadiyah Purwokerto.
- Widy Pasektino Wahyu, 2016. *Aplikasi SIG Untuk Identifikasi Daerah Rawan Longsor di Kecamatan Tembalang Kota Semarang*. Semarang: Universitas Negeri Semarang.
- Yuliana Eka, 2017. *Aplikasi Metode Geolistrik Tahanan Jenis untuk Identifikasi Zona Bidang Gelincir Tanah Longsor Studi Kasus Desa Nglajo Kec. Cepu Kab. Blora*. Surabaya: Institute Teknologi Sepuluh November.
- Yusmardani, 2015. *Analisis Penentuan Faktor Penyebab Gerakan Tanah di Kabupaten Aceh Tengah Provinsi Aceh*. Aceh: Universitas Syiah Kuala.

RIWAYAT HIDUP



Nama Nurvadillah Angraini. A lahir pada tanggal 29 September 1998 di kabupaten Pinrang provinsi Sulawesi Selatan. Anak kedua dari pasangan Amiruddin, S.Pd dan Patiha, S.Pd. Penulis menyelesaikan pendidikan di SDN 65 Katteong pada tahun 2010. Kemudian menyelesaikan pendidikan di SMP 3 Mattirosompe pada tahun 2013, selanjutnya menyelesaikan pendidikan di SMA 3 Pinrang pada tahun 2016, dan menjadi mahasiswa pada tahun 2016 di jurusan Fisika Fakultas Sains dan Teknologi Universitas Islam Negeri Alauddin Makassar.

Penulis aktif sebagai pengurus Himpunan Mahasiswa Jurusan (HMJ) Fisika pada tahun 2018-2019. Selain itu, penulis juga pernah menjadi anggota bidang Ristek pada Himpunan Mahasiswa Geofisika Indonesia (HMGI) wilayah V pada tahun 2018.

UNIVERSITAS ISLAM NEGERI
ALAUDDIN
M A K A S S A R



LAMPIRAN

UNIVERSITAS ISLAM NEGERI
ALAUDDIN
M A K A S S A R

The logo of Universitas Islam Negeri Alauddin Makassar is a large, light green emblem. It features a central yellow shield with Arabic calligraphy, surrounded by a stylized green archway and a square base with rounded corners.

LAMPIRAN 1
(DATA SEKUNDER
PENELITIAN)

UNIVERSITAS ISLAM NEGERI
ALAUDDIN
M A K A S S A R

1. Data Sekunder Curah Hujan

NO	BULAN	HARI HUJAN	CURAH HUJAN (mm³)	KETERANGAN
1	Januari	12	172	Sedang
2	Februari	10	184	Sedang
3	Maret	12	194	Sedang
4	April	13	301	Tinggi
5	Mei	6	74	Rendah
6	Juni	10	181	Sedang
7	Juli	2	11	Rendah
8	Agustus	1	3	Rendah
9	September	1	1	Rendah
10	Oktober	1	13	Rendah
11	November	10	141	Sedang
12	Desember	13	251	Sedang
Jumlah / Rata – Rata		91	127	Sedang

2. Data Sekunder Jenis Tanah

No	Kecamatan	Jenis Tanah
1	Suppa	Aluvial Kelabu; Grumosol Kelabu; Aluvial Hidromorf; Regosol Kelabu;
2	Mattiro Sompe	Aluvial Hidromorf; Aluvial Kelabu Kekuningan; Aluvial Kelabu Olif;
3	Lanrisang	Grumosol Kelabu;
4	Mattiro Bulu	Regosol Kelabu; Grumosol Kelabu; Brown Forest Soil;
5	Watang Sawitto	Aluvial Kelabu; Aluvial Hidromorf; Aluvial Kelabu Olif; Regosol Kelabu;
6	Paleteang	Regosol Coklat Kelabuan; Aluvial Kelabu Olif;

		Aluvial Kelabu Kekuningan; Regosol Kelabu Kekuningan;
7	Tiroang	Regosol Kelabu; Brown Forest Soil;
8	Patampanua	Aluvial Kelabu Kekuningan; Aluvial Hidromorf; Regosol Kelabu Kekuningan; podsolik Coklat; Aluvial Kelabu Olif; Brown Forest Soil; podsolik Coklat Kekuningan;
9	Cempa	Aluvial Kelabu Kekuningan; Aluvial Hidromorf; Aluvial Kelabu Olif;
10	Duampanua	podsolik Coklat Kekuningan; Aluvial Kelabu Kekuningan; podsolik Coklat; Aluvial Kelabu Olif; Aluvial Hidromorf;
11	Batulappa	podsolik Coklat; podsolik Coklat Kekuningan;
12	Lembang	Brown Forest Soil.

The logo of Universitas Islam Negeri Alauddin Makassar is a large, light green emblem. It features a central yellow shield with Arabic calligraphy, surrounded by a stylized green archway and a base that resembles an open book. The text "LAMPIRAN 2" and "(HASIL SURVEY LAPANGAN)" is centered over the logo.

LAMPIRAN 2
(HASIL SURVEY LAPANGAN)

UNIVERSITAS ISLAM NEGERI
ALAUDDIN
M A K A S S A R

1. Penampakan Hasil dari Kejadian Tanah Longsor'



2. Perbaikan Jalan Akibat Kejadian Tanah Longsor



M A K A S S A R

3. Penampakan Model Lereng Pada Lokasi Longsor



4. Penampakan Daerah Perbukitan di Sekitar Daerah Longsoran



5. Penampakan Daerah Pemukiman di Sekitar Daerah Longsoran

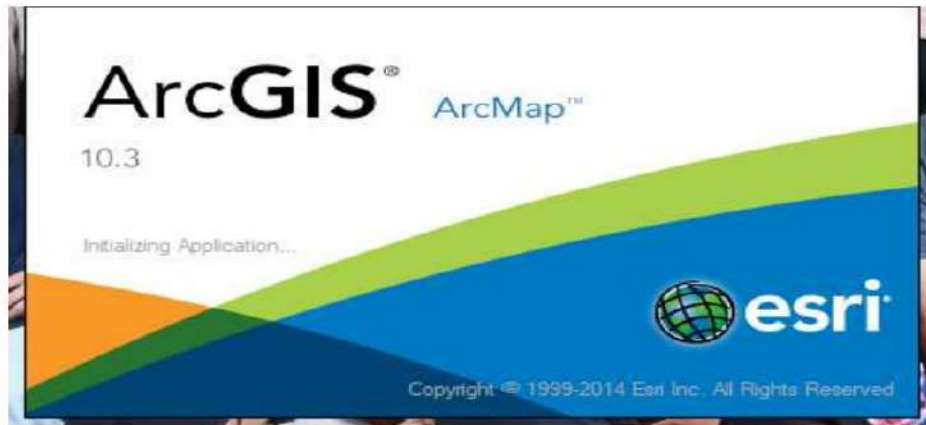




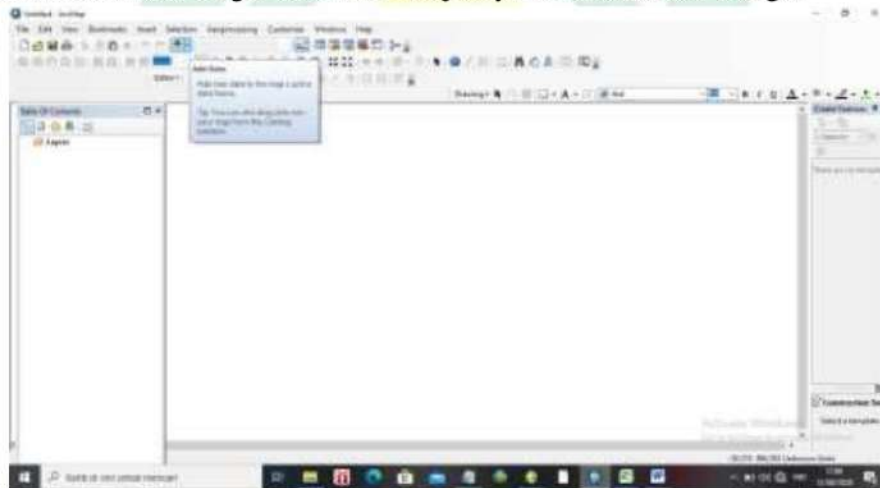
LAMPIRAN 3
(HASIL PENGOLAHAN DATA
PETA MENGGUNAKAN
ARCGIS)

UNIVERSITAS ISLAM NEGERI
ALAUDDIN
M A K A S S A R

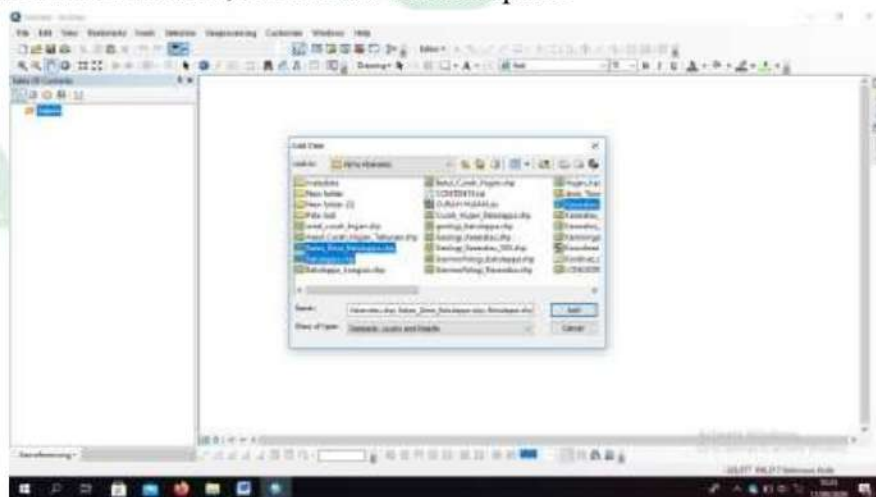
1. Membuka aplikasi Software Arcgis



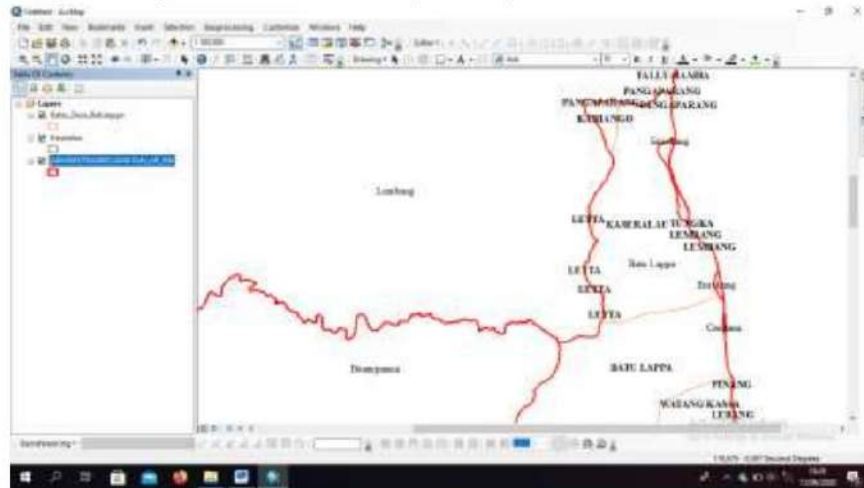
2. Setelah software arcgis terbuka selanjutnya membuka file Arcgis



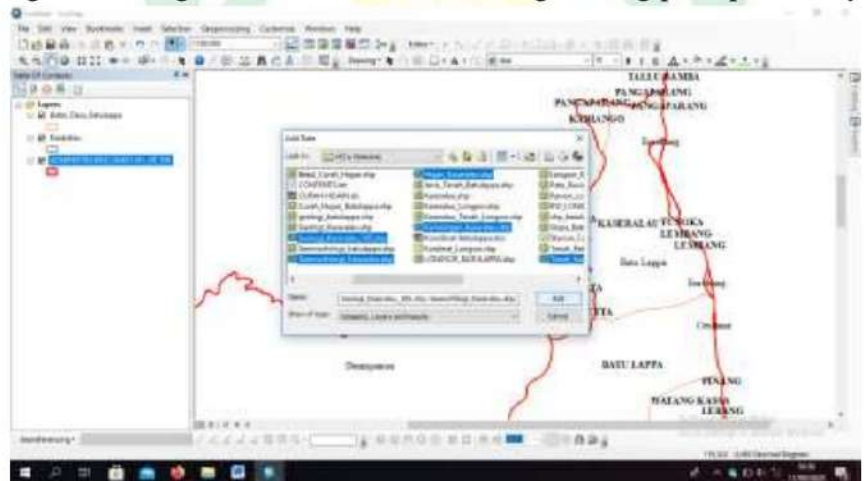
3. Add data batas desa, kecamatan dan kabupaten



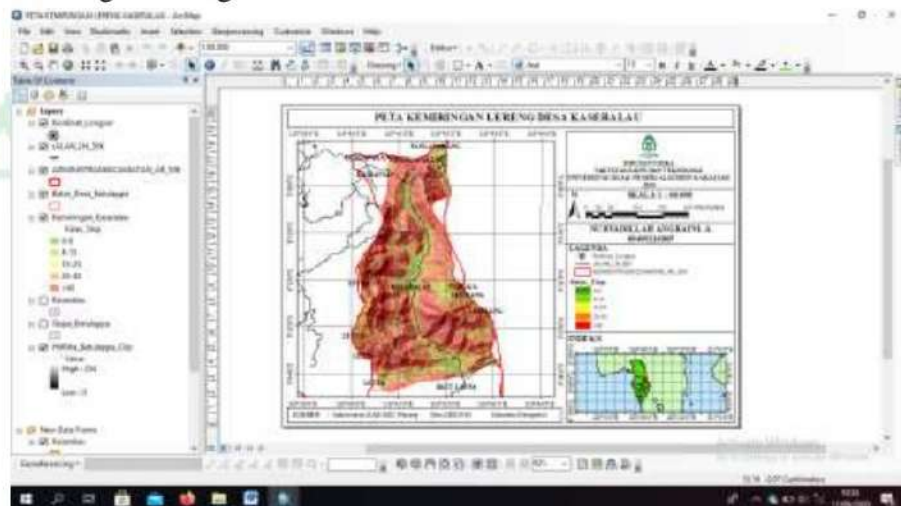
4. Masing-masing data akan muncul pada layer



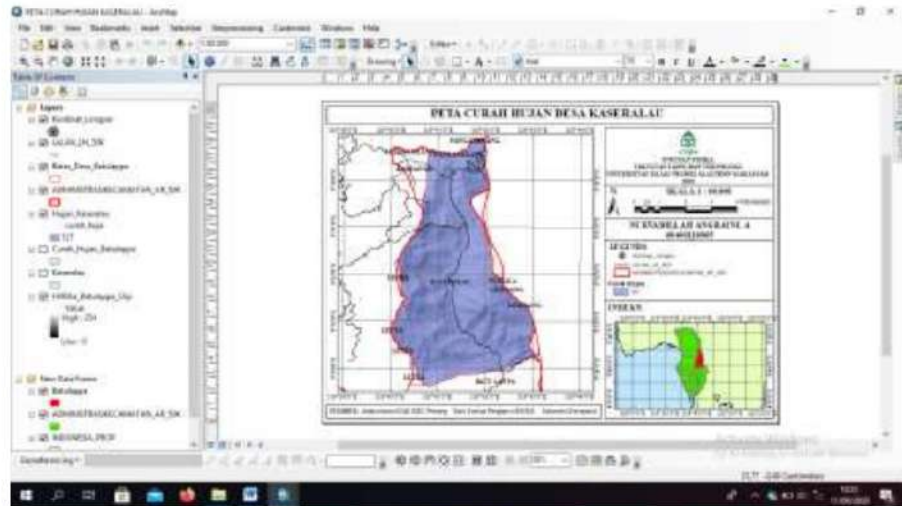
5. Add data kembali untuk curah hujan, kemiringan lereng, jenis tanah, geologi dan geomorfologi maka akan muncul masing-masing pada peta di layer



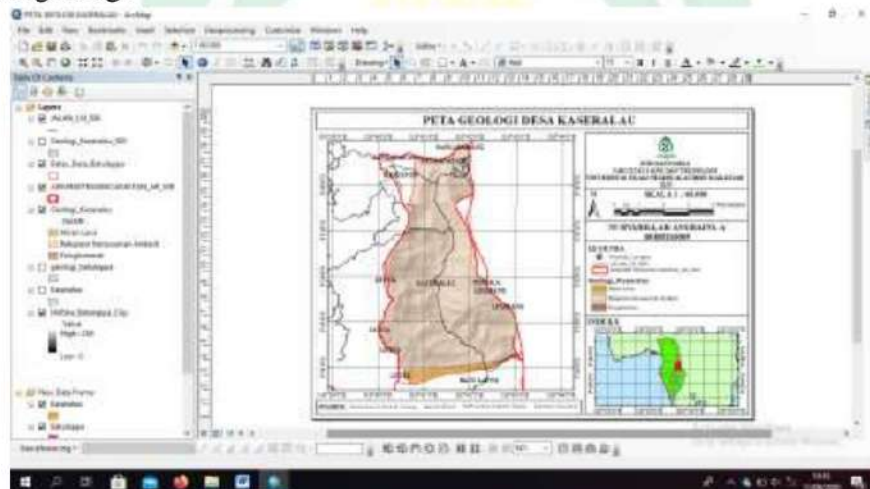
6. Kemiringan lereng



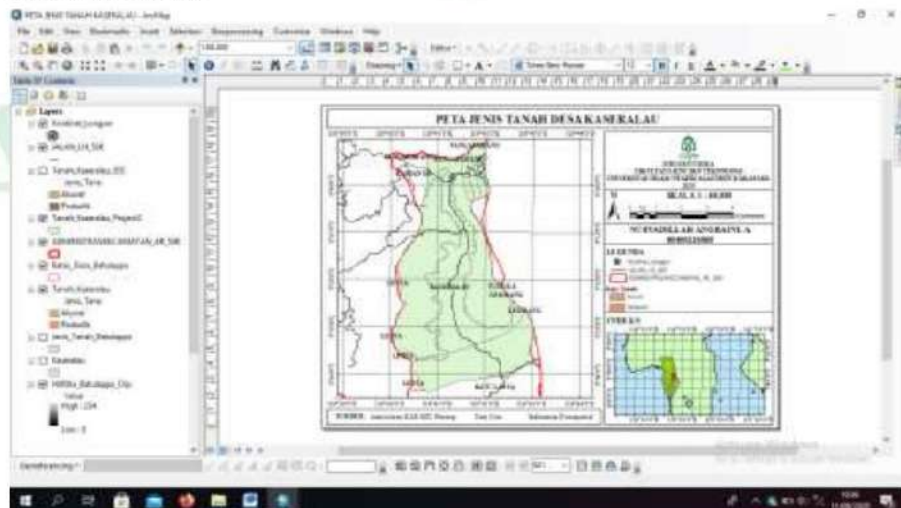
7. Peta curah hujan



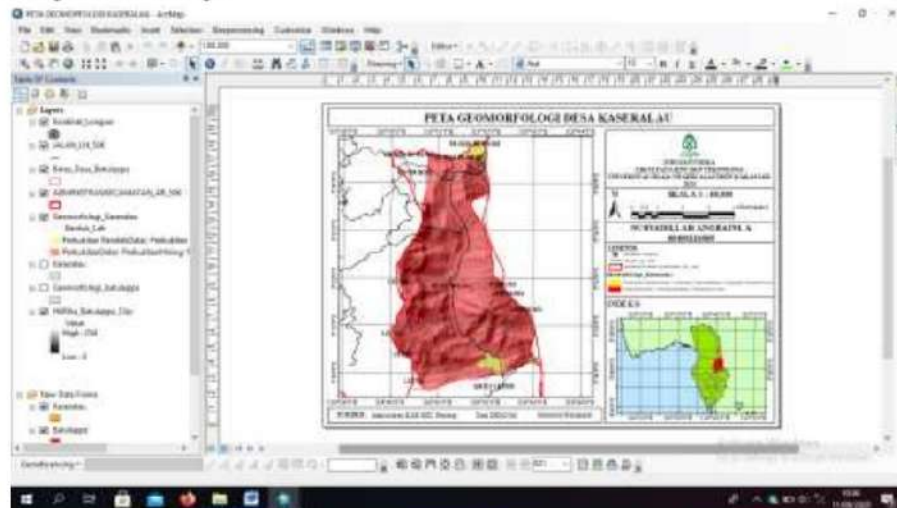
8. Peta geologi



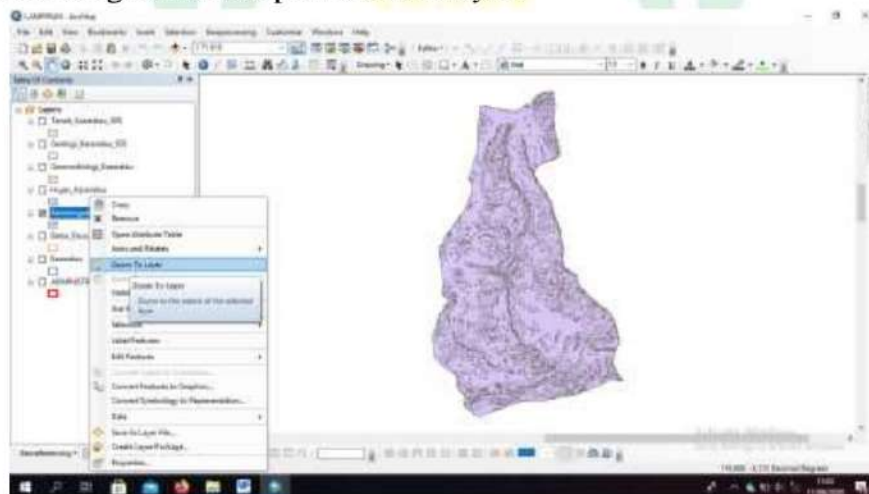
9. Peta Jenis Tanah



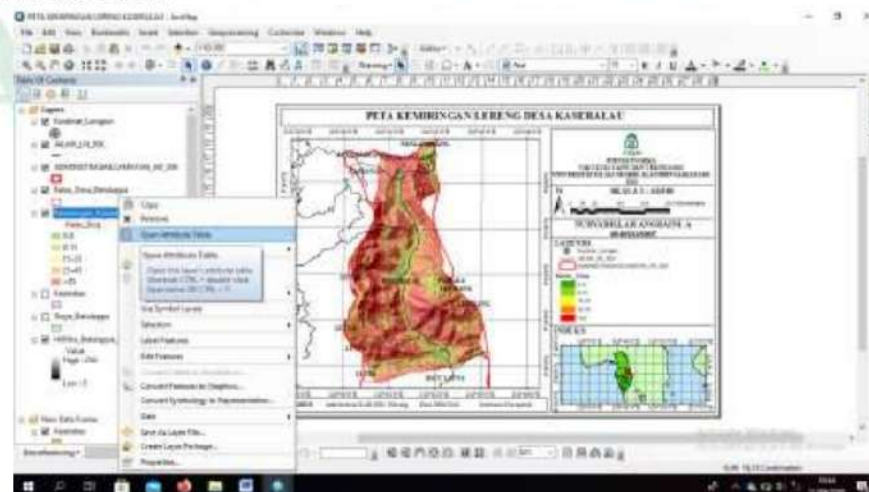
10. Peta geomorfologi



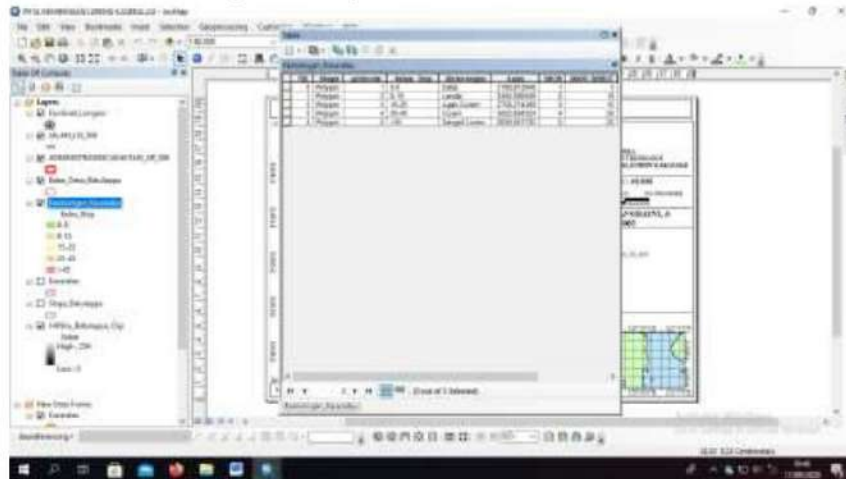
11. Klik kiri kemiringan lereng, jenis tanah, geologi, curah hujan dan geomorfologi kemudian pilih *zoom to layer*.



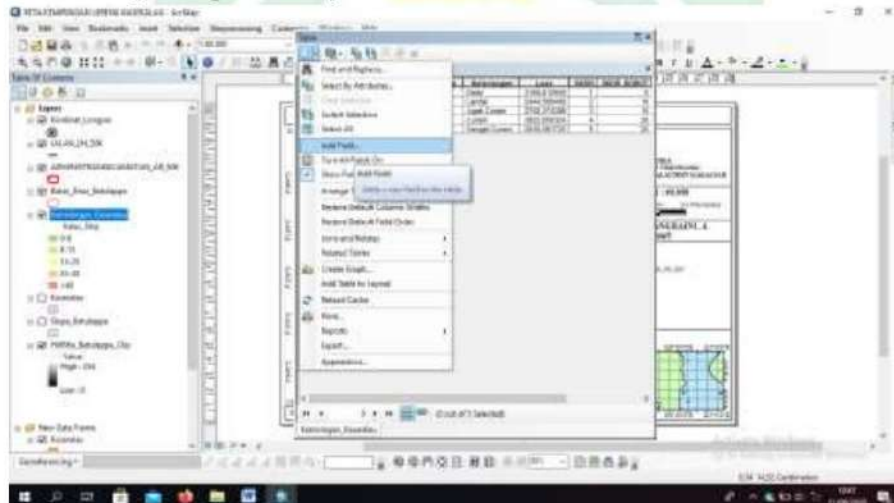
12. Klik kiri salah satu parameter seperti kemiringan lereng lalu pilih *open Attribute Table*



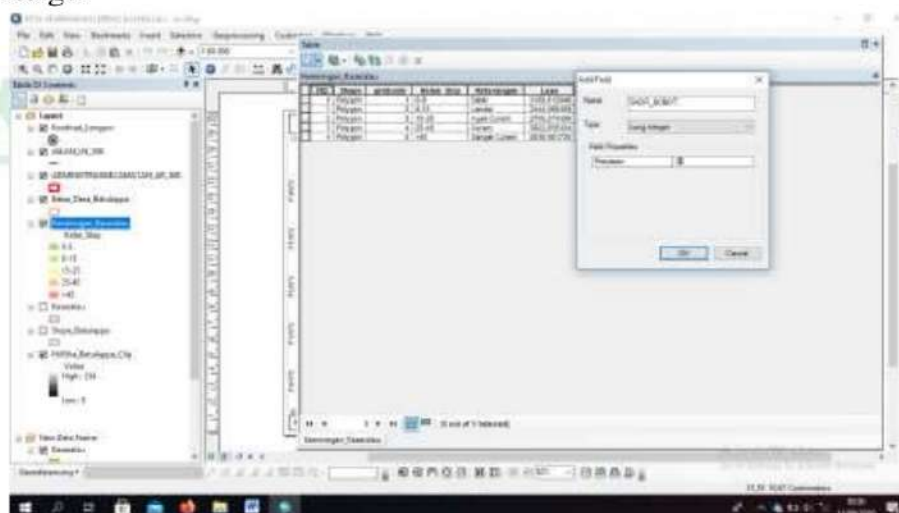
13. Muncul data kemiringan lereng



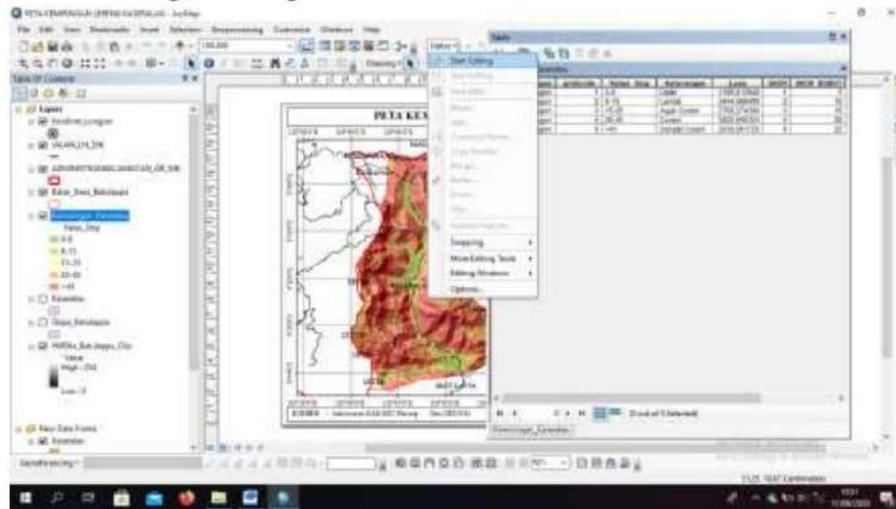
14. Klik *table option* pilih *add file*



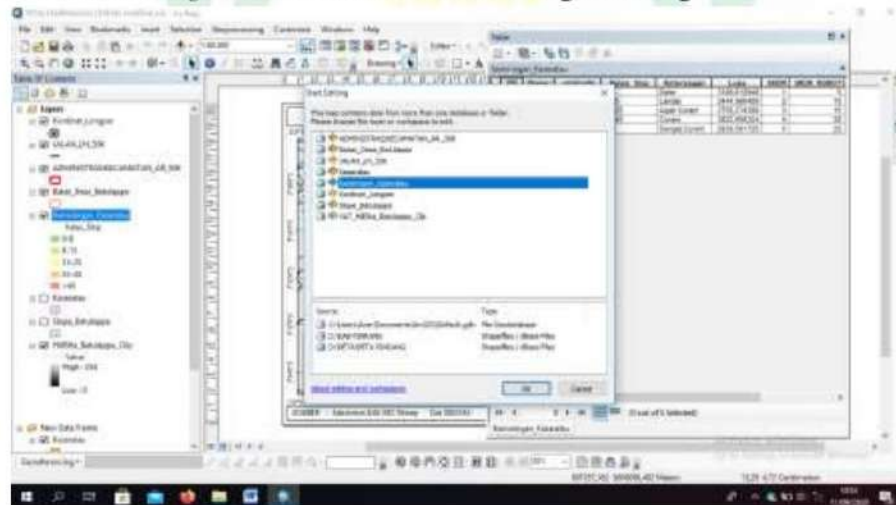
15. Memberikan nama untuk kemiringan lereng skor_bobot pada type pilih long integer



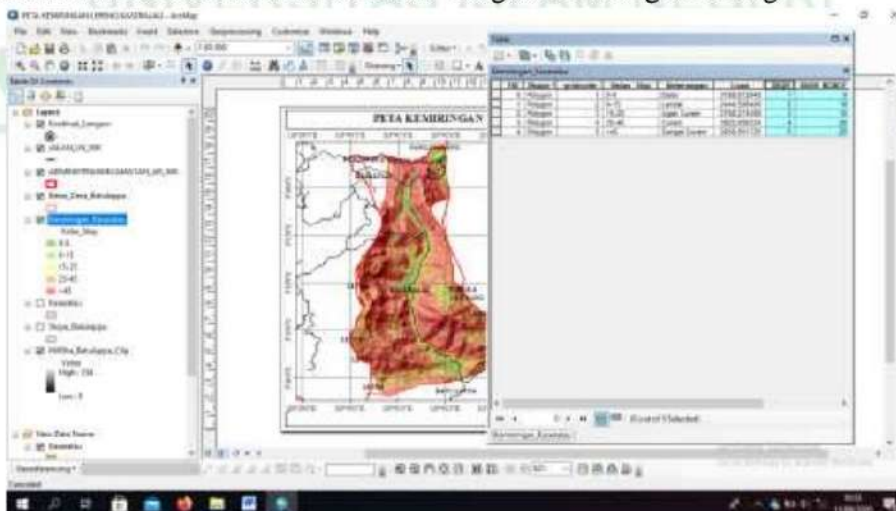
- Klik *editor* pilih *star editor* untuk penentuan skor_bobot lalu masukkan data untuk kemiringan lereng lalu ok.



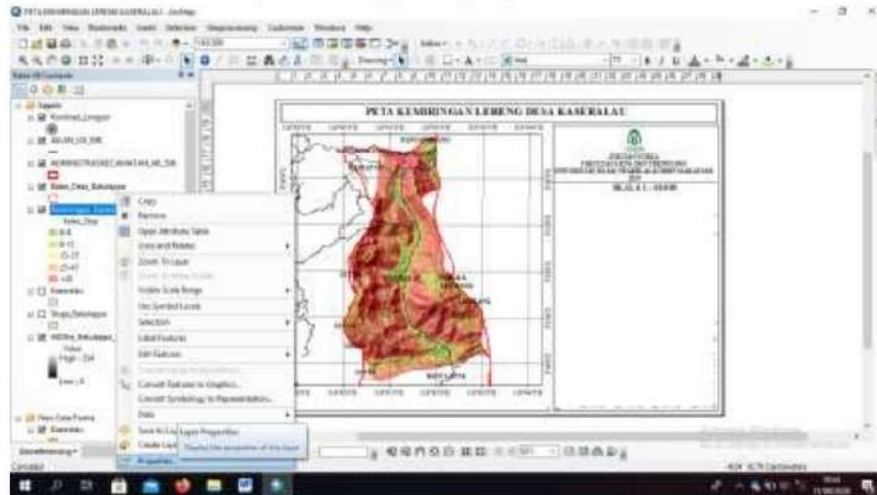
- Pada *star editing* klik dua kali untuk kemiringan lereng



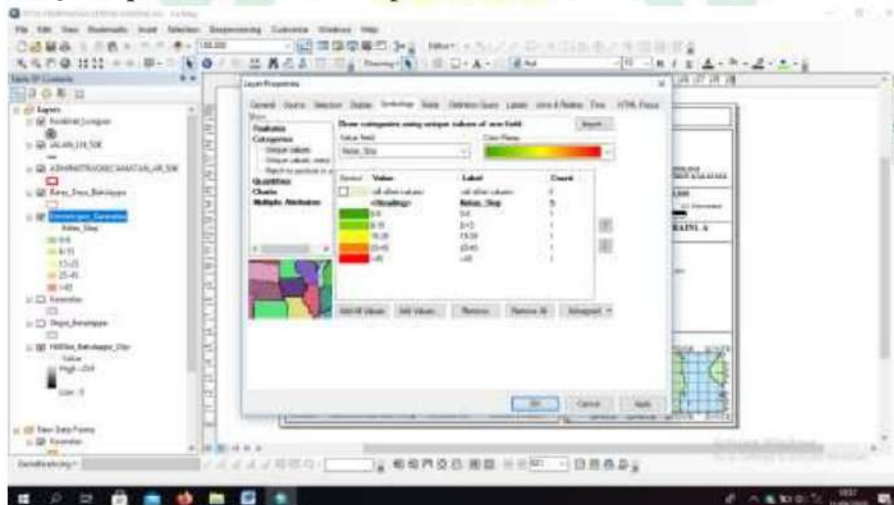
- Kemudian memberikan skor sesuai dengan kemiringan lereng



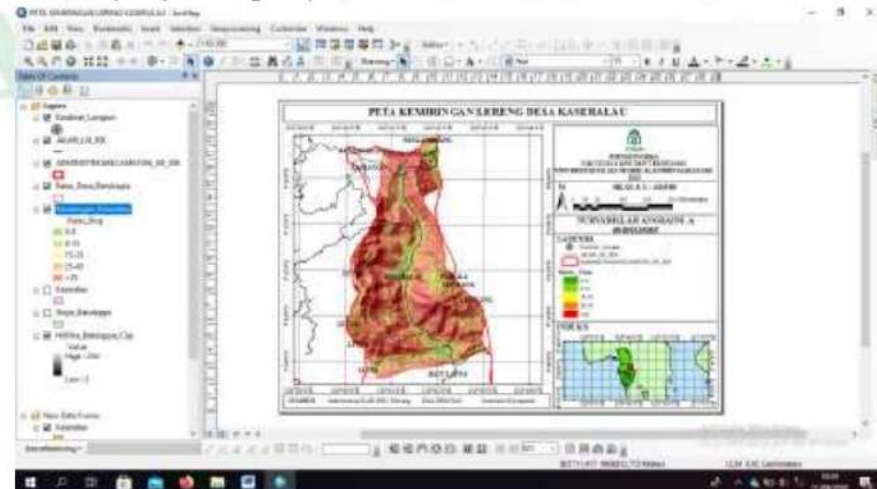
19. Klik kembali kemiringan lereng pilih properties



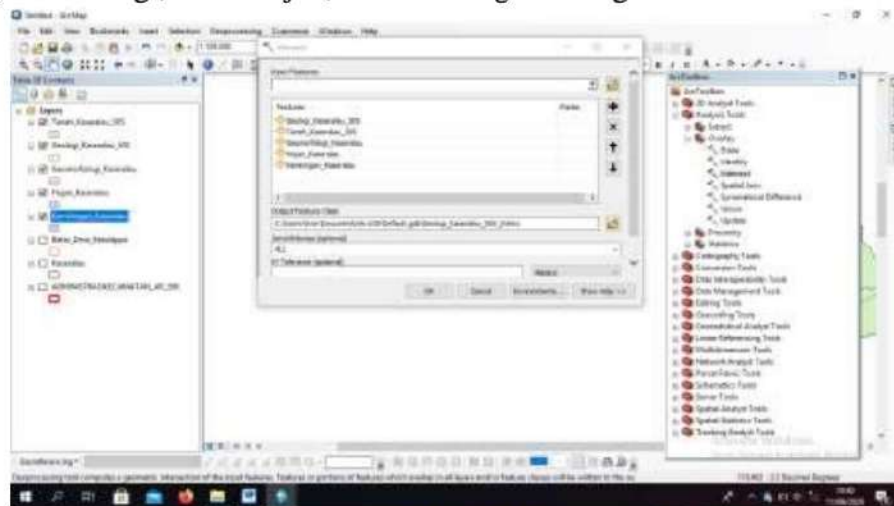
20. Pada *properties* pilih *symbology* kemudian pilih *categories* dan kemudian *value field* pilih nama kelas_slop. Setelah itu klik *add all value*.



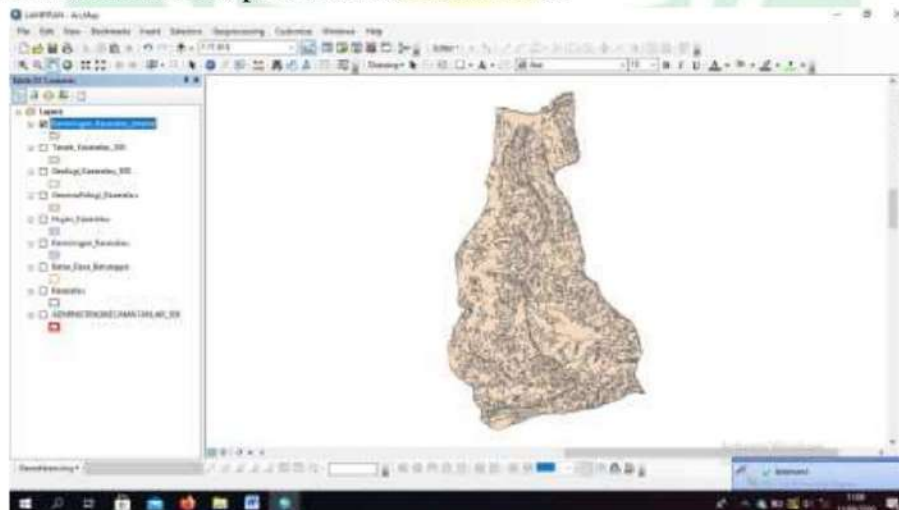
21. Maka muncul peta kemiringan lereng. Dan lakukan hal yang sama dengan parameter yang keempatnya.



22. Kemudian untuk peta rawan longsor pilih *Arc toolbox* pilih *Overlay* pilih *intersect*, dan menginput 5 parameter yaitu geologi, jenis tanah, geomorfologi, curah hujan, dan kemiringan lereng kemudian klik *ok*.

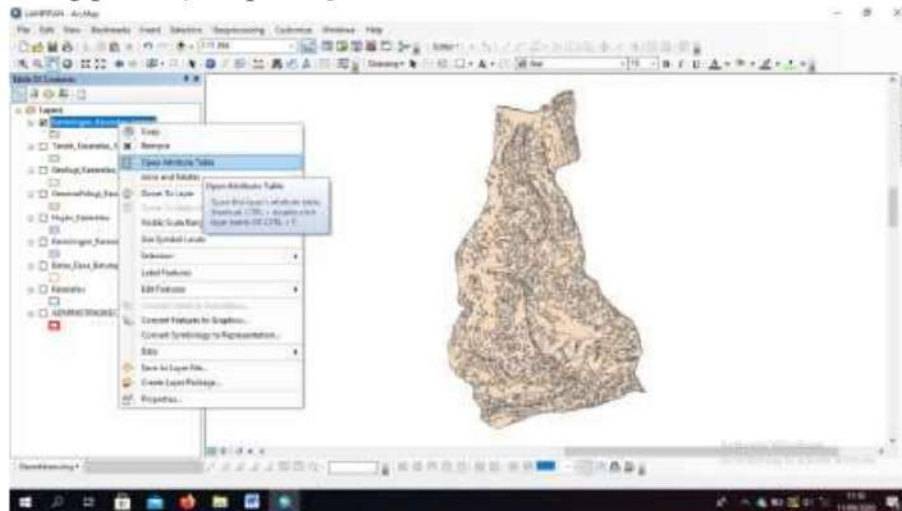


23. Maka akan muncul peta setelah *intersect* di klik

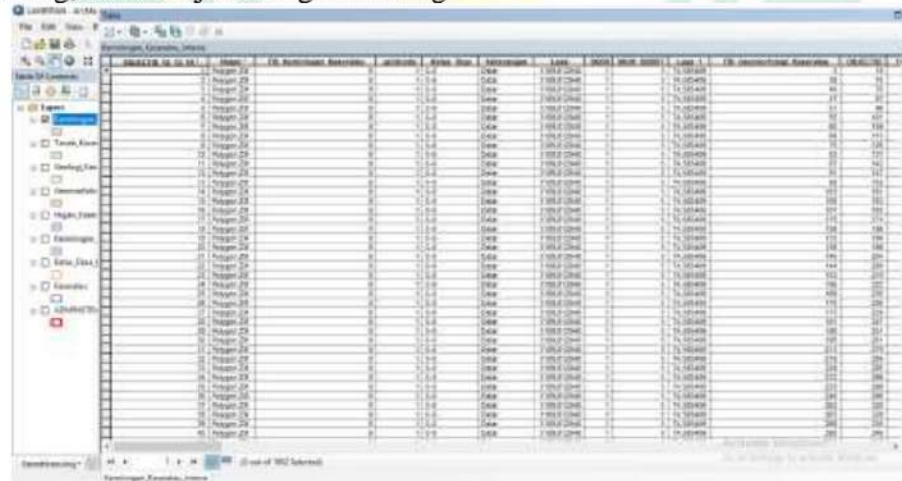


ALAUDDIN
MAKASSAR

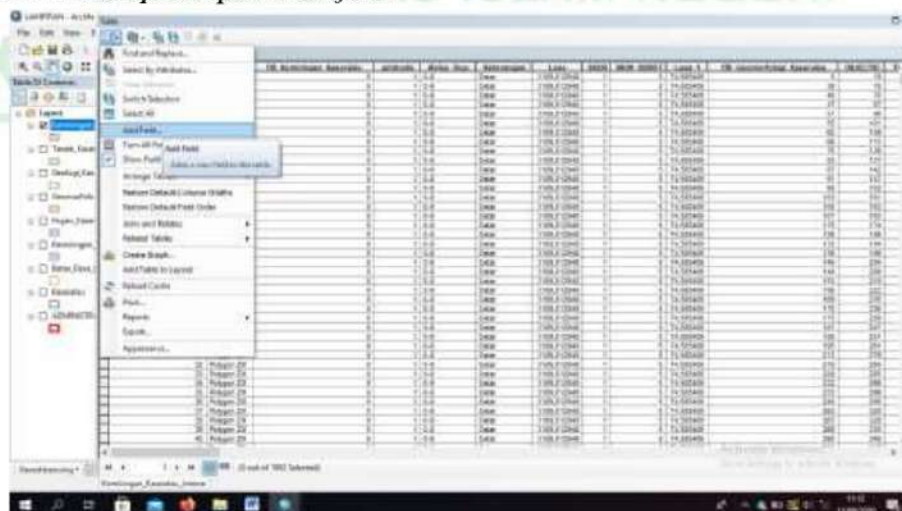
24. Nama peta (hasil scoring) setelah intersect di klik. Kemudian klik kiri hasil scoring pada *layers* pilih *open attribute table*



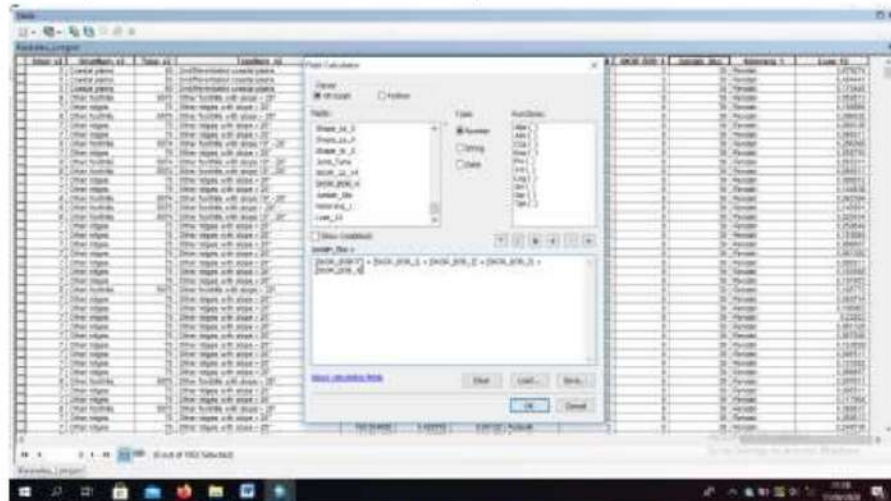
25. Maka akan muncul semua nilai skor_bobot jenis tanah, geologi kemiringan lereng, curah hujan dan geomorfologi



26. Klik *table* option pilih *add field*



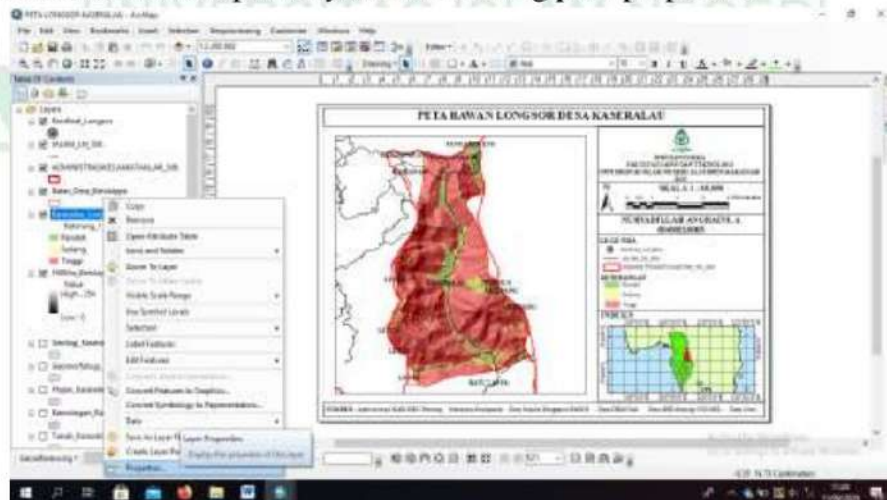
29. Setelah muncul *field calculator* kemudian masukkan semua nilai skor_bobot ke lima parameter. Jumlahkan semuanya lalu *ok*.



30. Kemudian nilainya akan muncul.



31. Kemudian klik kiri pada layers hasil scoring pilih properties.



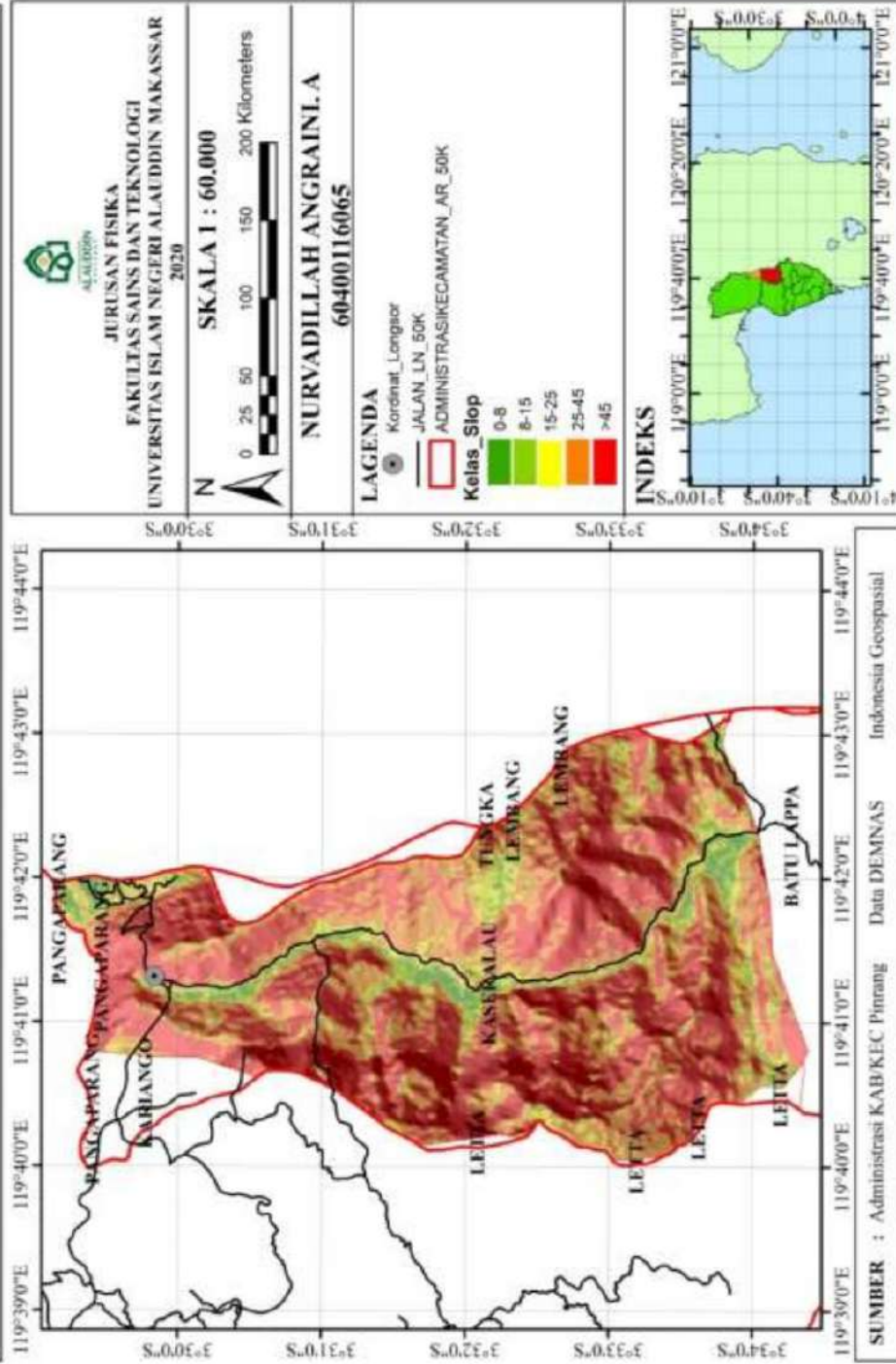


LAMPIRAN 4

(HASIL PENELITIAN)

UNIVERSITAS ISLAM NEGERI
ALAUDDIN
M A K A S S A R

PETA KEMIRINGAN LERENG DESA KASERALAU




JURUSAN FISIKA
FAKULTAS SAINS DAN TEKNOLOGI
UNIVERSITAS ISLAM NEGERI ALAUDDIN MAKASSAR
 2020

SKALA 1 : 60.000


NURVADILLAH ANGRAINI, A
60400116065

LAGENDA

-  Koordinat, Lembang
-  JALAN, LN_50K
-  ADMINISTRASIKECAMATAN_AR_50K

Kelas_Slop

-  0-8
-  8-15
-  15-25
-  25-45
-  >45

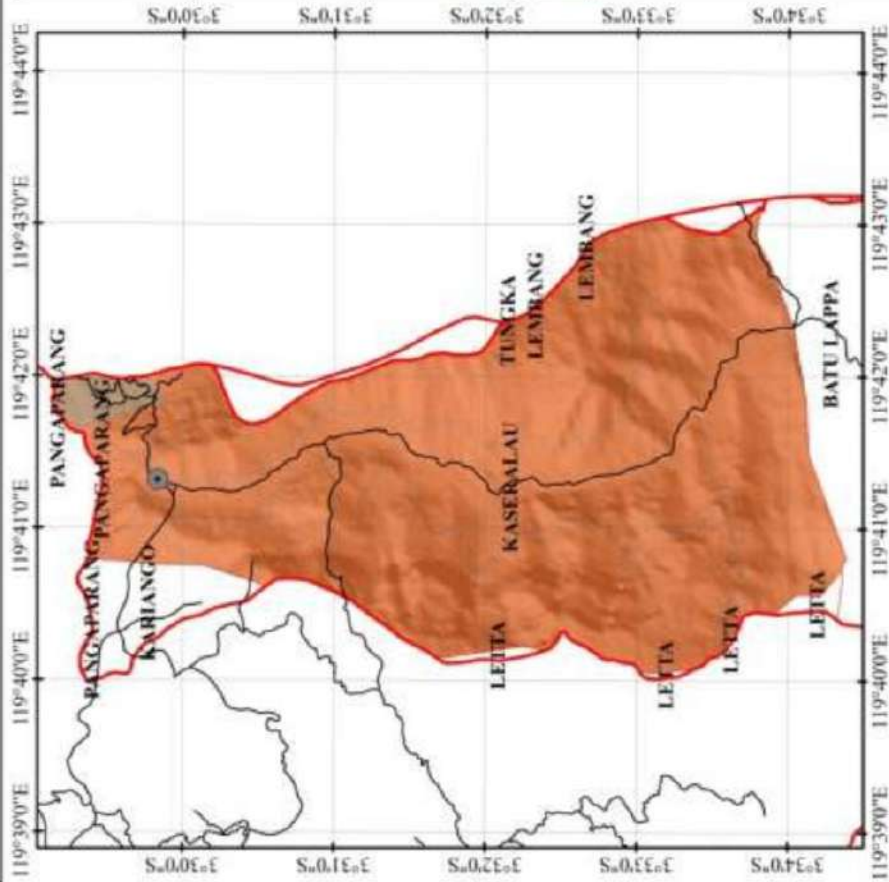
INDEKS



119°00'E 119°40'E 120°20'E 121°00'E
 119°00'S 119°40'S 120°20'S 121°00'S

SUMBER : Administrasi KAB/KEC Pirrang Data DEMNAS Indonesia Geospasial

PETA JENIS TANAH DESA KASERALAU




UNIVERSITAS ISLAM NEGERI ALAUDDIN MAKASSAR
2020

JURUSAN FISIKA
FAKULTAS SAINS DAN TEKNOLOGI

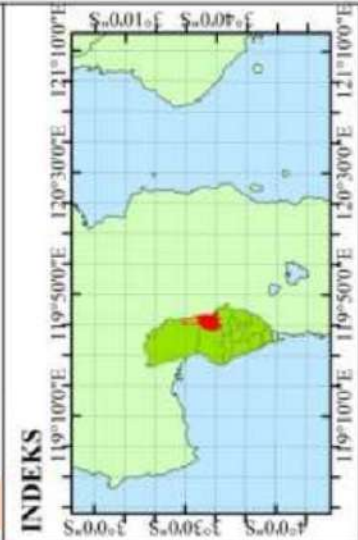
SKALA 1 : 60.000

0 0,5 1 2 3 4 Kilometers

NURVADILLAH ANGRAINI, A
60400116065

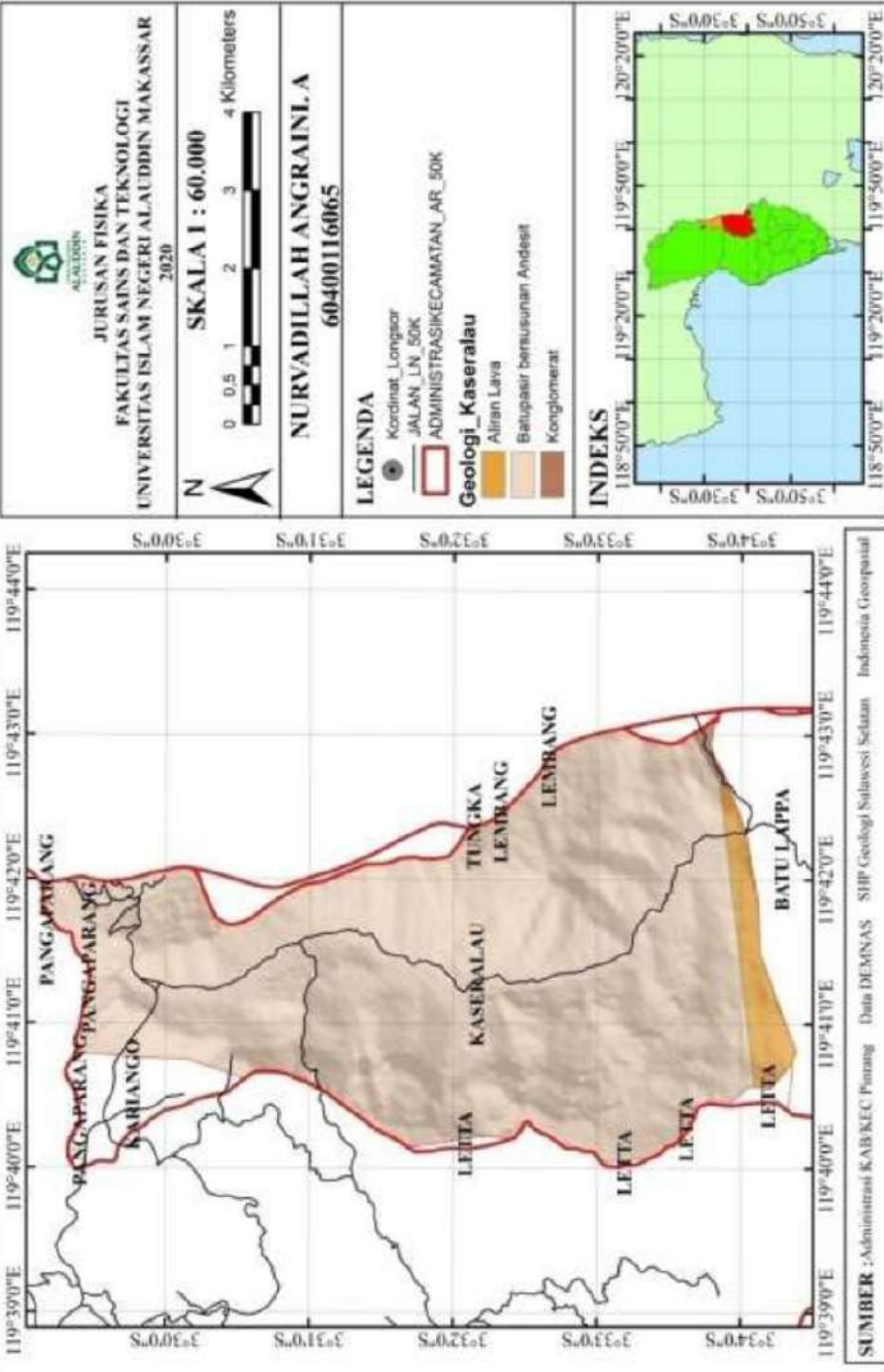
LEGENDA

- Kordinat_Longseor
- JALAN_LN_50K
- ADMINISTRASIKECAMATAN_AR_50K
- Jenis Tanah
 - Aluvial
 - Podsolik

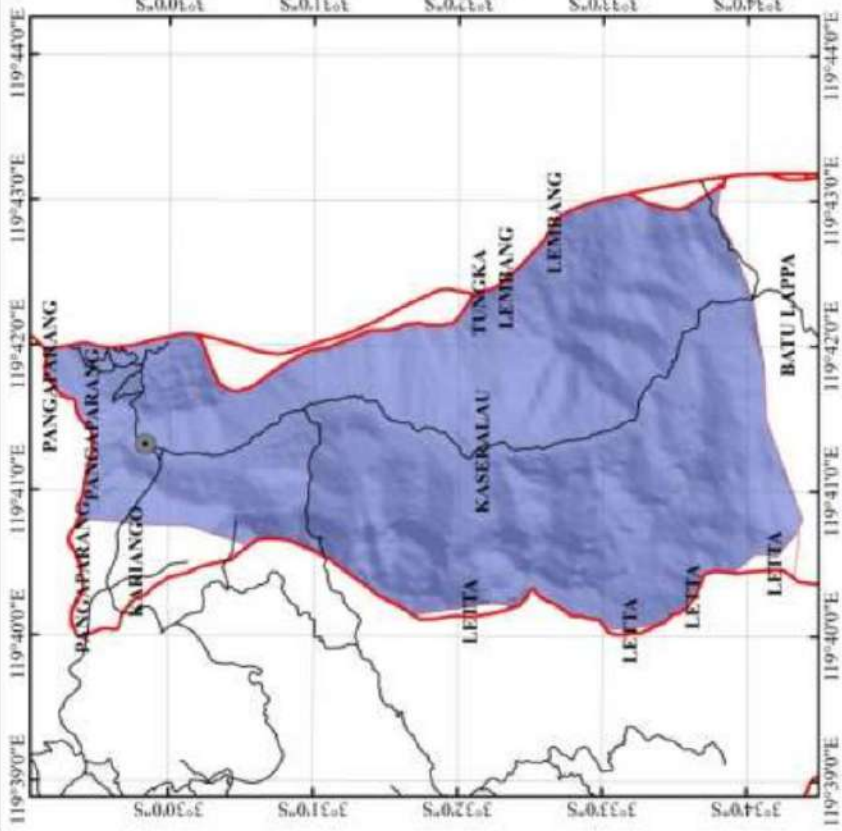


SUMBER : Administrasi KAB/KEC Pinnang Data Citra Indonesia Geospasial

PETA GEOLOGI DESA KASERALAU



PETA CURAH HUJAN DESA KASERALAU




JURUSAN FISIKA
FAKULTAS SAINS DAN TEKNOLOGI
UNIVERSITAS ISLAM NEGERI ALAUDDIN MAKASSAR
2020

SKALA 1 : 60.000


NURVADILLAH ANGRAINI, A
60400116065

LEGENDA

-  Koordinat, Longgar
-  JALAN LN_50K
-  ADMINISTRASIKECAMATAN_AR_50K
-  Curah Hujan
-  127

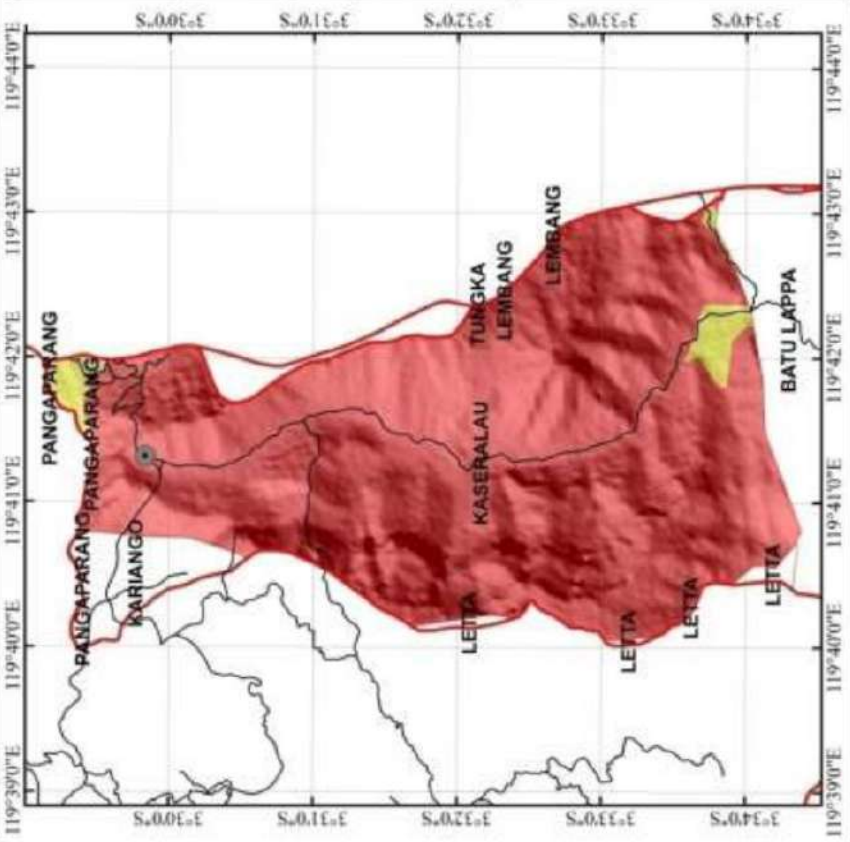
INDEKS



119°00'E, 119°20'E, 119°40'E, 120°00'E, 120°20'E
 3°20'S, 3°40'S, 3°00'S

SUMBER : Administrasi KAB/KEC Pinrang Data Stasiun Pengamat BMKG Indonesia Geospasial

PETA GEOMORFOLOGI DESA KASERALAU




 JURUSAN FISIKA
 FAKULTAS SAINS DAN TEKNOLOGI
 UNIVERSITAS ISLAM NEGERI ALAUDDIN MAKASSAR
 2020

SKALA 1 : 60.000

 0 0.5 1 2 3 4 Kilometers

NURVADILLAH ANGRAINI, A
 60400116065

- LEGENDA**
-  Koordinat, Longsor
 -  JALAN, LK, SOK
 -  ADMINISTRASIKECAMATAN, AR, SOK
- Geomorfologi, Kaseralau**
-  Perbukitan RendahDatar, Perbukitan RendahMiring, Perbukitan RendahCuram
 -  PerbukitanDatar, PerbukitanMiring, PerbukitanCuram



SUMBER : Administrasi KABKEC Pinrang Data DEMNAS Indonesia Geospasial

The logo of Universitas Islam Negeri Alauddin Makassar is a large, light green emblem. It features a central yellow star with Arabic calligraphy inside, surrounded by a series of concentric, stylized arches and geometric shapes that form a shield-like structure.

LAMPIRAN 5
(TABEL ATRIBUT PETA)

UNIVERSITAS ISLAM NEGERI
ALAUDDIN
M A K A S S A R

5. Data geomorfologi

No	Shope	ORAGTID	FD Seak	M	altitude	Slope	FD Seak 1	M 1	altitude 1	Dimensi	Shope Area	Shack Area	Bentuk Lati	SH2	MO2	MOO2	Luas
1	Persegi	5	5	5	5	Datar	5	5	5	Persegi Panjang	87.82862	112.27218	Persegi Panjang	1	1	1	8.13257
2	Persegi	6	6	6	6	Datar	6	6	6	Persegi Panjang	122.81937	165.18222	Persegi Panjang	1	1	1	8.88911
3	Persegi	7	7	7	7	Datar	7	7	7	Persegi Panjang	144.86192	203.22714	Persegi Panjang	1	1	1	10.19324
4	Persegi	14	14	14	14	Datar	14	14	14	Persegi Panjang	1952.25364	2524.35118	Persegi Panjang	1	1	1	8.35243
5	Persegi	23	23	23	23	Datar	23	23	23	Persegi Panjang	524.86439	685.57919	Persegi Panjang	1	1	1	10.88658
6	Persegi	26	26	26	26	Datar	26	26	26	Persegi Panjang	682.64787	882.42018	Persegi Panjang	1	1	1	8.26242
7	Persegi	28	28	28	28	Datar	28	28	28	Persegi Panjang	774.88822	1004.10889	Persegi Panjang	1	1	1	8.12841
8	Persegi	27	27	27	27	Datar	27	27	27	Persegi Panjang	778.34273	1009.24627	Persegi Panjang	1	1	1	8.12882
9	Persegi	28	28	28	28	Datar	28	28	28	Persegi Panjang	743.87254	958.54548	Persegi Panjang	1	1	1	8.25975
10	Persegi	30	30	30	30	Datar	30	30	30	Persegi Panjang	108.42881	141.21844	Persegi Panjang	1	1	1	8.11942
11	Persegi	31	31	31	31	Datar	31	31	31	Persegi Panjang	418.48482	547.23832	Persegi Panjang	1	1	1	8.25922
12	Persegi	31	31	31	31	Datar	31	31	31	Persegi Panjang	48.91401	62.13874	Persegi Panjang	1	1	1	8.16221
13	Persegi	35	35	35	35	Datar	35	35	35	Persegi Panjang	305.24352	374.1844	Persegi Panjang	1	1	1	8.17741
14	Persegi	37	37	37	37	Datar	37	37	37	Persegi Panjang	121.81832	155.18222	Persegi Panjang	1	1	1	8.18911
15	Persegi	42	42	42	42	Datar	42	42	42	Persegi Panjang	242.80348	308.54888	Persegi Panjang	1	1	1	8.17734
16	Persegi	46	46	46	46	Datar	46	46	46	Persegi Panjang	198.42881	254.21844	Persegi Panjang	1	1	1	8.11942
22	Persegi	48	48	48	48	Datar	48	48	48	Persegi Panjang	88.10212	112.27218	Persegi Panjang	1	1	1	8.12452
27	Persegi	62	62	62	62	Datar	62	62	62	Persegi Panjang	178.80888	228.18222	Persegi Panjang	1	1	1	8.18911
38	Persegi	75	75	75	75	Datar	75	75	75	Persegi Panjang	1885.62282	2407.18222	Persegi Panjang	1	1	1	8.11487
114	Persegi	172	172	172	172	Datar	172	172	172	Persegi Panjang	4118.48272	5288.58888	Persegi Panjang	1	1	1	14.62779
879	Persegi	782	782	782	782	Datar	782	782	782	Persegi Panjang	171.26854	218.24888	Persegi Panjang	1	1	1	8.11942
881	Persegi	786	786	786	786	Datar	786	786	786	Persegi Panjang	381.8881	488.28882	Persegi Panjang	1	1	1	8.12882
717	Persegi	882	882	882	882	Datar	882	882	882	Persegi Panjang	218.47844	278.21888	Persegi Panjang	1	1	1	8.22878
726	Persegi	812	812	812	812	Datar	812	812	812	Persegi Panjang	118.80881	148.21882	Persegi Panjang	1	1	1	8.18911
736	Persegi	824	824	824	824	Datar	824	824	824	Persegi Panjang	234.47844	294.21888	Persegi Panjang	1	1	1	8.11942
744	Persegi	832	832	832	832	Datar	832	832	832	Persegi Panjang	322.87888	408.21888	Persegi Panjang	1	1	1	8.28878
786	Persegi	888	888	888	888	Datar	888	888	888	Persegi Panjang	18.88847	23.87882	Persegi Panjang	1	1	1	8.12882
787	Persegi	882	882	882	882	Datar	882	882	882	Persegi Panjang	78.8884	98.88888	Persegi Panjang	1	1	1	8.12882
771	Persegi	888	888	888	888	Datar	888	888	888	Persegi Panjang	87.8884	112.27218	Persegi Panjang	1	1	1	8.11487
778	Persegi	876	876	876	876	Datar	876	876	876	Persegi Panjang	172.88882	218.21888	Persegi Panjang	1	1	1	8.12882
816	Persegi	1417	1362	136	136	Datar	1417	1362	136	Persegi Panjang	36.81817	45.81882	Persegi Panjang	1	1	1	8.18911
818	Persegi	1440	1382	140	140	Datar	1440	1382	140	Persegi Panjang	2881.81817	3688.81817	Persegi Panjang	1	1	1	14.28878
820	Persegi	1474	1487	148	148	Datar	1474	1487	148	Persegi Panjang	3888.81817	4882.81817	Persegi Panjang	1	1	1	18.28878
822	Persegi	1522	1525	152	152	Datar	1522	1525	152	Persegi Panjang	2728.81817	3428.81817	Persegi Panjang	1	1	1	14.28878

No	Shope	ORAGTID	FD Seak	M	altitude	Slope	FD Seak 1	M 1	altitude 1	Dimensi	Shope Area	Shack Area	Bentuk Lati	SH2	MO2	MOO2	Luas
1	Persegi	24	24	24	24	Datar	24	24	24	Persegi Panjang	23.84711	30.2882	Persegi Panjang	1	1	1	2.88888
5	Persegi	24	24	24	24	Datar	24	24	24	Persegi Panjang	88.88888	112.27218	Persegi Panjang	1	1	1	8.11487
11	Persegi	24	24	24	24	Datar	24	24	24	Persegi Panjang	482.14874	618.21888	Persegi Panjang	1	1	1	8.18911
17	Persegi	24	24	24	24	Datar	24	24	24	Persegi Panjang	87.81847	112.27218	Persegi Panjang	1	1	1	8.11487
23	Persegi	24	24	24	24	Datar	24	24	24	Persegi Panjang	118.88888	148.21888	Persegi Panjang	1	1	1	8.18911
29	Persegi	24	24	24	24	Datar	24	24	24	Persegi Panjang	118.88888	148.21888	Persegi Panjang	1	1	1	8.18911
35	Persegi	24	24	24	24	Datar	24	24	24	Persegi Panjang	118.88888	148.21888	Persegi Panjang	1	1	1	8.18911
41	Persegi	24	24	24	24	Datar	24	24	24	Persegi Panjang	118.88888	148.21888	Persegi Panjang	1	1	1	8.18911
47	Persegi	24	24	24	24	Datar	24	24	24	Persegi Panjang	118.88888	148.21888	Persegi Panjang	1	1	1	8.18911
53	Persegi	24	24	24	24	Datar	24	24	24	Persegi Panjang	118.88888	148.21888	Persegi Panjang	1	1	1	8.18911
59	Persegi	24	24	24	24	Datar	24	24	24	Persegi Panjang	118.88888	148.21888	Persegi Panjang	1	1	1	8.18911
65	Persegi	24	24	24	24	Datar	24	24	24	Persegi Panjang	118.88888	148.21888	Persegi Panjang	1	1	1	8.18911
71	Persegi	24	24	24	24	Datar	24	24	24	Persegi Panjang	118.88888	148.21888	Persegi Panjang	1	1	1	8.18911
77	Persegi	24	24	24	24	Datar	24	24	24	Persegi Panjang	118.88888	148.21888	Persegi Panjang	1	1	1	8.18911
83	Persegi	24	24	24	24	Datar	24	24	24	Persegi Panjang	118.88888	148.21888	Persegi Panjang	1	1	1	8.18911
89	Persegi	24	24	24	24	Datar	24	24	24	Persegi Panjang	118.88888	148.21888	Persegi Panjang	1	1	1	8.18911
95	Persegi	24	24	24	24	Datar	24	24	24	Persegi Panjang	118.88888	148.21888	Persegi Panjang	1	1	1	8.18911
101	Persegi	24	24	24	24	Datar	24	24	24	Persegi Panjang	118.88888	148.21888	Persegi Panjang	1	1	1	8.18911
107	Persegi	24	24	24	24	Datar	24	24	24	Persegi Panjang	118.88888	148.21888	Persegi Panjang	1	1	1	8.18911
113	Persegi	24	24	24	24	Datar	24	24	24	Persegi Panjang	118.88888	148.21888	Persegi Panjang	1	1	1	8.18911
119	Persegi	24	24	24	24	Datar	24	24	24	Persegi Panjang	118.88888	148.21888	Persegi Panjang	1	1	1	8.18911
125	Persegi	24	24	24	24	Datar	24	24	24	Persegi Panjang	118.88888	148.21888	Persegi Panjang	1	1	1	8.18911
131	Persegi	24	24	24	24	Datar	24	24	24	Persegi Panjang	118.88888	148.21888	Persegi Panjang	1	1	1	8.18911
137	Persegi	24	24	24	24	Datar	24	24	24	Persegi Panjang	118.88888	148.21888	Persegi Panjang	1	1	1	8.18911
143	Persegi	24	24	24	24	Datar	24	24	24	Persegi Panjang	118.88888	148.21888	Persegi Panjang	1	1	1	8.18911
149	Persegi	24	24	24	24	Datar	24	24	24	Persegi Panjang	118.88888	148.21888	Persegi Panjang	1	1	1	8.18911
155	Persegi	24	24	24	24	Datar	24	24	24	Persegi Panjang	118.88888	148.21888	Persegi Panjang	1	1	1	8.18911
161	Persegi	24	24	24	24	Datar	24	24	24	Persegi Panjang	118.88888	148.21888	Persegi Panjang	1	1	1	8.18911
167	Persegi	24	24	24	24	Datar	24	24	24	Persegi Panjang	118.88888	148.21888	Persegi Panjang	1	1	1	8.18911
173	Persegi	24	24	24	24	Datar	24	24	24	Persegi Panjang	118.88888	148.21888	Persegi Panjang	1	1	1	8.18911
179	Persegi	24	24	24	24	Datar	24	24	24	Persegi Panjang	118.88888	148.21888	Persegi Panjang	1	1	1	8.18911
185	Persegi	24	24	24	24	Datar	24	24	24	Persegi Panjang	118.88888	148.21888	Persegi Panjang	1	1	1	8.18911
191	Persegi	24	24	24	24	Datar	24	24	24	Persegi Panjang	118.88888	148.21888	Persegi Panjang	1	1	1	8.18911
197	Persegi	24	24	24	24	Datar	24	24	24	Persegi Panjang	118.88888	148.21888	Persegi Panjang	1	1	1	8.18911
203	Persegi	24	24	24	24	Datar	24	24	24	Persegi Panjang	118.88888	148.21888	Persegi Panjang	1	1	1	8.18911
209	Persegi	24	24	24	24	Datar	24	24	24	Persegi Panjang	118.88888	148.21888	Persegi Panjang	1	1	1	8.18911
215	Persegi	24	24	24	24	Datar	24	24	24	Persegi Panjang	118.88888	148.21888	Persegi Panjang	1	1	1	8.18911
221	Persegi	24	24	24	24	Datar	24	24	24	Persegi Panjang	118.88888	148.21888	Persegi Panjang	1	1	1	8.18911
227	Persegi	24	24	24	24	Datar	24	24	24	Persegi Panjang	118.88888	148.21888	Persegi Panjang	1	1	1	8.18911
233	Persegi	24	24	24	24	Datar	24	24	24	Persegi Panjang	118.88888	148.21888	Persegi Panjang	1	1	1	8.18911
239	Persegi	24	24	24	24	Datar	24	24	24	Persegi Panjang	118.88888	148.21888	Persegi Panjang	1	1	1	8.18911
245	Persegi	24	24	24	24	Datar	24	24	24	Persegi Panjang	118.88888	148.21888	Persegi Panjang	1	1	1	8.18911
251	Persegi	24	24	24	24	Datar	24	24	24	Persegi Panjang	118.88888	148.21888	Persegi Panjang	1	1	1	8.18911
257	Persegi	24	24	24	24	Datar	24	24	24	Persegi Panjang	118.88888	148.21888	Persegi Panjang	1	1	1	8.18911
263	Perse																

Sl. No.	Owner	UJ/CT/TS	PL Number	Area	Location	Zone	PL Sect	W. S.	Area (sq. ft.)	Dist.	Shape	Shape Area	Bywh. Lab.	1621	1622	1623	1624
402	Peayon	362	492	492	Water	40	40	2	Perkaban	608.11380	1000.80470	Perkaban-C	1	10	1	1	1.00000
403	Peayon	361	491	491	Water	40	40	2	Perkaban	174.07882	1001.93189	Perkaban-C	1	10	1	1	1.00000
404	Peayon	364	492	492	Water	40	40	2	Perkaban	221.49736	1000.80470	Perkaban-C	1	10	1	1	1.00000
405	Peayon	365	493	493	Water	40	40	2	Perkaban	284.23814	1141.24460	Perkaban-C	1	10	1	1	1.00000
406	Peayon	367	494	494	Water	40	40	2	Perkaban	121.03012	895.15821	Perkaban-C	1	10	1	1	1.00000
407	Peayon	371	494	494	Water	40	40	2	Perkaban	951.43886	1011.21244	Perkaban-C	1	10	1	1	1.00000
408	Peayon	368	498	498	Water	40	40	2	Perkaban	227.44932	1000.27184	Perkaban-C	1	10	1	1	1.00000
409	Peayon	369	497	497	Water	40	40	2	Perkaban	18.20622	892.21961	Perkaban-C	1	10	1	1	1.00000
410	Peayon	370	498	498	Water	40	40	2	Perkaban	174.06976	892.21961	Perkaban-C	1	10	1	1	1.00000
411	Peayon	371	498	498	Water	40	40	2	Perkaban	121.03012	891.15821	Perkaban-C	1	10	1	1	1.00000
412	Peayon	372	500	500	Water	40	40	2	Perkaban	394.28132	2050.26287	Perkaban-C	1	10	1	1	1.00000
413	Peayon	373	501	501	Water	40	40	2	Perkaban	278.43786	2062.72879	Perkaban-C	1	10	1	1	1.00000
414	Peayon	374	502	502	Water	40	40	2	Perkaban	234.47540	1017.21078	Perkaban-C	1	10	1	1	1.00000
415	Peayon	375	503	503	Water	40	40	2	Perkaban	18.20622	892.21961	Perkaban-C	1	10	1	1	1.00000
416	Peayon	376	504	504	Water	40	40	2	Perkaban	261.17626	4294.42211	Perkaban-C	1	10	1	1	1.00000
417	Peayon	377	505	505	Water	40	40	2	Perkaban	121.03012	892.21961	Perkaban-C	1	10	1	1	1.00000
418	Peayon	378	506	506	Water	40	40	2	Perkaban	121.03012	892.21961	Perkaban-C	1	10	1	1	1.00000
419	Peayon	379	507	507	Water	40	40	2	Perkaban	121.03012	892.21961	Perkaban-C	1	10	1	1	1.00000
420	Peayon	380	508	508	Water	40	40	2	Perkaban	121.03012	892.21961	Perkaban-C	1	10	1	1	1.00000
421	Peayon	381	509	509	Water	40	40	2	Perkaban	121.03012	892.21961	Perkaban-C	1	10	1	1	1.00000
422	Peayon	382	510	510	Water	40	40	2	Perkaban	121.03012	892.21961	Perkaban-C	1	10	1	1	1.00000
423	Peayon	383	511	511	Water	40	40	2	Perkaban	121.03012	892.21961	Perkaban-C	1	10	1	1	1.00000
424	Peayon	384	512	512	Water	40	40	2	Perkaban	121.03012	892.21961	Perkaban-C	1	10	1	1	1.00000
425	Peayon	385	513	513	Water	40	40	2	Perkaban	121.03012	892.21961	Perkaban-C	1	10	1	1	1.00000
426	Peayon	386	514	514	Water	40	40	2	Perkaban	121.03012	892.21961	Perkaban-C	1	10	1	1	1.00000
427	Peayon	387	515	515	Water	40	40	2	Perkaban	121.03012	892.21961	Perkaban-C	1	10	1	1	1.00000
428	Peayon	388	516	516	Water	40	40	2	Perkaban	121.03012	892.21961	Perkaban-C	1	10	1	1	1.00000
429	Peayon	389	517	517	Water	40	40	2	Perkaban	121.03012	892.21961	Perkaban-C	1	10	1	1	1.00000
430	Peayon	390	518	518	Water	40	40	2	Perkaban	121.03012	892.21961	Perkaban-C	1	10	1	1	1.00000
431	Peayon	391	519	519	Water	40	40	2	Perkaban	121.03012	892.21961	Perkaban-C	1	10	1	1	1.00000
432	Peayon	392	520	520	Water	40	40	2	Perkaban	121.03012	892.21961	Perkaban-C	1	10	1	1	1.00000
433	Peayon	393	521	521	Water	40	40	2	Perkaban	121.03012	892.21961	Perkaban-C	1	10	1	1	1.00000
434	Peayon	394	522	522	Water	40	40	2	Perkaban	121.03012	892.21961	Perkaban-C	1	10	1	1	1.00000
435	Peayon	395	523	523	Water	40	40	2	Perkaban	121.03012	892.21961	Perkaban-C	1	10	1	1	1.00000
436	Peayon	396	524	524	Water	40	40	2	Perkaban	121.03012	892.21961	Perkaban-C	1	10	1	1	1.00000
437	Peayon	397	525	525	Water	40	40	2	Perkaban	121.03012	892.21961	Perkaban-C	1	10	1	1	1.00000
438	Peayon	398	526	526	Water	40	40	2	Perkaban	121.03012	892.21961	Perkaban-C	1	10	1	1	1.00000
439	Peayon	399	527	527	Water	40	40	2	Perkaban	121.03012	892.21961	Perkaban-C	1	10	1	1	1.00000
440	Peayon	400	528	528	Water	40	40	2	Perkaban	121.03012	892.21961	Perkaban-C	1	10	1	1	1.00000
441	Peayon	401	529	529	Water	40	40	2	Perkaban	121.03012	892.21961	Perkaban-C	1	10	1	1	1.00000
442	Peayon	402	530	530	Water	40	40	2	Perkaban	121.03012	892.21961	Perkaban-C	1	10	1	1	1.00000
443	Peayon	403	531	531	Water	40	40	2	Perkaban	121.03012	892.21961	Perkaban-C	1	10	1	1	1.00000
444	Peayon	404	532	532	Water	40	40	2	Perkaban	121.03012	892.21961	Perkaban-C	1	10	1	1	1.00000
445	Peayon	405	533	533	Water	40	40	2	Perkaban	121.03012	892.21961	Perkaban-C	1	10	1	1	1.00000
446	Peayon	406	534	534	Water	40	40	2	Perkaban	121.03012	892.21961	Perkaban-C	1	10	1	1	1.00000
447	Peayon	407	535	535	Water	40	40	2	Perkaban	121.03012	892.21961	Perkaban-C	1	10	1	1	1.00000
448	Peayon	408	536	536	Water	40	40	2	Perkaban	121.03012	892.21961	Perkaban-C	1	10	1	1	1.00000
449	Peayon	409	537	537	Water	40	40	2	Perkaban	121.03012	892.21961	Perkaban-C	1	10	1	1	1.00000
450	Peayon	410	538	538	Water	40	40	2	Perkaban	121.03012	892.21961	Perkaban-C	1	10	1	1	1.00000

(700 out of 523 Selected)

Generate/Print/Close

Sl. No.	Owner	UJ/CT/TS	PL Number	Area	Location	Zone	PL Sect	W. S.	Area (sq. ft.)	Dist.	Shape	Shape Area	Bywh. Lab.	1621	1622	1623	1624
451	Peayon	411	539	539	Water	40	40	2	Perkaban	121.03012	892.21961	Perkaban-C	1	10	1	1	1.00000
452	Peayon	412	540	540	Water	40	40	2	Perkaban	121.03012	892.21961	Perkaban-C	1	10	1	1	1.00000
453	Peayon	413	541	541	Water	40	40	2	Perkaban	121.03012	892.21961	Perkaban-C	1	10	1	1	1.00000
454	Peayon	414	542	542	Water	40	40	2	Perkaban	121.03012	892.21961	Perkaban-C	1	10	1	1	1.00000
455	Peayon	415	543	543	Water	40	40	2	Perkaban	121.03012	892.21961	Perkaban-C	1	10	1	1	1.00000
456	Peayon	416	544	544	Water	40	40	2	Perkaban	121.03012	892.21961	Perkaban-C	1	10	1	1	1.00000
457	Peayon	417	545	545	Water	40	40	2	Perkaban	121.03012	892.21961	Perkaban-C	1	10	1	1	1.00000
458	Peayon	418	546	546	Water	40	40	2	Perkaban	121.03012	892.21961	Perkaban-C	1	10	1	1	1.00000
459	Peayon	419	547	547	Water	40	40	2	Perkaban	121.03012	892.21961	Perkaban-C	1	10	1	1	1.00000
460	Peayon	420	548	548	Water	40	40	2	Perkaban	121.03012	892.21961	Perkaban-C	1	10	1	1	1.00000
461	Peayon	421	549	549	Water	40	40	2	Perkaban	121.03012	892.21961	Perkaban-C	1	10	1	1	1.00000
462	Peayon	422	550	550	Water	40	40	2	Perkaban	121.03012	892.21961	Perkaban-C	1	10	1	1	1.00000
463	Peayon	423	551	551	Water	40	40	2	Perkaban	121.03012	892.21961	Perkaban-C	1	10	1	1	1.00000
464	Peayon	424	552	552	Water	40	40	2	Perkaban	121.03012	892.21961	Perkaban-C	1	10	1	1	1.00000
465	Peayon	425	553	553	Water	40	40	2	Perkaban	121.03012	892.21961	Perkaban-C	1	10	1	1	1.00000
466	Peayon	426	554	554	Water	40	40	2	Perkaban	121.03012	892.21961	Perkaban-C	1	10	1	1	1.00000
467	Peayon	427	555	555	Water	40	40	2	Perkaban	121.03012	892.21961	Perkaban-C	1	10	1	1	1.00000
468	Peayon	428	556	556	Water	40	40	2	Perkaban	121.03012	892.21961	Perkaban-C	1	10	1	1	1.00000
469	Peayon	429	557	557	Water	40	40	2	Perkaban	121.03012	892.21961	Perkaban-C	1	10	1	1	1.00000
470	Peayon	430	558	558	Water	40	40	2	Perkaban	121.03012	892.21961	Perkaban-C	1	10	1	1	1.00000
471	Peayon	431	559	559	Water	40	40	2	Perkaban	121.03012	892.21961	Perkaban-C	1	10	1	1	1.00000
472	Peayon	432	560	560	Water	40	40	2	Perkaban	121.03012	892.21961	Perkaban-C	1	10	1	1	1.00000
473	Peayon	433	561	561	Water	40	40	2	Perkaban	121.03012	892.21961	Perkaban-C	1	10	1	1	1.00000
474	Peayon	434	562	562	Water	40	40	2	Perkaban	121.03012	892.21961	Perkaban-C	1	10	1	1	1.00000
475	Peayon	435	563	563	Water	40	40	2	Perkaban	121.03012	892.21961	Perkaban-C	1	10	1	1	1.00000
476	Peayon	436	564	564	Water	40	40	2	Perkaban	121.03012	892.21961	Perkaban-C	1	10	1	1	1.00000
477	Peayon	437	565	565	Water	40	40	2	Perkaban	121.03012	892.21961	Perkaban-C	1	10	1	1	1.00000
478	Peayon	438	566	566	Water	40	40	2	Perkaban	121.03012	892.21961	Perkaban-C	1	10	1	1	1.00000
479	Peayon	439	567	567	Water	40	40	2	Perkaban</								

PK	Owner	UR/CT/TS	PK Buyer	SI	amount	Term	PK Inst 1	W.S	amount 1	Debit	Share Long	Share Area	Branch Lab	PK21	PK20	PK200	Less
170	Payson	582	589	589	1	Share	40	40	3	Perkaban	20,27550	581,26750	Perkaban/Share				1,33357
171	Payson	583	591	591	1	Share	40	40	3	Perkaban	19,99500	581,26100	Perkaban/Share				1,33359
172	Payson	584	592	592	1	Share	40	40	3	Perkaban	19,15500	581,10500	Perkaban/Share				1,33361
173	Payson	585	593	593	1	Share	40	40	3	Perkaban	19,88980	580,99580	Perkaban/Share				1,33363
174	Payson	586	594	594	1	Share	40	40	3	Perkaban	20,12070	580,74070	Perkaban/Share				1,33365
175	Payson	587	595	595	1	Share	40	40	3	Perkaban	19,26120	580,44280	Perkaban/Share				1,33367
176	Payson	588	596	596	1	Share	40	40	3	Perkaban	19,42880	580,17840	Perkaban/Share				1,33369
177	Payson	589	597	597	1	Share	40	40	3	Perkaban	19,36520	580,01880	Perkaban/Share				1,33371
178	Payson	590	598	598	1	Share	40	40	3	Perkaban	19,38520	579,81760	Perkaban/Share				1,33373
179	Payson	591	599	599	1	Share	40	40	3	Perkaban	19,38520	579,61640	Perkaban/Share				1,33375
180	Payson	592	600	600	1	Share	40	40	3	Perkaban	19,38520	579,41520	Perkaban/Share				1,33377
181	Payson	593	601	601	1	Share	40	40	3	Perkaban	19,38520	579,21400	Perkaban/Share				1,33379
182	Payson	594	602	602	1	Share	40	40	3	Perkaban	19,38520	579,01280	Perkaban/Share				1,33381
183	Payson	595	603	603	1	Share	40	40	3	Perkaban	19,38520	578,81160	Perkaban/Share				1,33383
184	Payson	596	604	604	1	Share	40	40	3	Perkaban	19,38520	578,61040	Perkaban/Share				1,33385
185	Payson	597	605	605	1	Share	40	40	3	Perkaban	19,38520	578,40920	Perkaban/Share				1,33387
186	Payson	598	606	606	1	Share	40	40	3	Perkaban	19,38520	578,20800	Perkaban/Share				1,33389
187	Payson	599	607	607	1	Share	40	40	3	Perkaban	19,38520	578,00680	Perkaban/Share				1,33391
188	Payson	600	608	608	1	Share	40	40	3	Perkaban	19,38520	577,80560	Perkaban/Share				1,33393
189	Payson	601	609	609	1	Share	40	40	3	Perkaban	19,38520	577,60440	Perkaban/Share				1,33395
190	Payson	602	610	610	1	Share	40	40	3	Perkaban	19,38520	577,40320	Perkaban/Share				1,33397
191	Payson	603	611	611	1	Share	40	40	3	Perkaban	19,38520	577,20200	Perkaban/Share				1,33399
192	Payson	604	612	612	1	Share	40	40	3	Perkaban	19,38520	577,00080	Perkaban/Share				1,33401
193	Payson	605	613	613	1	Share	40	40	3	Perkaban	19,38520	576,79960	Perkaban/Share				1,33403
194	Payson	606	614	614	1	Share	40	40	3	Perkaban	19,38520	576,59840	Perkaban/Share				1,33405
195	Payson	607	615	615	1	Share	40	40	3	Perkaban	19,38520	576,39720	Perkaban/Share				1,33407
196	Payson	608	616	616	1	Share	40	40	3	Perkaban	19,38520	576,19600	Perkaban/Share				1,33409
197	Payson	609	617	617	1	Share	40	40	3	Perkaban	19,38520	575,99480	Perkaban/Share				1,33411
198	Payson	610	618	618	1	Share	40	40	3	Perkaban	19,38520	575,79360	Perkaban/Share				1,33413
199	Payson	611	619	619	1	Share	40	40	3	Perkaban	19,38520	575,59240	Perkaban/Share				1,33415
200	Payson	612	620	620	1	Share	40	40	3	Perkaban	19,38520	575,39120	Perkaban/Share				1,33417
201	Payson	613	621	621	1	Share	40	40	3	Perkaban	19,38520	575,19000	Perkaban/Share				1,33419
202	Payson	614	622	622	1	Share	40	40	3	Perkaban	19,38520	574,98880	Perkaban/Share				1,33421
203	Payson	615	623	623	1	Share	40	40	3	Perkaban	19,38520	574,78760	Perkaban/Share				1,33423
204	Payson	616	624	624	1	Share	40	40	3	Perkaban	19,38520	574,58640	Perkaban/Share				1,33425
205	Payson	617	625	625	1	Share	40	40	3	Perkaban	19,38520	574,38520	Perkaban/Share				1,33427
206	Payson	618	626	626	1	Share	40	40	3	Perkaban	19,38520	574,18400	Perkaban/Share				1,33429
207	Payson	619	627	627	1	Share	40	40	3	Perkaban	19,38520	573,98280	Perkaban/Share				1,33431

PK	Owner	UR/CT/TS	PK Buyer	SI	amount	Term	PK Inst 1	W.S	amount 1	Debit	Share Long	Share Area	Branch Lab	PK21	PK20	PK200	Less
208	Payson	620	628	628	1	Share	40	40	3	Perkaban	19,38520	573,78160	Perkaban/Share				1,33433
209	Payson	621	629	629	1	Share	40	40	3	Perkaban	19,38520	573,58040	Perkaban/Share				1,33435
210	Payson	622	630	630	1	Share	40	40	3	Perkaban	19,38520	573,37920	Perkaban/Share				1,33437
211	Payson	623	631	631	1	Share	40	40	3	Perkaban	19,38520	573,17800	Perkaban/Share				1,33439
212	Payson	624	632	632	1	Share	40	40	3	Perkaban	19,38520	572,97680	Perkaban/Share				1,33441
213	Payson	625	633	633	1	Share	40	40	3	Perkaban	19,38520	572,77560	Perkaban/Share				1,33443
214	Payson	626	634	634	1	Share	40	40	3	Perkaban	19,38520	572,57440	Perkaban/Share				1,33445
215	Payson	627	635	635	1	Share	40	40	3	Perkaban	19,38520	572,37320	Perkaban/Share				1,33447
216	Payson	628	636	636	1	Share	40	40	3	Perkaban	19,38520	572,17200	Perkaban/Share				1,33449
217	Payson	629	637	637	1	Share	40	40	3	Perkaban	19,38520	571,97080	Perkaban/Share				1,33451
218	Payson	630	638	638	1	Share	40	40	3	Perkaban	19,38520	571,76960	Perkaban/Share				1,33453
219	Payson	631	639	639	1	Share	40	40	3	Perkaban	19,38520	571,56840	Perkaban/Share				1,33455
220	Payson	632	640	640	1	Share	40	40	3	Perkaban	19,38520	571,36720	Perkaban/Share				1,33457
221	Payson	633	641	641	1	Share	40	40	3	Perkaban	19,38520	571,16600	Perkaban/Share				1,33459
222	Payson	634	642	642	1	Share	40	40	3	Perkaban	19,38520	570,96480	Perkaban/Share				1,33461
223	Payson	635	643	643	1	Share	40	40	3	Perkaban	19,38520	570,76360	Perkaban/Share				1,33463
224	Payson	636	644	644	1	Share	40	40	3	Perkaban	19,38520	570,56240	Perkaban/Share				1,33465
225	Payson	637	645	645	1	Share	40	40	3	Perkaban	19,38520	570,36120	Perkaban/Share				1,33467
226	Payson	638	646	646	1	Share	40	40	3	Perkaban	19,38520	570,16000	Perkaban/Share				1,33469
227	Payson	639	647	647	1	Share	40	40	3	Perkaban	19,38520	569,95880	Perkaban/Share				1,33471
228	Payson	640	648	648	1	Share	40	40	3	Perkaban	19,38520	569,75760	Perkaban/Share				1,33473
229	Payson	641	649	649	1	Share	40	40	3	Perkaban	19,38520	569,55640	Perkaban/Share				1,33475
230	Payson	642	650	650	1	Share	40	40	3	Perkaban	19,38520	569,35520	Perkaban/Share				1,33477
231	Payson	643	651	651	1	Share	40	40	3	Perkaban	19,38520	569,15400	Perkaban/Share				1,33479
232	Payson	644	652	652	1	Share	40	40	3	Perkaban	19,38520	568,95280	Perkaban/Share				1,33481
233	Payson	645	653	653	1	Share	40	40	3	Perkaban	19,38520	568,75160	Perkaban/Share				1,33483
234	Payson	646	654	654	1	Share	40	40	3	Perkaban	19,38520	568,55040	Perkaban/Share				1,33485
235	Payson	647	655	655	1	Share	40	40	3	Perkaban	19,38520	568,34920	Perkaban/Share				1,33487
236	Payson	648	656	656	1	Share	40	40	3	Perkaban	19,38520	568,14800	Perkaban/Share				1,33489
237	Payson	649	657	657	1	Share	40	40	3	Perkaban	19,38520	567,94680	Perkaban/Share				1,33491
238	Payson	650	658	658	1	Share	40	40	3	Perkaban	19,38520	567,74560	Perkaban/Share				1,33493
239	Payson	651	659	659	1	Share	40	40	3	Perkaban	19,38520	567,54440	Perkaban/Share				1,33495
240	Payson	652	660	660	1	Share	40	40	3	Perkaban	19,38520	567,34320	Perkaban/Share				1,33497
241	Payson	653	661	661	1	Share	40	40	3	Perkaban	19,38520	567,14200	Perkaban/Share				1,33499
242	Payson	654	662	662	1	Share	40	40	3	Perkaban	19,38520	566,94080	Perkaban/Share				1,33501
243	Payson	655	663	663	1	Share	40	40	3	Perkaban	19,38520	566,73960	Perkaban/Share				1,33503
244	Payson	656	664	664	1	Share	40	40	3	Perkaban	19,38520	566,53840	Perkaban/Share				1,33505
245	Payson	657	665	665	1	Share	40	40	3	Perkaban	19,38520	566,33720	Perkaban/Share				1,33507
246	Payson	658	666	666	1	Share	40	40	3	Perkaban	19,38520	566,13600	Perkaban/Share				1,33509
247	Payson	659	667	667	1	Share	40	40	3	Perkaban	19,38520	565,93480	Perkaban/Share				1,33511
248	Payson	660	668	668	1	Share	40	40	3	Perkaban	19,38520	565,73360	Perkaban/Share				1,33513
249	Payson	661	669	669	1	Share	40	40	3	Perkaban	19,38520	565,53240	Perkaban/Share				1,33515
250	Payson	662	670	670	1	Share	40	40	3	Perkaban	19,38520	565,33120	Perkaban/Share				1,33517
251	Payson	663	671	671	1	Share	40	40	3	Perkaban	19,38520	565,13000	Perkaban/Share				1,33519
252	Payson	664	672	672	1	Share	40	40	3	Perkaban							

Table 1: A detailed data table with columns: Item No., Description of Work, Stage No. 1, Stage No. 2, Stage No. 3, Item Type, SDO No. 1, SDO No. 2, Asses. No., Structure No., and Rate. The table lists various construction items such as 'Lime plaster', 'Other plaster', 'Other bricks with slope', and 'Other ridges with slope'. It includes a search bar at the top and a status bar at the bottom indicating '(133 out of 180 Selected)'. The table is titled 'Kerala, Langur'.

Table 2: A detailed data table with columns: Item No., Description of Work, Stage No. 1, Stage No. 2, Stage No. 3, Item Type, SDO No. 1, SDO No. 2, Asses. No., Structure No., and Rate. This table continues the list of construction items from Table 1, including items like 'Other ridges with slope', 'Other ridges with slope', and 'Other ridges with slope'. It also features a search bar and a status bar indicating '(133 out of 180 Selected)'. The table is titled 'Kerala, Langur'.

ALAUDDIN
MAKASSAR

